

1. ชื่อโครงการ (ภาษาไทย)

การพัฒนาผลิตภัณฑ์จุ่มหัวนมแม่วัวจากน้ำมันหอมระ夷ที่ปราศจากเชื้อโรคเด้านมอักเสบ

Development of teat dip using antibacterial essential oils against mastitis pathogens

2. ชื่อหัวหน้าโครงการ หน่วยงานสังกัด ที่อยู่ หมายเลขอร์คัพท์ โทรสาร และ e-mail

ชื่อ-สกุล (ภาษาไทย)	นางสาววชิรี คุณกิตติ
ชื่อ-สกุล (ภาษาอังกฤษ)	Watcharee Khunkitti
คุณวุฒิ	Doctor of Philosophy (Pharmaceutical Microbiology)
ตำแหน่งทางวิชาการ	รองศาสตราจารย์ ระดับ 9
หน่วยงาน	ภาควิชาเทคโนโลยีเภสัชกรรม คณะเภสัชศาสตร์ มหาวิทยาลัยขอนแก่น
ที่อยู่	มหาวิทยาลัยขอนแก่น อ.เมือง จ.ขอนแก่น 40002
โทรศัพท์/โทรสาร	0-4336-2092 E-mail watkhu@kku.ac.th

3. ความเป็นมาและความสำคัญของเรื่อง

ปัญหาเด้านมอักเสบเป็นปัญหาสำคัญที่มีผลกระทบต่ออุตสาหกรรมโคนม กล่าวคือมีผลต่อการลดลงของปริมาณการผลิตน้ำนม และคุณภาพน้ำนมของโคนม อีกทั้งต้องมีการคัดแยกก้อนเวลาและค่ารักษาโรคเด้านมอักเสบซึ่งทำให้เกิดความสูญเสียทางเศรษฐกิจแก่อุตสาหกรรมการผลิตน้ำนมเป็นอย่างมาก ประมาณความเสียหายโดยรวมจากโรคเด้านมอักเสบสูงถึง 1,500-2,000 ล้านบาท/ปี (วิไลพรและคณะ, 2547) เด้านมอักเสบในโค (bovine mastitis) เกิดขึ้นจากการติดเชื้อจุลทรรพ ได้แก่ แบคทีเรีย ไมโครเพลสماและยีสต์ เป็นต้น ส่วนใหญ่เชื้อที่ก่อให้เกิดปัญหาคือเชื้อแบคทีเรีย เช่น *Staphylococcus spp.* *Escherichia coli* *Bacillus spp.* และ *Pseudomonas spp.* ซึ่งพบในสิ่งแวดล้อมทั่วไป และมักทำให้เกิดอาการเจ็บพลันและแบบแสดงอาการ (clinical mastitis) สำหรับเชื้อแบคทีเรียที่ทำให้เกิดการอักเสบของเด้านมชนิดเรื้อรังและไม่แสดงอาการ (subclinical mastitis) เชื้อที่เป็นสาเหตุหลักคือ *Staphylococcus aureus* และ *Streptococcus agalactiae* โดยเชื้อทั้งสองเป็นเชื้อที่สามารถทำให้เกิดการติดเชื้อระหว่างเด้านมของโคและสามารถติดต่อไปยังแม่โคตัวอื่นได้โดยผ่านเครื่องรีดนม ซึ่งเด้านมอักเสบแบบไม่แสดงอาการทำให้ผลผลิตและคุณภาพของน้ำนมที่รีดได้ลดลง (กิตติศักดิ์, 2547) การรักษาโรคเด้านมอักเสบจากแบคทีเรียส่วนใหญ่จะใช้ยาปฏิชีวนะและยาด้านการอักเสบ ซึ่งการใช้ยาปฏิชีวนะเพื่อป้องกันและรักษาเด้านมอักเสบนั้นอาจก่อให้เกิดปัญหาการปนเปื้อนยาปฏิชีวนะในน้ำนม ทำให้เกิดผลเสียต่อผู้บริโภคได้อีกทั้งยังโน้มนำการเกิดการติดเชื้อยาในสัตว์ได้ (ชัยเดช และคณะ 2547) การป้องกันโรคเด้านมอักเสบด้วยการจุ่มน้ำนมด้วยน้ำยาฆ่าเชื้อที่มีประสิทธิภาพและปลอดภัยต่อหัวนม จะช่วยลดอัตราการติดเชื้อครั้งใหม่ลงได้ถึงร้อยละ 50 และลดอุบัติการณ์การเกิดโรคเด้านมอักเสบได้อย่างมีประสิทธิภาพ (NMC, 1995) ปัจจุบันเวชภัณฑ์ที่นำมาใช้ ส่วนใหญ่ต้องมีการนำเข้ามาจากต่างประเทศซึ่งทำให้ขาดดุลการค้าและเพิ่มต้นทุนในการผลิตน้ำนมเวชภัณฑ์และเคมีภัณฑ์ที่ใช้ในการป้องกันและรักษาเด้านมอักเสบในโคนม ชนิดน้ำยาจุ่มหัวนม ส่วนใหญ่เป็นสารละลายน้ำที่มีสารเคมีออกฤทธิ์กลุ่ม antiseptic และ disinfectant เช่น 0.05%-1% iodine หรือ 0.5% chlorhexidine digluconate เป็นต้น (กิตติศักดิ์, 2547) โดยเฉพาะ 0.5% chlorhexidine digluconate มีรายงานว่าทำให้เกิดการระคายเคืองต่อผิวสัตว์ได้ (Sears et al., 1992) มีรายงานการใช้สมุนไพรมาใช้เป็นน้ำยาจุ่มเด้านมเพื่อป้องกันและรักษาเด้านมอักเสบ เช่น ผักกระดหรัวหวาน (วิไลพร และคณะ, 2547) เปเลือกทุเรียน (รักษรรัตน์และคณะ, 2548) เป็นต้น อย่างไรก็ตาม มีรายงานการใช้น้ำนมหอมระ夷จากพืชสมุนไพรในการด้านเชื้อโรคเด้านมวัวอักเสบอย่างมาก รายงานส่วนใหญ่เป็นการศึกษาฤทธิ์ต้านเชื้อโรคที่มีผลต่อการเน่าเสียของอาหารและเครื่องสำอางเป็นหลัก นอกจากนี้น้ำมันหอมระ夷ส่วนใหญ่จะมีฤทธิ์ต้านการอักเสบซึ่งเป็นสาเหตุของการอักเสบ การใช้น้ำมันหอมระ夷จากสมุนไพรที่ปลูกง่าย สามารถผลิตได้เองในประเทศไทย จะช่วยให้เกษตรกรมีรายได้จากการปลูกและอุตสาหกรรมน้ำมันหอมระ夷สามารถผลิตวัสดุดีบ ที่สำคัญคือสามารถลดการใช้ยาปฏิชีวนะและสเตียรอยด์ซึ่ง

นิยมใช้เพื่อป้องกันและรักษาอาการติดเชื้อและการอักเสบของเต้านมวัวลงได้ โดยเฉพาะน้ำมันหอมระเหยที่เลือกใช้เป็นพืชที่ใช้เป็นอาหารที่มีรายงานการนำเข้าเชื้อก่อโรค ลดการอักเสบ หรือการเกิดออกซิเดชัน ได้แก่ แพล ขมิ้นชัน ในพุ่ม ตะไคร้ gang มะกรูด กระเพรา และโภรพา Lertstithanakorn et al. (2005) พบว่าน้ำมันหอมระเหยที่กลั่นจากต้นตะไคร้หอม มีประสิทธิภาพดีที่สุดในการฆ่าเชื้อที่เป็นสาเหตุของการอักเสบของสิว (*Propionibacterium acnes*), antioxidant และ anti-inflammatory โดยการยับยั้งเอนไซม์ 5-lipoxygenase ป้องกันไม่ให้ arachidonic acid เปลี่ยนเป็น leukotrienes ซึ่งเป็น proinflammatory mediator ก่อให้เกิดอาการอักเสบและอาการแพ้ที่ผิวนัง ข้อต่อปอด และ หัวใจ นอกจากนี้ยังพบว่าน้ำมันหอมระเหยน้ำมันตะไคร้หอม ในกระเพรา และแพล มีประสิทธิภาพในการต้านการเกิดออกซิเดชันได้ดีกว่า ascorbic acid และ น้ำมันหอมระเหยน้ำมันตะไคร้หอม ในกระเพรา และผลมะกรูดมีฤทธิ์ต้านการอักเสบได้ดี Baylac and Racine (2003) รายงานว่า น้ำมันหอมระเหยจากมะนาว ส้มจีน ขมิ้นชัน มีฤทธิ์ต้านการอักเสบโดยยับยั้งเอนไซม์ 5-lipoxygenase Inouye et al. (2001) พบว่า น้ำมัน cinnamon bark oil, lemongrass oil สามารถฆ่าเชื้อ *H. influenzae*, *S. pyogenes*, *S. pneumoniae*, *S. aureus* และ *E. coli* ได้ดีมาก Hammer et al (1999) พบว่าน้ำมันหอมระเหยจากตะไคร้หอม ตะไคร้ gang และใบโภรพา มีฤทธิ์ฆ่าเชื้อ *A. baumannii*, *A. sorbia*, *C. albicans*, *E. coli*, *K. pneumoniae*, *S. aureus*. Sachetti et al. (2005) พบว่า น้ำมันหอมระเหยจากขมิ้นชัน ตะไคร้ gang มีฤทธิ์ฆ่าเชื้อ *C. albicans R. glutinis*, *S. cerevisiae*, *S. pombe*, *Y. lypolitica* และพบว่ามีฤทธิ์ต้านออกซิเดชัน ตั้งนั้นในการวิจัยครั้งนี้จึงมีวัตถุประสงค์ในการศึกษาเบรียบเทียบถึงสารออกฤทธิ์ของน้ำมันหอมระเหยของสมุนไพร แพล (Plai: *Zingiber cassumunar* Roxb.) ขมิ้นชัน (Turmeric: *Curcuma longa* L.) ในพุ่ม Betle leaf vine ;*Piper betle* L.) ตะไคร้ gang (Lemongrass: *Cymbopogon citratus* (DC.) Stapf) ตะไคร้หอม (Citronella grass: *Cymbopogon nardus* L.) Rendle) มะกรูด (Leech lime :*Citrus hystrix* DC.) กระเพรา (Holy basil : *Ocimum sanctum* L.) และโภรพา (Sweet basil: *Ocimum basilicum* L.) ต่อเชื้อที่เป็นสาเหตุของการอักเสบ รวมถึงต้านการอักเสบ และฤทธิ์ต้านอนุมูลอิสระ เพื่อเลือกน้ำมันหอมระเหยที่มีศักยภาพในการต้านเชื้อก่อโรคเต้านมอักเสบ และต้านการอักเสบมาพัฒนาเป็นน้ำยาจุ่มหัวนมแม่วัว

4. วัตถุประสงค์ของการวิจัย

เพื่อพัฒนาน้ำยาจุ่มหัวนมวัว (Teat dip) จากน้ำมันหอมระเหย ที่มีศักยภาพในการฆ่าเชื้อที่เป็นสาเหตุเต้านมอักเสบที่มีฤทธิ์ต้านการอักเสบและต้านอนุมูลอิสระ

5. แนวทาง/ขั้นตอนการดำเนินงาน

5.1 สมมุติฐานการวิจัย

น้ำมันหอมระเหยที่มีรายงานเรื่องการฆ่าเชื้อก่อโรคทั่วไป น่าจะมีฤทธิ์ฆ่าเชื้อที่เป็นสาเหตุหลักในการก่อโรคเต้านมอักเสบ และหากน้ำมันหอมระเหยนั้นสามารถลดอาการอักเสบของเต้านมวัวร่วมด้วยจะทำให้อาการเต้านมอักเสบดีขึ้น และหากนำมาเตรียมเป็นน้ำยาจุ่มหัวนมวันจากจะช่วยป้องกันการติดเชื้อเต้านมอักเสบ แล้วยังช่วยลดอาการอักเสบจากการรีดนมวัวได้ ส่งผลให้แม่วัวมีสุขภาพดี น้ำนมที่รดได้มีคุณภาพดี ที่สำคัญ ช่วยลดอาการดื้อยาฆ่าเชื้อจากสารเคมีและลดการใช้ยาสอดเต้านมวัว ซึ่งจะนำไปสู่การลดการตอกค้างของยาปฏิชีวนะและยาสเตียรอยด์และทำให้ได้น้ำนมวัวที่ปลอดภัยต่อผู้บริโภค

5.2 ขอบเขตในการวิจัย

ระยะแรก เป็นการนำน้ำมันหอมระเหยที่ได้จากการกลั่นด้วยไอน้ำจากบริษัทเครื่องหอมไทย Jinma ทำการควบคุมคุณภาพทางเคมี และนำมาประสีทธิ์ภาพในการฆ่าเชื้อก่อโรคเต้านมอักเสบในแม่วัว ฤทธิ์ต้านการเกิดออกซิเดชันและฤทธิ์ต้านการอักเสบแบบการป้องกันและการรักษา

ระยะที่สอง เลือกน้ำมันหอมระเหยที่มีศักยภาพมาศึกษาหาความเข้มข้นที่เหมาะสมในการตั้งตัวรับโดยศึกษาเบรียบเทียบกับ 0.5% chlorhexidine solution ตั้งตัวรับน้ำยาจุ่มหัวนมวัว ศึกษาประสิทธิภาพในการฆ่าเชื้อ และความคงตัวทางกายภาพและทางเคมี

6. วิธีการดำเนินงานวิจัย

6.1 วัสดุและอุปกรณ์:

สารเคมีที่ใช้ในการวิจัย ได้แก่ น้ำมันหอมระ夷ที่นำมาศึกษา ได้แก่ ไฟล ชิมิลัน ใบพูด ตะไคร้หอม ตะไคร้ แกง มะกรูด กระเพราและโภรพา ซึ่งจากบริษัทเครื่องหอมไทยเจ็น จำกัด 95% Ethanol (กรรมสรพสามิต) absolute alcohol ของ Analar (UK). สารเคมีที่ใช้ในการวิเคราะห์ เป็น AR grade และ HPLC grade ได้แก่ Disodium hydrogen phosphate และ Potassium dihydrogen orthophosphate, จาก Ajax Finechem (Australia). 2,2 Diphenyl-1-picrylhydrazyl (DPPH), ascorbic acid (vitamin C), butylated hydroxytoluene (BHT) and alpha-tocopherol (vitamin E) จาก Sigma Chemicals (USA) สารเคมีที่ใช้พัฒนาค่ารับจากบริษัท วิทยาครม จำกัด

6.2 การตรวจสอบค่าประกอบทางเคมีของน้ำมันหอมระ夷โดย GC/MS

6.2.1 การศึกษาของค่าประกอบของน้ำมันหอมระ夷แต่ละชนิด โดยใช้เครื่องมือ GC/MS
สภาวะที่ใช้ในการศึกษาของค่าประกอบ

GC (TraceGC ultra, Model K05200B20000070, Italy) / MS (DSQ, Model TRACE DSQ-MASS SPECTROMETRY, USA)

Software: Xcalibur 1.4

Library: NIST MS Serach

Column: Tr-5 (5%phenyl-95%dimethylpolysiloxane), 30 m, 0.2 m, 0.25 mm ID

GC/MS condition

Injection volume: 1 μ l

Split injection, Split Ratio (1:100), Split flow 100 ml/min

Injector temperature: 250 °C

Oven temperature program:

70 °C (hold 1 min), to 280 °C at 6 °C/min (hold 3 min)

Run time: 39.00 min

Carrier gas flow rate (Helium): 1 ml/min

Transfer line temperature (Interface temp.): 250 °C

Ion source: 220 °C

Scan mode: full scan 35 - 550 m/z

Scan rate: 1000amu/s

Solvent delay time: 2 min

เปรียบเทียบองค์ประกอบในน้ำมันหอมระ夷โดยเปรียบเทียบกับ ค่า Linear retention indices ที่สัมพันธ์กับ C₁₁- C₁₇ alkanes

6.2.2 การวิเคราะห์หาปริมาณองค์ประกอบในน้ำมันหอมระ夷ตะไคร้แกง
สภาวะที่ใช้ในการหาปริมาณองค์ประกอบ

Column: HP-5 (30m x 0.32 mm id. X0.25 micro film thickness)

Inlet temperature: 250 °C

FID detector temperature: 280 °C

Split ration: 10 per 1

N₂ Flow: 2 ml/min

Oven: start 100 °C, hold 1 min, ramp 10 °C/min to 220 °C, hold 1 min (14 min/injection)

6.3 การแยกเชื้อก่อโรคเด้านมวัวอักเสบและการทดสอบทางชีวเคมีเพื่อหาชนิดของเชื้อที่แยกได้

6.3.1 การแยกเชื้อก่อโรคเด้านมวัวอักเสบ

1. นำน้ำนมมา mix ด้วย vortex
2. แตะน้ำนมมา 1 loop และ streak ลง blood agar plate และ MacConkey agar plate
3. นำไปปั่นเพาะเชื้อ ที่ 37 องศาเซลเซียส 18-24 ชั่วโมง สังเกตการเจริญของเชื้อบนอาหาร
4. นำเชื้อ colony เดียว จากข้อ 3.3 ไปทำการย้อมสีแกรม (Gram's staining) เพื่อแยกแยะของเชื้อดังนี้
 - 4.1 สมีเยร์เชื้อ ลงบนน้ำเกลือบนแผ่นสไลด์ให้อยู่ห่างกันพอประมาณ ทึ้งให้แห้งในอากาศ
 - 4.2 นำไปตรึงด้วยเปลวไฟ เป็นการตรึงเชื้อแบบที่เรียกว่าความร้อน (heat fix) โดยใช้ด้านล่างของแผ่นสไลด์ผ่านเปลวไฟ 2-3 ครั้ง โดยปล่อยให้ร้อนพอที่จะแตกฝ้าเมื่อได้
 - 4.3 หยดสี Crystal violet solution ทึ้งไวนาน 1 นาที เทสิถึง และล้างออกด้วยน้ำประปาผ่านเบาๆ
 - 4.4 หยดสี Gram iodine solution ให้ท่วมนาน 1 นาที เทสิถึง และล้างออกด้วยน้ำประปาอีกครั้ง
 - 4.5 ใช้ 95% alcohol พอกสี โดยหยดให้เหลือปีศาๆ ตามสไลด์จนดูไม่มีสีหลุดออกมาก (ประมาณ 5-10 วินาที) ล้างด้วยน้ำอีกครั้ง
 - 4.6 ย้อมหับด้วย Safanin solution ทึ้งไวนาน 30 นาที ล้างออกด้วยน้ำประปาผ่านเบาๆ ซับด้วยกระดาษให้แห้ง
 - 4.7 นำไปส่องดูด้วยกล้องจุลทรรศน์ โดยใช้เลนส์ตัดกุ่มกำลังขยาย 100 เท่า เพื่อถูกการติดสีและรูปร่างของเชื้อ
5. นำเชื้อที่ติดสีม่วงหรือแกรมบวก รูปร่างกลม (*Streptococcus* spp. และ *Staphylococcus* spp.) ไปทำการทดสอบ Catalase เพื่อนำไปแยกกุ่มการทดสอบทางชีวเคมีสำหรับแยกชนิดต่อไป
วิธีการทดสอบ และโคลนนของเชื้อที่ต้องการลงบนสไลด์แก้ว หยดสารละลาย 3% Hydrogen peroxide ลงบนกระจากนั้นจึงแตะเชื้อ旺盛บนน้ำยา และอ่านผล
 - การแปลผล + หมายถึง มีฟองกําชากเกิดขึ้น
 - หมายถึง ไม่มีฟองกําชากเกิดขึ้น
6. นำเชื้อที่ติดสีแดงหรือแกรมลบ รูปร่างแท่ง (*Escherichia* spp. และ *Pseudomonas* spp.) ไปทำการทดสอบ Oxidase เพื่อนำไปแยกกุ่มการทดสอบทางชีวเคมีสำหรับแยกชนิดต่อไป
วิธีการทดสอบ ป้ายเชื้อลงบนกระดาษที่ชุบน้ำยาที่มี dimethyl-p-phenylene-diamine dihydrochloride
 - การแปลผล + หมายถึง มีสีน้ำเงินเข้มเกิดขึ้นภายใน 5-10 วินาที
 - หมายถึง ไม่เกิดสี

6. 3. 2 การทดสอบทางชีวเคมีเพื่อหาชนิดของเชื้อที่แยกได้

1. *Streptococcus agalactiae*

การทดสอบทางชีวเคมี	วิธีทดสอบ	การแปลผล
Hemolysis	แตะเชื้อที่ต้องการทดสอบ streak ลงใน blood agar เก็บบ่มที่ 37 องศาเซลเซียส นาน 18-24 ชั่วโมงแล้ว สังเกตลักษณะโคโลนีของเชื้อ	β - hemolysis หมายถึง โคลอนีเล็ก ใส มี zone ใส 1 วง
PR -Mannitol	แตะเชื้อที่ต้องการทดสอบ stab ลงในอาหาร เก็บบ่มที่ 37 องศาเซลเซียส นาน 18-24 ชั่วโมง หลังจากนั้น หยด $FeCl_2$ ลงไป และอ่านผล	+ หมายถึง อาหารเปลี่ยนเป็นสีเหลือง - หมายถึง อาหารเป็นสี蒼白 เช่นเดิม
Es culin hydrolysis	แตะเชื้อจากโคโลนี steak บนพิว agar เก็บบ่มที่ 37 องศาเซลเซียส นาน 18-24 ชั่วโมง แล้วอ่านผล	+ หมายถึง มีสีดำ ในอาหาร เลี้ยงเชื้อ - หมายถึง ไม่มีการ เปลี่ยนแปลงของ อาหารเลี้ยงเชื้อ
CAMP test	ใช้ sheep blood agar plate แตะเชื้อ <i>Staphylococcus aureus</i> ลาดผ่านกึ่งกลาง plate และ แตะเชื้อ <i>Streptococcus agalactiae</i> ลาดตั้งฉากกับรอย streak ของ <i>S. aureus</i> โดยให้ห่างประมาณ 0.3-0.5 ซม. นำเข้าตู้เพาะบ่ม 37 องศาเซลเซียส 18-24 ชั่วโมง แล้วอ่านผล	ที่ปลายของรอย streak เชื้อ <i>Streptococcus agalactiae</i> จะมีรูปร่างเป็นหัวลูกศร (arrow-head)

2. *Bacillus cereus*

การทดสอบทางชีวเคมี	วิธีทดสอบ	การแปลผล
Hemolysis	แตะเชื้อที่ต้องการทดสอบ streak ลงใน blood agar เก็บบ่มที่ 37 องศาเซลเซียส นาน 18-24 ชั่วโมงแล้วสังเกตลักษณะโคโลนีของเชื้อ	α - hemolysis หมายถึง โคลอนีใหญ่ มี zone เทา เขียว
Motility test	แตะเชื้อจากโคโลนี stab ลงในอาหารเลี้ยงเชื้อ อย่าให้ถึงก้นหลอด เก็บบ่มที่ 37 องศาเซลเซียส นาน 18-24 ชั่วโมง และอ่านผล	+ หมายถึง เชื้อเจริญอกรอยแท่งทำให้อาหาร เลี้ยงเชื้อชุ่น - หมายถึง เชื้อเจริญร้อย stab เท่านั้น เทียบ stab ชัดเจนอาหารใส
Es culin hydrolysis	แตะเชื้อจากโคโลนี steak บนพิว agar เก็บบ่มที่ 37 องศาเซลเซียส นาน 18-24 ชั่วโมง แล้วอ่าน ผล	+ หมายถึง มีสีดำ ในอาหารเลี้ยงเชื้อ - หมายถึง ไม่มีการเปลี่ยนแปลงของ อาหารเลี้ยงเชื้อ

3. *Staphylococcus aureus*

การทดสอบทางชีวเคมี	วิธีทดสอบ	การแปลผล
Hemolysis	แตะเชื้อที่ต้องการทดสอบ streak ลงใน blood agar เก็บบ่มที่ 37 องศาเซลเซียส นาน 18-24 ชั่วโมงแล้วสังเกต ลักษณะโคโลนีของเชื้อ	β - hemolysis หมายถึง โคโลนีขุ่นขาว เหลือง มี zone ใส 2 วง
Catalase test	แตะโคโลนีของเชื้อที่ต้องการลงบนสไลด์แก้ว หยดสารละลาย 3% Hydrogen peroxide ลงบนกระจากรากน้ำ จึงจะแสดงผลบันหน้ายา แล้วอ่านผล	+ หมายถึง มีฟองก๊าซเกิดขึ้น - หมายถึง ไม่มีฟองก๊าซเกิดขึ้น
PR -Mannitol	แตะเชื้อที่ต้องการทดสอบ stab ลงในอาหาร เก็บบ่มที่ 37 องศาเซลเซียส นาน 18-24 ชั่วโมง หลังจากนั้นหยด FeCl_2 ลงไป แล้วอ่านผล	+ หมายถึง อาหารเปลี่ยนเป็นสีเหลือง - หมายถึง อาหารเป็นสีเข้ม เข้มเดิม
Coagulase test	Incubate เชื้อลงในหลอดที่มีพลาสมอยู่ เก็บบ่มที่ 37 องศาเซลเซียส นาน 18-24 ชั่วโมง แล้วอ่านผล ถ้าเชื้อสร้างเอนไซม์ชนิดนี้ได้ จะทำให้พลาสมาแข็งตัว	+ หมายถึง พลาสมานั้นแข็งตัวดี หลอดทดลอง - หมายถึง พลาสมานั้นไม่แข็งตัว
1% Maltose ใน purple agar base	แตะเชื้อจากโคโลนี steak บนผิว agar เก็บบ่มที่ 37 องศาเซลเซียส นาน 18-24 ชั่วโมง แล้วอ่านผล	+g หมายถึง ให้สีเหลืองของโคโลนีและ agar ได้โคโลนี +i หมายถึง ให้โคโลนีออกเขียว และให้โคโลนีไม่เปลี่ยนแปลง - หมายถึง โคโลนีสีขาว agar ได้โคโลนีไม่เปลี่ยนแปลง

4. *Escherichia coli*

การทดสอบทางชีวเคมี	วิธีทดสอบ	การแปลผล
Motility test	แคดเรช์จากโคลนี stab ลงในอาหารเลี้ยงเชื้อ อย่าให้สึ้งกันหลอด เก็บบ่มที่ 37 องศาเซลเซียส นาน 18-24 ชั่วโมง และอ่านผล	+ หมายถึง เชื้อเจริญออกรอยแท่งทำให้อาหารเลี้ยงเชื้อชุ่น - หมายถึง เชื้อเจริญรอย stab เท่านั้น เห็นรอย stab ชัดเจนอาหารไร้สี
TSI	ใช้ straight wire และเชือจาก โคลนี streak เป็นเส้นตรงบน slant และ stab ลงไปถึงก้นหลอด จากนั้น streak บน slant ให้เชือกระยะจัดตัว	K/A หมายถึง มีการหมักย่อย glucose ไม่มีการหมัก sucrose และ lactose K/Ag หมายถึง มีการหมักย่อย glucose และได้ก๊าซไม่มีการหมัก ย่อย sucrose และ lactose K/A ⁺ หมายถึง มีการหมักย่อย glucose และได้ H ₂ S ไม่มีการหมัก ย่อย sucrose และ lactose K/Ag ⁺ หมายถึง มีการหมักย่อย glucose และได้ ก๊าซและ H ₂ S ไม่มีการหมักย่อย sucrose และ lactose A/A หมายถึง มีการหมักย่อย glucose, lactose และ/หรือ sucrose A/Ag หมายถึง มีการหมักย่อย glucose, lactose และ/หรือ sucrose และได้ก๊าซ A/A ⁺ หมายถึง มีการหมักย่อย glucose, lactose และ/หรือ sucrose และได้ H ₂ S A/Ag ⁺ หมายถึง มีการหมักย่อย glucose, lactose และ/หรือ sucrose และได้ก๊าซและ H ₂ S K/K,K/N หมายถึง ไม่มีการหมักย่อย glucose, lactose และ sucrose
Indole test	แคดเรช์จากโคลนี stab ลงในอาหารเลี้ยงเชื้อ MI medium (motility – indole test medium) เก็บบ่มที่ 37 องศาเซลเซียส นาน 18-24 ชั่วโมง หลังจากนั้นหยดน้ำยา Kovac ลงไป และอ่านผล	+ หมายถึง เกิดสีแดงในช้อนของน้ำยา Kovac - หมายถึง ไม่เกิดสีแดง ของน้ำยา Kovac
Lysine decarboxylase test	แคดเรช์จากโคลนี stab ลงในอาหารเลี้ยงเชื้อ LD medium (Lysine decarboxylase และ lysine deaminase test medium) เก็บในตู้เพาะบ่ม ที่ 37 องศาเซลเซียส นาน 18-24 ชั่วโมง และอ่านผล	+ หมายถึง สีของอาหารเลี้ยง เชื้อเป็นสีม่วง - หมายถึง สีของอาหารเลี้ยง เชื้อเป็นสีเหลือง
EMB agar	แคดเรช์จาก colony และ streak ถู บนพิพิชของอาหาร เก็บในตู้เพาะบ่ม ที่ 37 องศาเซลเซียส นาน 18-24 ชั่วโมง และอ่านผล	+ หมายถึง โคลนีเกิดสีเขียววาว (metallic sheen) - หมายถึง ไม่เกิด metallic sheen
Citrate test	แคดเรช์จาก colony และ streak เก็บในตู้เพาะบ่ม ที่ 37 องศาเซลเซียส นาน 18-24 ชั่วโมง และอ่านผล	+ หมายถึง อาหารเปลี่ยนเป็นสีน้ำเงิน - หมายถึง ไม่มีการเปลี่ยนแปลงของ อาหารเลี้ยง เชื้อ

5. *Pseudomonas aeruginosa*

การทดสอบทางชีวเคมี	วิธีทดสอบ	การแปลผล
Motility test	เหมือนการทดสอบเชื้อ <i>E. coli</i>	เหมือนการทดสอบเชื้อ <i>E. coli</i>
TSI	เหมือนการทดสอบเชื้อ <i>E. coli</i>	เหมือนการทดสอบเชื้อ <i>E. coli</i>
OF-Glucose	แตะเชื้อ stab ลงใน OF-glucose media จำนวน 2 หลอด ปิดผิวน้ำอาหารของหลอดหนึ่งด้วย liquid paraffin หลอดนั้นจะอยู่ในสภาพ anaerobic แบคทีเรียต้องใช้น้ำตาลด้วยขบวนการหมัก (fermentation) เท่านั้น ส่วนอีกหลอดหนึ่งที่ไม่มี liquid paraffin ปิด จะอยู่ในสภาพ aerobic เก็บบ่มใน incubator ที่ 37 องศาเซลเซียส นาน 18-24 ชั่วโมง และว่าอ่านผล	Fermentation หมายถึงมีสีเหลือง ทั้งสองหลอด Oxidation หมายถึงมีสีเหลือง เฉพาะหลอดที่ไม่มี liquid Paraffin Non-oxidizer หรือ Nonsaccharolytic หรือ Non-reaction หมายถึง ทั้งสองหลอดยังมีสีเดิม หรือเป็นสีน้ำเงิน
Nitrate reduction test	แตะเชื้อจาก colonies stab ลงในอาหารเลี้ยงเชื้อโดยใช้ motile-nitrate medium อาย่าให้ถึงกัน หลอด เก็บบ่มที่ 37 องศาเซลเซียส นาน 18-24 ชั่วโมง และว่าอ่านผล	+ กรณีที่ 1 หมายถึง มีสีแดงเกิดขึ้น กรณีที่ 2 หมายถึง ไม่มีสีแดงเกิดขึ้น และเมื่อหยดลง - หมายถึง ไม่เกิด metallic sheen
OF-Maltose	แตะเชื้อ stab ลงใน OF-maltose media จำนวน 2 หลอด ปิดผิวน้ำอาหารของหลอดหนึ่งด้วย liquid paraffin หลอดนั้นจะอยู่ในสภาพ anaerobic แบคทีเรียต้องใช้น้ำตาลด้วยขบวนการหมัก (fermentation) เท่านั้น ส่วนอีกหลอดหนึ่งที่ไม่มี liquid paraffin ปิด จะอยู่ในสภาพ aerobic เก็บบ่มใน incubator ที่ 37 องศาเซลเซียส นาน 18-24 ชั่วโมง และว่าอ่านผล	Fermentation หมายถึงมีสีเหลือง ทั้งสองหลอด Oxidation หมายถึงมีสีเหลือง เฉพาะหลอดที่ไม่มี liquid Paraffin Non-oxidizer หรือ Nonsaccharolytic หรือ Non-reaction หมายถึง ทั้งสองหลอด ยังคงมีสีเดิม หรือเป็นสีน้ำเงิน
Urease test	แตะเชื้อจาก colony และ streak เก็บในตู้เพาะบ่มที่ 37 องศาเซลเซียส นาน 18-24 ชั่วโมง และว่าอ่านผล	+ หมายถึง อาหารเลี้ยงเชื้อเปลี่ยนเป็นสีชมพู – แดง - หมายถึง อาหารไม่เปลี่ยนแปลง
Gelatin liquefaction	แตะเชื้อจาก colonies stab ลงในอาหารเลี้ยงเชื้อ และใช้อาหารอีกหนึ่งหลอดที่ไม่ต้องใส่เชื้อเป็นหลอดควบคุม เก็บทั้งสองหลอดอยู่ในตู้เพาะบ่มที่ 37 องศาเซลเซียส นาน 18-24 ชั่วโมง จากนั้นนำไปแข็งตู้เย็น 4 องศาเซลเซียสประมาณ 10 นาที	+ หมายถึง อาหารในหลอดที่ใส่เชื้อเหลว - หมายถึง อาหารในหลอดที่ใส่เชื้อแข็งตัว เหมือนหลอดควบคุม

6.4 การหาความไวของน้ำมันหอมระเหยต่อเชื้อก่อโรคโดยวิธี Disc diffusion method

เกลี่ยเชื้อจุลทรรศ์ ประมาณ 10^6 cfu /ml ที่เลี้ยงไว้ 1 คืน ลงในวุนเลี้ยงเชื้อปัลอยไว้ให้เชื้อคุดขับนผิววุน ปีเปตน้ำมันหอมระเหยที่ละลายใน 95% Ethanol ที่ความเข้มข้นต่าง 5-50% จำนวน 45 μ l ลงบน 9 mm disc และนำไปวางบน plate ที่เตรียมไว้ ใช้ disc ที่มี ethanol อย่างเดียวเป็นกลุ่มควบคุม นำไปอบที่ 37°C นาน 24 ชม. นำมาวัดเส้นผ่าศูนย์กลางของ inhibition zone

6.5 การหาค่า Minimum inhibitory concentration (MIC) และค่า Minimum bactericidal concentration (MBC)

ละลายน้ำมันหอมระเหยให้มีความเข้มข้น 2% ใน Muller Hilton Broth มี Tween 80 2% ช่วยละลายน้ำมัน หรือ DMSO 0.5% ทำการเจือจางแบบ two fold dilution ใน broth โดยเดิมสารละลายตัวอย่างที่เครื่องได้ จำนวน 50 μl ลงใน broth 50 μl ใน 96-well plate เดิม overnight culture จำนวน 50 μl ลงในแต่ละหลุม ให้มีจำนวนเชื้อประมาณ 10^6 cfu/ml โดยมีหลุมที่มีเฉพาะเชื้อใน broth เป็น positive control และหลุมที่ไม่มี เชื้อเป็น negative control นำ plate ไป อบที่ 37 °C นาน 24-48 ชม. อ่านค่า MIC ซึ่งหมายถึงความเข้มข้น ต่ำสุดของน้ำมันหอมระเหยที่ทำให้อาหารเลี้ยงเชื้อไม่ขุน ซึ่งเป็นความเข้มข้นต่ำสุดที่สามารถยับยั้งการเจริญเติบโตของเชื้อจุลินทรีย์ เมื่อนำหลุมที่ไม่มีการเจริญของเชื้อจุลินทรีย์มาเพาะเชื้อบน Muller Hilton Agar ความเข้มข้นต่ำสุดของหลุมที่ใส และตรวจไม่พบว่ามีการเจริญของเชื้อจุลินทรีย์ คือค่า MBC

6.6 การทดสอบฤทธิ์ต้านอนุมูลอิสระ โดยวิธี DPPH test

นำน้ำมันหอมระเหยความเข้มข้น 2% ใน ethanol มาเจือจางแบบ two fold dilution ใน ethanol ให้มีปริมาตร จำนวน 50 μl และเติม 0.0004 M DPPH ethanolic solution จำนวน 50 μl ทุกหลุม ลงใน 96-well plate นำไปเก็บในที่มืดนาน 30 นาที อ่านค่าการดูดกลืนแสงที่ความยาวคลื่น 490 nm โดยเปรียบเทียบกับ Vitamin C, BHT และ Vitamin E acetate ประสิทธิภาพในการยับยั้งการเกิด oxidation ของ DPPH และ เป็นค่าที่ตัวอย่างสามารถยับยั้งการเกิด oxidation ได้ 50% (IC_{50})

$$\% \text{ Inhibition} = [(A-B)/A] \times 100$$

A = ค่าการดูดกลืนแสงที่ 490 nm ของ DPPH ใน Ethanol

B = ค่าการดูดกลืนแสงที่ 490 nm ของตัวอย่างที่เดิม DPPH

6.7 การทดสอบฤทธิ์ต้านการอักเสบของน้ำมันหอมระเหย

การทดลองนี้ทดสอบฤทธิ์ลดบวมแดงหูหนูขาวที่ถูกกระชายด้วย 20 μl 16% v/v น้ำมันโครตอนใน acetone ที่ เคยรายงานมาก่อนในห้องปฏิบัติการนี้ว่าใช้เวลา ก่อบวมแดง 9 ชั่วโมง และอยู่นาน 24 ชั่วโมง การทดลองนี้มี จุดประสงค์แรกคือ ดูผลลัพธ์น้ำมันหอมระเหยมะกรูด กะเพรา ตะไคร้แกง ໂຮງພາ ขมีนชัน ตะไคร้ห้อม ไฟล พลู ก่อให้ร้ายเคืองและช่วยลดการบวมได้หรือไม่ โดยการทาเพียงครั้งเดียว 20 μl ในรูปน้ำมัน 100%, 25%, 12.5% v/v ใน acetone

การทดลองแบ่งเป็น 3 ตอนด้วยกัน ศึกษาผลของน้ำมันหอมระเหยทั้ง 8 ในความเข้มข้น 100% v/v เทียบกับ 0.1 gm Kenalog (triamcinolone acetonide 0.1% in orabase), 0.1 gm Voltaren (diclofenac 1% emulgel) และ acetone (control) ทำจานครบ 6 ชุด หนูขาวชุดละ 11 ตัว จากนั้นจึงทำการศึกษาน้ำมัน หอมระเหยที่ความเข้มข้น 25% v/v และเมื่อครบ 6 ชุด จะศึกษาที่ความเข้มข้น 12.5% v/v เปรียบเทียบความ หนาแน่น (ear thickness, mm) ของทั้ง 11 กลุ่ม และผลต่อหูด้านตรงข้าม ที่เวลาต่างๆ ตั้งแต่บวมก่อนให้ยา คือ 9 ชั่วโมง เมื่อได้สัมผัสถายที่หูขาว 2 ชั่วโมงแล้ว วัดการบวมของหู ที่ 12, 15, 18, 21, 24 ชั่วโมงหลังได้น้ำมัน โครตอนต่อไป เพื่อนำไปสร้างกราฟการบวมหูหนูและเพื่อคำนวณหาพื้นที่ภายใต้กราฟ จากนั้นแปลงข้อมูลทั้ง สามการศึกษาให้เป็น % control edema โดยเทียบกับการบวมของกลุ่ม control ที่เวลาต่างๆ เพื่อนำไปสร้าง กราฟและคำนวณหาพื้นที่ภายใต้กราฟ (AUC %control edema) และนำมาสร้างกราฟของสารใน 3 ความ เข้มข้นและพื้นที่ภายใต้กราฟ (dose response curve)

น้ำมันหอมระเหยบางชนิดที่ 100% เสริมการแดงของหูเท็นได้ชัดในขณะทดลอง แม้การบวมที่เพิ่มจะไม่แตกต่างกับกลุ่มควบคุมอย่างมีนัยสำคัญทางสถิติ แม้กระทั่งผลของ triamcinolone ซึ่งในการทดลองให้ก่อนการบวมเห็นผลลดลงได้ 30-50% แต่การลดบวมที่เกิดขึ้นแล้วและการหายเพียงครั้งเดียว เท็นผลไม่ชัดเจนขณะทดลองเห็นหูแดงเหมือนหูกลุ่มควบคุม ไม่เหมือนที่เคยรายงานว่าการให้ก่อนการสัมผัสน้ำมันโครตตอนจะเห็นหูคงสีข้มพุ่มข้าวซึ่ดเหมือนปกติ ส่วน Voltaren แม้จะบวมน้อยกว่ากลุ่มควบคุมแต่ไม่เห็นชัด ใน dose response curve น้ำมันหอมระเหยที่มีฤทธิ์ต่างกว่า Voltaren เช่นไกล์ Kenalog จะเป็นสัญญาณบ่งความเป็นไปได้ในการลดบวม ลดอักเสบ เพื่อศึกษาต่อให้เห็นชัดถึงการยา regimen ในการให้ช้าที่จะลดบวมได้

การทดลอง

ฤทธิ์ลดบวมของน้ำมันหอมระเหย

หูข้าวแพคผู้กลุ่มละ 6 ตัว น้ำหนัก 250-300 gm จากหน่วยสัตว์ทดลอง คณะแพทยศาสตร์มหาวิทยาลัยขอนแก่นและจากสำนักงานสัตว์ทดลองแห่งชาติ มหาวิทยาลัยมหิดล ถูกนำมาเลี้ยงในห้องทดลองที่ควบคุมอุณหภูมิ (23°C , 30% humidity, 12 D/L cycle) การเห็นยืนนาให้หูบวมเริ่มเวลา 21.00 น. ด้วยน้ำมันโครตตอน 16% ใน acetone ด้านในหูตรงขอบบนของหู ข้างละ 20 μ ถ้าหูอุզูในเครื่องตวง 2 ชั่วโมง เพื่อมีการเกาะหู จากนั้นปล่อยเข้ากรงเดียวให้ได้รับอาหารและเคลื่อนไหวอิสระโดยไม่ได้น้ำจนถึง 6 โมงเช้า จากนั้นวัดความหนาหู (9 ชั่วโมงหลังได้รับน้ำมันโครตตอน) ก่อนนำหูเข้าเครื่องตวงอีกครั้ง ทำน้ำมันหอมระเหย 8 ชนิด หนึ่งชนิดต่อหูข้างหนึ่งตัว มะกรูด กะเพรา ตะไคร้gang โหระพา ขมิ้นชัน ตะไคร้หอม ไฟล พลู ที่หูข้างขวาด้านนอก 20 μ ของ 3 ความเข้มข้น 100% ก่อนในชุดแรกน้ำมันโครตตอน 6 ชุด ชุดละ 11 หมูทดลอง และยา 11 ชนิด น้ำมันหอมระเหย 8 ชนิด acetone (control), 0.1 gm diclofenac 1% (Voltaren emulgel, Novartis) และ 0.1 gm triamcinolone acetonide 0.1% in orabase (Kenalog, Bristol-Myers squibb) จากนั้นเจ็บศึกษาผลของน้ำมันหอมระเหยที่ความเข้มข้น 25% v/v ใน acetone ต่อจุนครบ 6 ชุด และ ศึกษาที่ความเข้มข้น 12.5% ใน acetone อีก 6 ชุด แต่ละชุดทดสอบโดย 11 ชนิด ข้อมูลการบวมของหูเทียบกับของกลุ่ม control ในแต่ละเวลา $\times 100$ เป็น % control edema = ขนาดหูข้างขวาของกลุ่มทดลอง * 100 / ขนาดหูข้างขวาของกลุ่ม control ที่ทดสอบในชุดเดียวกัน (A treated ear) เปรียบเทียบหูข้างขวาของแต่ละกลุ่มยา (B untreated ear) เปรียบเทียบหูข้างซ้ายของแต่ละกลุ่มยา เพื่อศึกษาอิทธิพลของยาที่ทับน้ำหูข้างขวา แสดงค่าเฉลี่ย + SE ของหูกลุ่มละ 6 ตัว พื้นที่ภายใต้กราฟซึ่งมีหน่วย % control edema.hr

วิธีปฏิบัติที่ต้องระวัง

การทดลองแต่ละชุดประกอบด้วยน้ำมันหอมระเหย 8 ชนิด ยาลดอักเสบมาตรฐาน 2 ชนิดและหูกลุ่มควบคุม (control) ได้ acetone การยา น้ำมันโครตตอน เตรียมแล้วใช้ทันที หาเฉพาะบริเวณขอบด้านบนช้าๆ และเป่าแห้ง มิให้มีการสัมผัส ยาที่ทางจะให้สัมผัส 2 ชั่วโมงที่หู ที่เป็นน้ำมันหอมระเหยไม่เช็ดออก แต่ที่เป็นครีมทางจะเช็ดออกด้วยกระดาษแห้ง การวัดหูบวม วัดด้วย grain guage, Kett Ltd, Japan ที่ขอบใบหู ส่วนบน สามจุดและวัดซ้ำรวมเป็น 6 ค่า และหาค่าเฉลี่ย (วัด 3 ตำแหน่งทำสองซ้ำ เพื่อให้แน่ใจ)

ระยะที่ 2 การพัฒนาเนื้อยาจุ่มหัวนมแม่วัว

6.8 พัฒนาน้ำยาจุ่มหัวนมจากน้ำมันหอมระ夷

6.8.1 การหาระบบ microemulsion ในการนำส่งน้ำมันหอมระ夷ตะไคร้แกง

1. เครีมสารละลายที่มีส่วนผสมของ Tween 80 และ Span 80 ให้มีน้ำหนักรวม 1 gm ให้มีค่า HLB ระหว่าง 5-14 ดังแสดงในตารางที่ 1

ตารางที่ 1 ส่วนผสมของ Tween 80 (HLB 15.0) และ Span 80 (HLB 4.3) (1 gm) ที่มีค่า HLB ระหว่าง 5-14

HLB	Span 80 (gm)	Tween 80 (gm)
5	0.93	0.07
7	0.75	0.25
8	0.65	0.35
9	0.56	0.44
10	0.47	0.53
11	0.37	0.63
12	0.28	0.72
14	0.09	0.91

2. เติม น้ำมันตะไคร้แกงในสัดส่วน 2.5 gm : surfactant 1 gm ตามตารางที่ 1 ผสมให้เข้ากัน
3. ใส่เตредตัว 10% w/v propylene glycol จนได้สารละลายชุ่น บันทึกปริมาตร 10% w/v propylene glycol ที่ใช้ หาความสัมพันธ์ระหว่างค่า HLB system กับ solubilization (water to oil volume ratio)

6.8.2 ผลของส่วนประกอบในตำรับต่อประสิทธิภาพของน้ำมันหอมระ夷ตะไคร้แกง

ศึกษาผลของ ชนิด surfactants เกลือ และ กรดต่อประสิทธิภาพของตำรับ และความคงตัวทางกายภาพ โดยแต่ละตำรับมีส่วนประกอบดังตารางที่ 2

ก) ผลของชนิด surfactant

ตารางที่ 2 ส่วนประกอบในตำรับ 2.1-2.4

	2.1	2.2	2.3	2.4
Lemongrass oil	20	20	20	20
BHT	0.2	0.2	0.2	0.2
Mineral oil	5	5	5	5
Stearyl alcohol	1	1	1	1
Cetyl alcohol	1	1	1	1
Span 80	2	-	-	-
Cetomacrogol 1000	-	5	3	-
Sodium lauryl sulfate	-	-	2	5
Tween 80	3	-	-	-
Propylene glycol	20	20	20	20
Sodium benzoate	0.2	0.2	0.2	0.2
EDTA	0.1	0.1	0.1	0.1
DI water to	100	100	100	100

ข) ผลของ pH ต่อประสิทธิภาพของน้ำมันหอมระเหยตะไคร้แกง

- เตรียมสารละลายน้ำมัน 3.7 โดยปรับ pH ด้วย citric citrate buffer ให้มี pH 3, 5, 7, 8 โดยมีส่วนประกอบดังตารางที่ 4

ตารางที่ 3 ส่วนประกอบในตัวรับที่ 3.1-3.4 เพื่อศึกษาผลของ pH

	3.1	3.2	3.3	3.4
Lemongrass oil	20	20	20	20
BHT	0.2	0.2	0.2	0.2
Mineral oil	20	20	20	20
Cetomacrogol 1000	15	15	15	15
Sodium lauryl sulfate (SLS)	10	10	10	10
Sodium benzoate	0.2	0.2	0.2	0.2
EDTA	0.1	0.1	0.1	0.1
Sodium chloride	4	4	4	4
Citric acid	1.67	1.0	0.37	0.058
K ₂ HPO ₄	1.47	3.7	5.9	6.97
DI water to	100	100	100	100
Final pH	4.16	6.48	7.04	7.53

วิธีเตรียม

- ผสมสารที่ละลายในวัตภากน้ำมัน ได้แก่ light mineral oil, BHT, Cetromacrogol 1000 และน้ำไปหลอมบนอ่างอั่งไอน้ำจนมีอุณหภูมิ 70°C
 - ผสมสารที่ละลายในวัตภากน้ำ ได้แก่ SLS, sodium benzoate, EDTA Sodium chloride, citric acid, K₂HPO₄ และน้ำ และน้ำไปหลอมบนอ่างอั่งไอน้ำจนมีอุณหภูมิ 75°C
 - เทวัตภากน้ำลงในน้ำมันคนอย่างต่อเนื่องร้อนส่วนผสมมีอุณหภูมิ 45 °C จึงเติม lemongrass oil ลงไปคนจนเป็นเนื้อดีกวักัน
- นำตัวรับที่เตรียมไปทดสอบประสิทธิภาพโดยวิธี Agar diffusion method เปรียบเทียบ inhibition zone ที่เกิดขึ้น
 - ตั้งตัวรับที่อุณหภูมิห้องนาน 24 ชม. สังเกตลักษณะการเปลี่ยนแปลงทางกายภาพ

ค) ผลของเกลือและกรดต่อประสิทธิภาพของตัวรับ

ตารางที่ 4 ส่วนประกอบในตัวรับที่ 4.1-4.7 เพื่อศึกษาผลของส่วนประกอบต่อประสิทธิภาพของตัวรับ

	4.1	4.2	4.3	4.4	4.5	4.6	4.7
Lemongrass oil	20	20	20	20	20	20	20
BHT	0.2	0.2	0.2	0.2	0.2	0.2	0.2
Mineral oil	5	5	5	5	5	-	20
Stearyl alcohol	1	1	1	1	1	-	-
Cetyl alcohol	1	1	1	1	1	-	-
Span 80	-	-	4	4	-	-	-
Cetromacrogol 1000	5	5	-	-	15	15	15
Sodium lauryl sulfate (SLS)	5	5	5	5	5	10	10
Tween 80	-	-	6	6	-	-	-
Propylene glycol	20	20	20	20	-	-	-
Sodium benzoate	0.2	0.2	0.2	0.2	0.2	-	0.2
EDTA	0.1	0.1	0.1	0.1	0.1	-	0.1
Sodium chloride	2	-	2	-	4	4	4
Citric acid	0.5	0.5	0.5	0.5	2	2	2
DI water to	100	100	100	100	100	100	100

1. วิธีเตรียม

- ผสมสารที่ละลายในวัตภาคน้ำมัน ได้แก่ light mineral oil, BHT, stearyl alcohol, cetyl alcohol, Span 80 Cetromacrogol 1000 และน้ำไปหลอมบนอ่างอั่งไอน้ำจนมีอุณหภูมิ 70°C
 - ผสมสารที่ละลายในวัตภาคน้ำ ได้แก่ SLS, Tween 80, propylene glycol, sodium benzoate, EDTA Sodium chloride, citric acid และน้ำ และน้ำไปหลอมบนอ่างอั่งไอน้ำจนมีอุณหภูมิ 75°C
 - เทวัตภาคน้ำลงในน้ำมัน คนอย่างต่อเนื่องร้อนจนส่วนผสมมีอุณหภูมิ 45 °C จึงเติม Lemongrass oil ลงไปคนจนเป็นเนื้อเดียวกัน
- นำตัวรับที่เตรียมไปทดสอบประสิทธิภาพโดยวิธี Agar diffusion method เปรียบเทียบ inhibition zone เกิดขึ้น
 - ตั้งตัวรับที่อุณหภูมิห้องนาน 24 ชม. สังเกตลักษณะการเปลี่ยนแปลงทางกายภาพ

6.9 ประสิทธิภาพของตัวรับต่อการฆ่าเชื้อก่อโรคเต้านมอักเสบ (D value)

- นำตัวรับ 3.7 มาเจือจางด้วยน้ำให้มีความเข้มข้นของน้ำมันตะไคร้แกรงระหว่าง 0.3, 0.5, 1, 2, 3 % v/v
- นำเชื้อที่เพาะเลี้ยงไว้นาน 24 ชม 100 μl เติมลงในสารละลายที่เจือจาง 900 μl ให้มีความเข้มข้นสุดท้ายตามต้องการ ผสมด้วย Vortex
- ปีเปตส่วนผสมในข้อ 2 มา 100 μl ลงใน normal saline 10 ml ที่เวลา 20, 30 60 และ 120 วินาที ตามลำดับ
- เบี่ยงเชื้อที่สุมขึ้นมาที่เวลาต่างๆ เพื่อล้างเอาน้ำยาออก และนำไป Centrifuge ที่ 4500 rpm นาน 5 นาที นำ pellet ที่ได้มา resuspended ใน normal saline 1 ml นำไปนับจำนวนเชื้อที่เหลือโดยวิธี pour plate

5. หาความสัมพันธ์ระหว่าง log survivors ต่อ เวลาที่ความเข้มข้นต่างๆ
6. คำนวณหา D value หาระยะเวลาที่ทำให้เชื้อลดลง 90 % จากกราฟ

6.10 ความคงตัวทางจุลชีววิทยาและทางกายภาพของน้ำยาจุ่มน้ำมันตะไคร้แกง

ประเมินความคงตัวของผลิตภัณฑ์ทางกายภาพและทางจุลชีววิทยาเมื่อเก็บไว้ที่อุณหภูมิห้อง และ ที่ 40 °C และ เก็บที่อุณหภูมิตู้เย็น (6 °C) ทุกเดือนนาน 6 เดือน ดังนี้

1. เตรียมตัวอย่าง 300 มล. แล้วแบ่งใส่ขวดพลาสติก จำนวน 3 ขวด ขวดแก้วสีชาจำนวน 3 ขวด นำตัวอย่างที่บรรจุในขวดพลาสติกขาวและขวดแก้วสีชาไปเก็บไว้ที่ตู้เย็น อุณหภูมิห้อง และที่ 40 °C 75%RH
2. ณ วันที่ 0, 30, 60, 90, 120, 150, 180 ทำการประเมินลักษณะทางกายภาพ pH ของสารละลาย 10%
3. ประเมินประสิทธิภาพทางจุลชีววิทยาโดยวิธี agar diffusion method เทียบกับ 0.5%w/v Chlorhexidine digluconate (CHX) โดย พลอตกราฟระหว่าง inhibition zone (mm) กับความเข้มข้นของตัวอย่างหาความสัมพันธ์เชิงเส้นตรง และนำมาระเบรยนเทียบกับ inhibition zone ของ 0.5%w/v CHX ว่า inhibition zone ของตัวอย่างที่ความเข้มข้นเท่าใดเทียบเท่ากับ inhibition zone ของ 0.5%w/v CHX

7. ผลการวิจัยและวิจารณ์ผล

7.1 การตรวจสอบค่าประกอบทางเคมีของน้ำมันหอมระเหยโดย GC/MS

จากตารางที่ 1-8 พบว่าน้ำมันหอมระเหยทั้ง 8 ชนิดโดยน้ำมันแต่ละชนิดมีองค์ประกอบหลักดังนี้ น้ำมันกระเพรา ได้แก่ methyleugenol (37.69%), น้ำมันໂຮຣພາ ได้แก่ Methyl chavicol (78.22%) น้ำมันมะกรูด ได้แก่ dl-Limonene (24.8%) น้ำมันพลู ได้แก่ eugenol (28.04%) และ eugenol acetate (23.68%) น้ำมันขมิ้นชัน ได้แก่ tumerone (11.57%) น้ำมันไพล ได้แก่ á-Phellandrene (34.24%) และ I-4-Terpineol (26.17%), น้ำมันตะไคร้แกง ได้แก่ α-citral (40.56%) และ β-citral (33.71%) น้ำมันตะไคร้หอม ได้แก่ citronella (30.96%) ลักษณะของ GC/MS chromatograms ของน้ำมันแต่ละชนิดแสดงในรูปที่ 1-8 ผลการตรวจสอบค่าประกอบพบว่าน้ำมันแต่ละชนิดมีปริมาณของสารสำคัญที่ต่างจากที่เคยมีรายงานมาก่อนหน้านี้ เช่น ไพล มีองค์ประกอบหลักคือ sabinene 27.03% และ terpinen-4-oil 41.74 % (www.essentialoils.org) Inouye et al. (2001) รายงานว่าองค์ประกอบหลักของน้ำมันตะไคร้หอมคือ neral 33.2% และ geranial 37.8% Nakahara et al. (2003) พบว่าน้ำมันหอมระเหยตะไคร้หอม ที่เก็บบริเวณกรุงเทพมหานคร มีองค์ประกอบหลักคือ geraniol 35.7%, cis-citral 14.2% , geranyl acetate 9.7%, citronellal 5.8% และ citronellool 4.6% Raina et al. (2002) ตรวจสอบค่าประกอบของน้ำมันขมิ้นชันที่ผลิตได้ในอิตาลีพบ 1, 8-cineole 11.2%, a-tumerone 11.1%, b-caryophyllene 9.8%, tumerone 7.3% และ b-sesquihellandrene 7.1%. Viyoch et al. (2006) ทำการตรวจสอบค่าประกอบของน้ำมันกระเพราพบสารประกอบหลักซึ่งแตกต่างจาก การศึกษานี้ได้แก่ eugenol 41.5%, caryophyllene 23.7 % และ methyl eugenol 11.8% ส่วนน้ำมันໂຮຣພາ ได้แก่ methyl chavicol 93% อย่างไรก็ตามปริมาณที่ตรวจพบจะแตกต่างจากที่เคยมีรายงานมาก่อน (Sheen et al., 1991) ทั้งนี้อาจเป็นเพราะความแตกต่างกันในแหล่งที่ปลูก สภาพดิน ฟ้า อากาศ ซึ่งส่งผลให้ปริมาณสารประกอบแต่ละชนิดแตกต่างกันไป

ตารางที่ 5 องค์ประกอบทางเคมีของน้ำหอมระ夷กระเพรา (Holy basil)

Component	RT	LRI	%Area
Borneol	8.31	1173	0.92
Eugenol	12.41	1365	15.87
à-Cubebene	12.82	1384	0.85
à-(E)-bisabolene	13.14	1300	6.67
Methyl eugenol	13.39	1410	37.69
Caryophyllene	13.79	1426	26.11
à-Humulene	14.47	1454	1.54
Germacrene D	15.02	1477	2.28
á-Elemene	15.52	1498	0.89
Others			7.18

ตารางที่ 6 องค์ประกอบทางเคมีของน้ำหอมระ夷โภรพา (Sweet basil)

Name	RT	LRI	%Area
1,8-Cineole	5.56	1036	1.69
(+)-trans-1-(1-Methylethenyl)-2-(2-methyl-1 - propenyl)-cyclopropane	5.78	1047	2.87
Camphor	7.89	1153	0.98
Methyl chavicol	9.01	1206	78.22
á-Elemene	13.12	1399	1.3
Benzene, 1,2-dimethoxy-4-(2-propenyl)-	13.33	1407	1.43
trans-Caryophyllene	13.76	1425	1.5
Trans-à-bergamotene	14.01	1435	2.97
à-Cubebene	15.02	1477	1.12
à-Cadinol	18.1	1652	1.24
Others			6.68

ตารางที่ 7 องค์ประกอบทางเคมีของน้ำหอมมะหยี่มกรุด (Kaffir lime)

Component	RT	LRI	%Area
Sabinene	3.93		3.04
Sabinene	4.62		15.21
á-Myrcene	4.75		1.49
I-Phellandrene	5.05	1009	0.92
à-Terpinene	5.26	1020	5.58
dl-Limonene	5.5	1033	24.8
terpinoline	6.05	1062	6.25
Linalool oxide (2)	6.32	1076	1.62
terpinoline	6.64	1093	5.15
Isopulegol	7.86	1151	2.52
Geranyl 2-methyl butyrate	8.09	1162	1.77
I-4-Terpineol	8.55	1184	9.5
Linalyl propionate	8.82	1197	10.75
3-(4-Methoxyphenyl)pent-4-en-2-ol	8.96	1203	0.86
á-cadinene	15.81	1515	1.63
Others			8.91

ตารางที่ 8 องค์ประกอบทางเคมีของน้ำหอมมะหยี่ใบพลู (Betel vine)

Component	RT	LRI	%Area
1,8-Cineole	5.57	1036	0.9
Chavicol	10.08	1256	1.73
Chavicol acetate	12.11	1351	5.44
Eugenol	12.71	1379	28.04
Caryophyllene	13.77	1426	3.27
à-Humulene	14.46	1454	0.81
à-Amorphene	14.89	1472	3.5
á-Cubebene	15.02	1477	3.6
Dihydrocarvyl acetate	15.33	1490	2.8
Eugenol acetate (Phenol, 2-methoxy-4-(2-propenyl)-, acetate)(CAS)	15.9		23.68
		1521	
4-Allyl-1,2-diacetoxybenzene	18.14	1655	17.83
Others			8.4

ตารางที่ 9 องค์ประกอบทางเคมีของน้ำหอมระ夷มิ้นชัน (Tumeric)

Component	RT	LRI	%Area
I-Phellandrene	5.03	1008	4.43
I-Phellandrene	5.39	1027	0.79
1,8-Cineole	5.54	1035	2.98
terpinoline	6.63	1092	6.25
trans-Caryophyllene	13.77	1426	1.93
(-)ar-curcumene	14.96	1474	3.06
Zingiberene	15.22	1485	6.98
α-Bisabolene	15.48	1496	1.17
α-Sesquiphellandrene (CAS)	15.8	1514	6.91
Benzene, 1,1'-(1,1,2,2-tetramethyl-1,2-ethanediyl)bis-(CAS)	17.37	1613	1.79
à-Tumerone	19.21	1713	11.59
Others			52.12

ตารางที่ 10 องค์ประกอบทางเคมีของน้ำหอมระ夷ไพล (Plai)

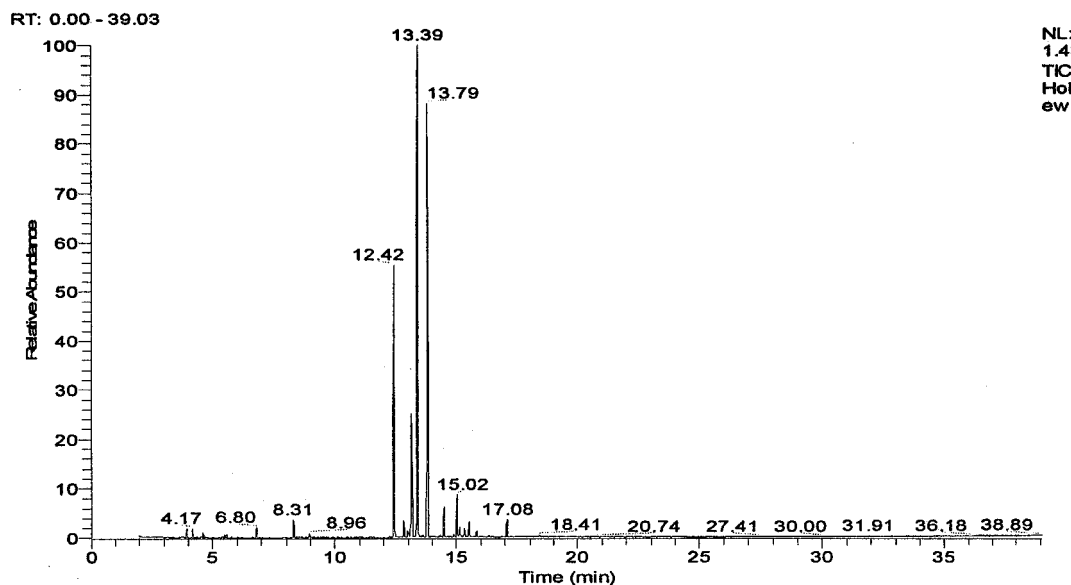
Component	RT	LRI	%Area
Cyclofenchene	3.93		1.6
á-Phellandrene	4.54		34.24
2,4-Dinitrophenyl crotonate	4.75		1.57
terpinoline	5.26	1020	3.86
p-Methylcumyl Alcohol	5.41	1028	2.59
terpinoline	6.05	1062	7.68
terpinoline	6.64	1093	1.51
I-4-Terpineol	8.56	1184	26.17
á-Sesquiphellandrene (CAS)	15.78	1513	2.45
2-Allyl-1,4-dimethoxy-6-methylbenzene	17.12	1599	1.18
(E and Z)-1-(3,4-Dimethoxyphenyl)butadiene	17.85	1639	9.67
4-Methoxy-2-methyl-1-((2-methylphenyl)thio)buta-1,3-diene	21.19	1826	0.87
Others			6.61

ตารางที่ 11 องค์ประกอบทางเคมีของน้ำหอมระ夷ตะไคร้แกง (Lemongrass)

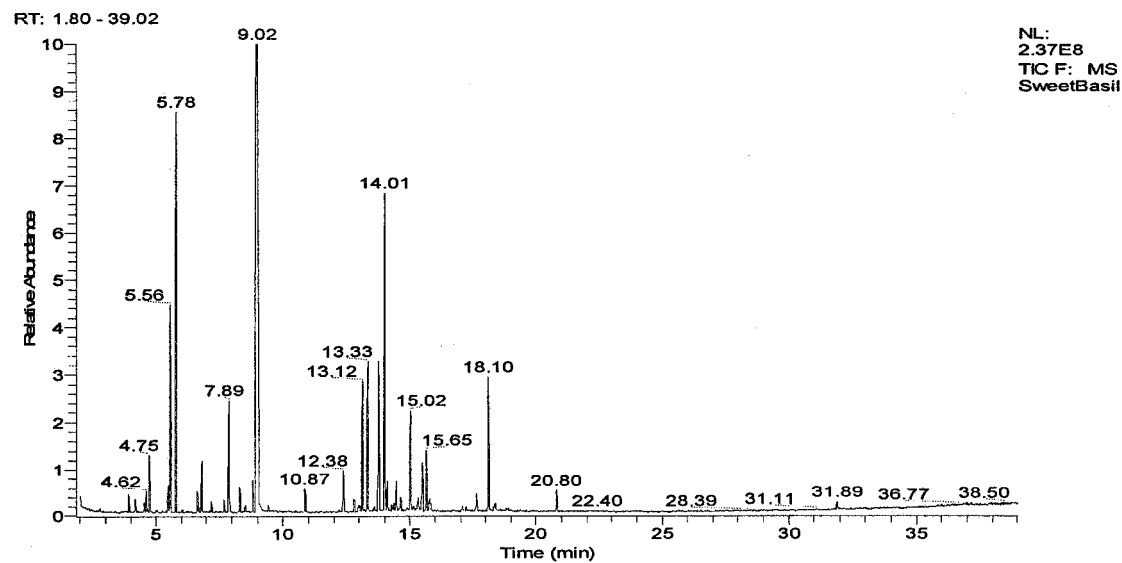
Component	RT	LRI	%Area
á-Myrcene	4.76		10.27
6-Hydroxy-6-isopropyltricyclo[3.3.0.0(3,7)]octan-2-one	8.56	1184	1.58
β-citral	9.90		33.71
Lavandulyl acetate	10.12	1257	4.64
α-citral	10.54	1277	40.56
Geranyl acetate	12.85	1386	2.16
b-caryophylene	13.76		0.18
Others			6.9

ตารางที่ 12 องค์ประกอบทางเคมีของน้ำหอมระ夷ตะไคร้หอม (Citronella)

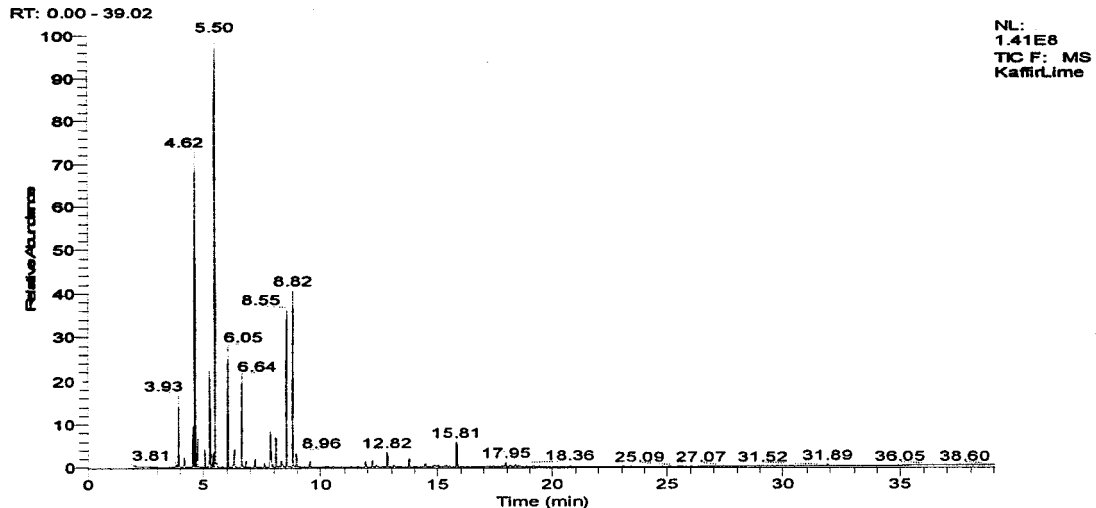
Component	RT	LRI	%Area
Citronella	7.97	1156	30.96
á-Citronellol	9.54	1230	12.15
Geraniol	10.14	1258	19.54
Citronellyl propionate	12.19	1316	4.03
Eugenol	12.39	1364	1.24
Geranyl acetate	12.85	1386	4.3
á-Elemene	13.13	1399	2.91
à-Murolene	15.36	1495	0.96
à-Amorphene	15.65	1505	0.74
á-cadinene	15.82	1515	3.21
hedycaryol	16.32	1548	3.72
t-Cadinol	18.12	1606	0.81
ç-Gurjunene	18.37	1667	1.44
Other			13.99



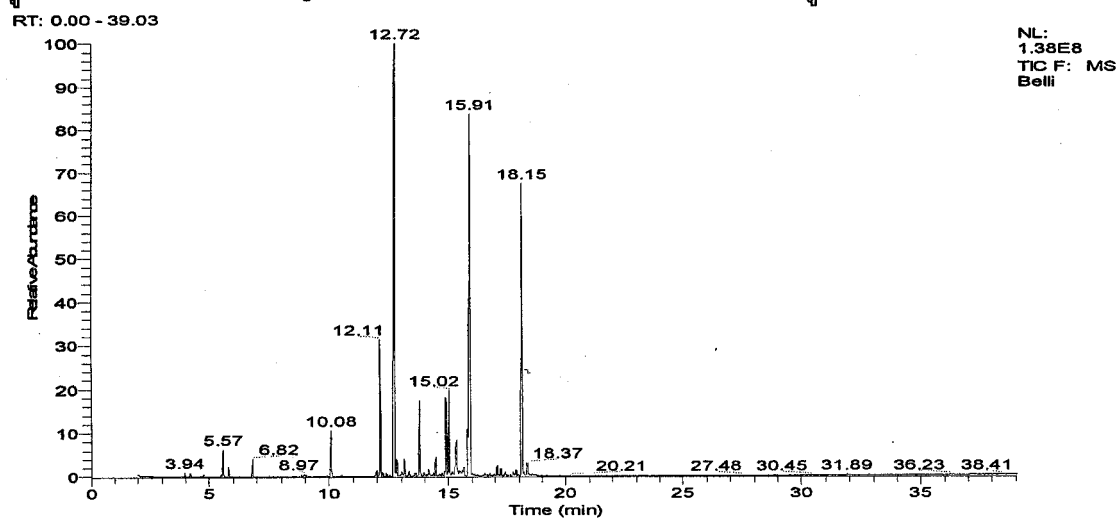
รูปที่ 1 GC/MS Chromatogram องค์ประกอบทางเคมีของน้ำหอมระ夷กระเพรา



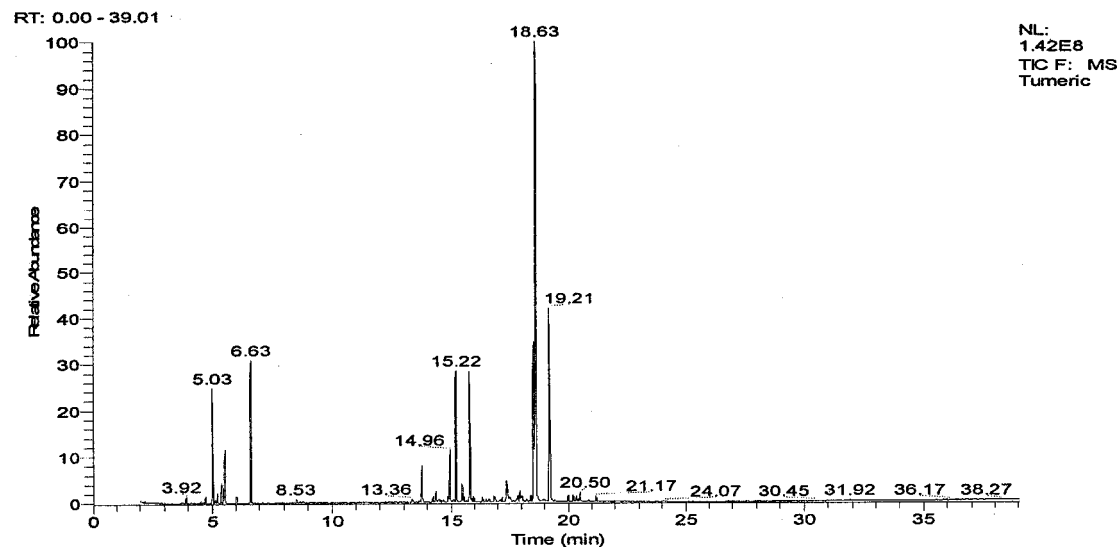
รูปที่ 2 GC/MS Chromatogram องค์ประกอบทางเคมีของน้ำหอมระ夷โตร时效



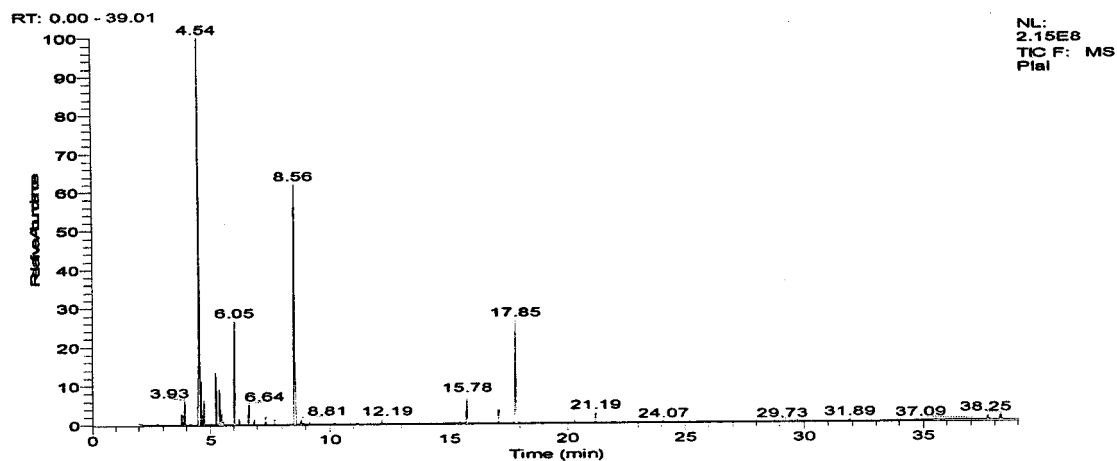
รูปที่ 3 GC/MS Chromatogram องค์ประกอบทางเคมีของน้ำหอมมะหยี่มะกรุด



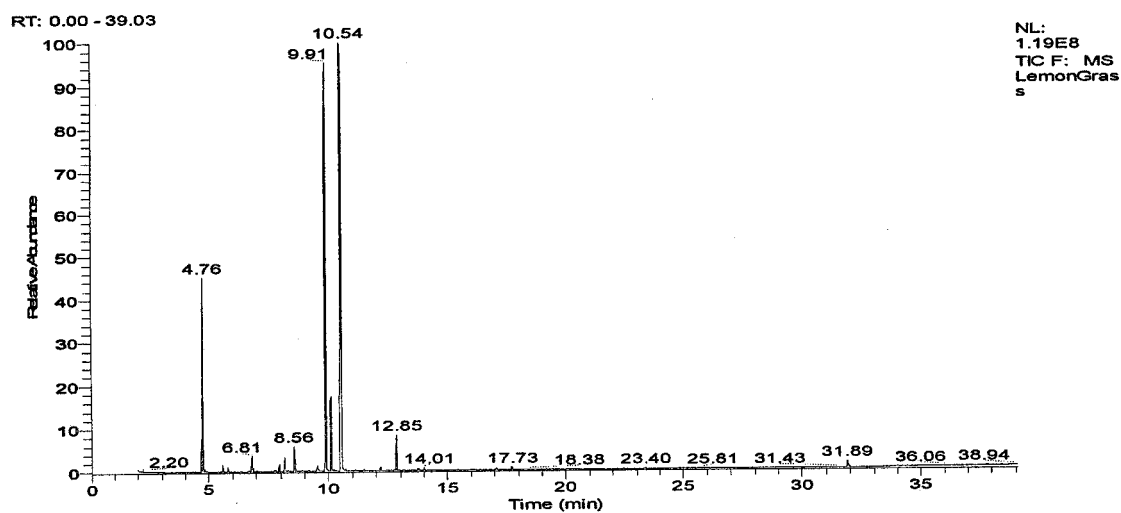
รูปที่ 4 GC/MS Chromatogram องค์ประกอบทางเคมีของน้ำหอมมะหยี่บีเพลท



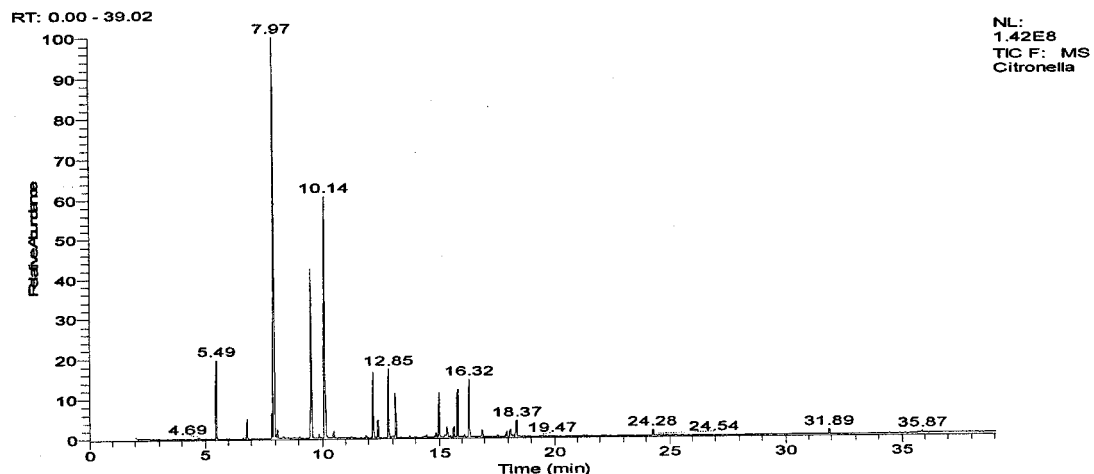
รูปที่ 5 GC/MS Chromatogram องค์ประกอบทางเคมีของน้ำหอมมะหยี่มิ้นชัน



รูปที่ 6 GC/MS Chromatogram องค์ประกอบทางเคมีของน้ำหอมระเหยเลmongrass



รูปที่ 7 GC/MS Chromatogram องค์ประกอบทางเคมีของน้ำหอมระเหยตระไคร้แกง



รูปที่ 8 GC/MS Chromatogram องค์ประกอบทางเคมีของน้ำหอมระเหยตระไคร้ห้อม

7.2 การแยกเชื้อก่อโรคเด้านมวัวอักเสบและการทดสอบทางชีวเคมีเพื่อหาชนิดของเชื้อที่แยกได้
 จากผลทดสอบทางชีวเคมีเพื่อแยกเชื้อจากนมโโคที่รึ่ดใหม่ๆ พบรอยเชื้อก่อโรคเด้านมวัวอักเสบ 5 ชนิด ได้แก่ *Streptococcus agalactiae*, *Staphylococcus aureus*, *Bacillus cereus*, *Esherichia coli*, *Pseudomonas aeruginosa* เชื้อที่พบในการศึกษาครั้นสอดคล้องกับรายงานของ รุ่งเจริญและคณะ (2529) ที่ทำการเพาะเชื้อหาสาเหตุของเชื้อที่ทำให้เกิดโรคเด้านมวัวอักเสบจากตัวอย่างนมทั้งหมด 19 ตัวอย่างพบว่า เชื้อที่ตรวจพบจากมากไปน้อยเป็นดังนี้ *Streptococcus spp.*, *E. coli*, *S. aureus*, *B. cereus*, *Ps. aeruginosa*, *Corynebacterium pyrogene* และที่เหลือเป็นเชื้อผสม ลักษณะของเชื้อแต่ละชนิดเป็นดังนี้ *Strep. agalactiae* จัดอยู่ใน Group B streptococci มลักษณะเป็น แกรมบวก cocci ต่อกันเป็นสายใช้สามารถเกิด Beta-hemolytic บน Blood agar *S. aureus* เป็นแบคทีเรียชนิดแกรมบวก เชลอยู่กันเป็นกลุ่ม มีขนาดเซลล์ประมาณ 1 μm สามารถเจริญได้ในสภาวะที่มีอากาศ (aerobic bacteria) และไม่มีอากาศ (anaerobic bacteria) ให้โคโนเลสีขาวหรือทองบน blood agar catalase positive, coagulase positive *B. cereus* เป็นแบคทีเรียชนิดแกรมลบ ขนาดใหญ่ แบบแท่ง เคลื่อนที่ได้ และไม่มีแคปซูลหุ้ม เจริญได้ในสภาวะที่มีอากาศ สามารถเกิด hemolytic บน Blood agar ไม่สามารถใช้แม่นิทอล *E. coli* เป็นแบคทีเรียชนิดแกรมลบ แท่ง อาจมีหรือไม่มีแคปซูล สามารถเจริญทั้งในสภาวะที่มีอากาศและไม่มีอากาศ (Facultative anaerobe bacteria) สามารถหมักแล็คโตสได้ และ *Ps. aeruginosa* เป็นแบคทีเรียชนิดแกรมลบ แท่ง เคลื่อนที่ได้โดย polar flagella เจริญได้ในสภาวะที่มีอากาศ สามารถผลิตเม็ดสีฟ้า เขียวของ pyocyanin และ เม็ดสีเหลืองเขียวของ pyoverdin (Mims et al, 2004)

1. ผลการเจริญของเชื้อในอาหารเลี้ยงเชื้อ

ชนิดแบคทีเรีย	การเจริญของเชื้อ	
	Blood agar	MacConkey agar
<i>Streptococcus spp.</i>	✓	✗
<i>Staphylococcus spp.</i>	✓	✗
<i>Esherichia spp.</i>	✓	✓
<i>Bacillus spp.</i>	✓	✗
<i>Pseudomonas spp.</i>	✓	✓

✓ หมายถึง เชื้อเจริญ ✗ หมายถึง เชื้อไม่เจริญ

2. ผลการย้อมสีแกรม

ชนิดแบคทีเรีย	การย้อมติดสี	ลักษณะรูปร่างเมื่อส่อง ด้วยกล้องจุลทรรศน์	แกรม
<i>Streptococcus spp.</i>	ม่วง	กลม	บวก
<i>Staphylococcus spp.</i>	ม่วง	กลม	บวก
<i>Esherichia spp.</i>	แดง	แท่ง	ลบ
<i>Bacillus spp.</i>	ม่วง	แท่ง	บวก
<i>Pseudomonas spp.</i>	แดง	แท่ง	ลบ

3. ผลการทดสอบ Catalase

ชนิดแบคทีเรีย	ผลการทดสอบ Catalase
<i>Streptococcus spp.</i>	-
<i>Staphylococcus spp.</i>	+

4. ผลการทดสอบ Oxidase

ชนิดแบคทีเรีย	ผลการทดสอบ Catalase
<i>Esherichia spp.</i>	-
<i>Pseudomonas spp.</i>	+

5. การทดสอบทางชีวเคมีเพื่อหาชนิดของเชื้อที่แยกได้

การทดสอบทาง ชีวเคมี	ชนิดแบคทีเรีย				
	<i>Strep. agalactiae</i>	<i>S. aureus</i>	<i>B. cereus</i>	<i>E. coli</i>	<i>Ps. aeruginosa</i>
Hemolysis	β-hemolysis	β-hemolysis	α-hemolysis	×	×
Catalase test	-	+	×	×	×
Oxidase test	×	×	×	-	+
PR -Mannitol	-	+	×	×	×
CAMP test	+	×	×	×	×
Coagulase test	×	+	×	×	×
1% Maltose ใน purple agar base	×	+	×	×	×
Motility test	×	×	+	+ หรือ -	-
Esculin hydrolysis	-	×	-	×	×
TSI	×	×	×	A/A หรือ K/AG A/AG K/A	K/N
Indole test	×	×	×	+	×
Lysine decarboxylase test	×	×	×	+,-	×
EMB agar	×	×	×	+	×
Citrate test	×	×	×	-	×
OF-Glucose	×	×	×	×	Oxidation
Nitrate reduction test	×	×	×	×	+,-
OF-Maltose	×	×	×	×	Nonreactive
Urease test	×	×	×	×	+,-
Gelatin liquefaction	×	×	×	×	+,-
Nitrate reduction test	×	×	×	×	+

× หมายถึง “ไม่ได้ทำการทดสอบ”

7.3 การหาความไวของน้ำมันหอมระ夷ต่อเชื้อก่อโรคโดยวิธี Disc diffusion method

ตารางที่ 13 ความไวของน้ำมันหอมระ夷 8 ชนิด ที่ความเข้มข้น 10%V/V ต่อเชื้อก่อโรคโดยวิธี Disc diffusion method

น้ำมันหอมระ夷	Inhibition zone (mm.)				
	<i>Ps. aeruginosa</i>	<i>E. coli</i>	<i>S. aureus</i>	<i>Strep. agalactiae</i>	<i>B. cereus</i>
กระเพรา	-	10	11	15	14
โภระพา	-	10	9	13	10
ตะไคร้ห้อม	-	10	10 (5%)	24 (5%)	12 (3%)
ตะไคร้แกง	-	10	18 (5%)	36 (5%)	34 (3%)
พุด	-	12	10	12	15
ใบพล	-	9	9	10	11
ขมิ้นชัน	-	-	-	-	9
มะกรูด	-	11	9	11	15

-; No inhibition zone

Disc diameter 8 mm.

จากตารางที่ 13 น้ำมันตะไคร้แกง และน้ำมันตะไคร้ห้อมมีประสิทธิภาพในการยับยั้งเชื้อ 4 ชนิด ได้แก่ *S. aureus*, *Strep. agalactiae*, *B. cereus*, *E. coli* ได้ดีกว่า น้ำมันกระเพรา น้ำมันโภระพา น้ำมันพุด น้ำมันขมิ้นชัน และน้ำมันมะกรูด และน้ำมันทุกชนิดไม่สามารถยับยั้งเชื้อ *Ps. aeruginosa* เมื่อเปรียบเทียบระหว่าง น้ำมันตะไคร้ห้อมและน้ำมันตะไคร้แกงพบว่า น้ำมันตะไคร้แกงสามารถยับยั้งเชื้อก่อโรคเต้านมอักเสบได้ดีกว่า น้ำมันตะไคร้ห้อม โดยสามารถยับยั้งเชื้อ *B. cereus* ได้ดีที่สุด รองลงมาได้แก่ *Strep. agalactiae*, *S. aureus* และ *E. coli* ตามลำดับ

7.3 การหาค่า Minimum inhibitory concentration (MIC) และการหาค่า Minimum bactericidal concentration (MBC)

ตารางที่ 14 ค่า MIC ($\mu\text{l/ml}$) และ MBC ($\mu\text{l/ml}$) ของน้ำมันหอมระ夷 8 ชนิดต่อเชื้อก่อโรคโดยวิธี Broth microdilution method

เชื้อ	ค่า MIC และ MBC ($\mu\text{l/ml}$)															
	Turmeric		Citronella		Lemongrass		Kaffir lime		Plai		Sweet basil		Holy basil		Belle vine	
	MIC	MBC	MIC	MBC	MIC	MBC	MIC	MBC	MIC	MBC	MIC	MBC	MIC	MBC	MIC	MBC
Sa.	-	2.5	1.25	1.25	0.625	1.25	-	2.5	-	2.5	-	2.5	-	2.5	0.625	0.625
Sg	1.25	1.25	0.625	0.625	0.625	0.625	1.25	1.25	1.25	1.25	1.25	1.25	1.25	1.25	0.312	0.625
Bc	-	2.5	0.312	0.312	0.156	0.156	0.625	0.625	-	2.5	-	2.5	-	2.5	0.625	0.625
Ec*	-	-	-	2.5	1.25	1.25	-	2.5	-	2.5	-	2.5	-	2.5	1.25	1.25
Ps*	-	-	-	-	-	-	-	-	-	-	-	-	-	-	-	-

หมายเหตุ คล้ายน้ำมันหอมระ夷ใน DMSO :

MIC ของ DMSO เท่ากับ 2.5 $\mu\text{l/ml}$

MBC ของ DMSO เท่ากับ 5.0 $\mu\text{l/ml}$



ตารางที่ 15 ผลของสารประกอบหลักในน้ำมันมะนาวต่อเชื้อแบคทีเรียในอุจจาระ

Compound	Inhibition zone (mm) of 11.25 μl of lemongrass oil				
	<i>S. aureus</i>	<i>S. agalactiae</i>	<i>B. cereus</i>	<i>E. coli</i>	<i>Ps. aeruginosa</i>
Citral	30	64.3	60.3	25	NA
Geraniol	13	15	15	20.7	NA
Linalool	12	11	26.7	17.7	NA
Myrcene	NA	NA	NA	11	NA
nerol	10.3	17	17	15	NA

NA: not active

ตารางที่ 16 สรุปค่า MIC และ MBC ของ lemon grass และ key components ต่อ Mastitis pathogens

เชื้อ	ค่า MIC และ MBC ($\mu\text{g/ml}$)													
	Lemongrass		citral		citronella		linalool		geraniol		Geranyl acetate		nerol	
	MIC	MBC	MIC	MBC	MIC	MBC	MIC	MBC	MIC	MBC	MIC	MBC	MIC	MBC
Sa.	0.625	1.25	0.625	0.625	1.25	1.25	1.25	1.25	0.625	0.625	-	2.5	0.625	0.625
Sg	0.625	0.625	0.312	0.312	0.625	0.625	0.625	0.625	0.312	0.312	0.625	0.625	0.312	0.312
Bc	0.156	0.156	0.156	0.156	0.312	0.312	0.312	0.312	0.312	0.312	1.25	1.25	0.312	0.312
Ec*	1.25	1.25	1.25	1.25	-	2.5	1.25	1.25	0.625	0.625	-	2.5	1.25	1.25
Ps*	-	-	-	-	-	-	-	-	-	-	-	-	-	-

หมายเหตุ ละลายน้ำมันหอมระเหยใน DMSO :

MIC ของ DMSO เท่ากับ 2.5 $\mu\text{l/ml}$ MBC ของ DMSO เท่ากับ 5.0 $\mu\text{l/ml}$

จากตาราง 14 แสดงให้เห็นว่าต่อเชื้อ *S. aureus* น้ำมันพลูสามารถยับยั้งและฆ่าเชื้อได้ดีที่สุดคือที่ความเข้มข้น 0.625 $\mu\text{l/ml}$ ซึ่งให้เห็นว่าน้ำมันพลูออกฤทธิ์โดยการฆ่าเชื้อ *S. aureus* รองลงมาคือน้ำมันมะนาวต่อเชื้อที่ความเข้มข้น 0.625 และ 1.25 $\mu\text{l/ml}$ ตามลำดับ แสดงว่าการออกฤทธิ์ของน้ำมันมะนาวต่อเชื้อที่ความเข้มข้น 0.625 และ 1.25 $\mu\text{l/ml}$ เป็นแบบยับยั้งและฆ่าเชื้อ *S. aureus* โดยขึ้นกับขนาดของน้ำมันที่ใช้ ส่วนเชื้อ *Strep. agalactiae* น้ำมันพลูออกฤทธิ์ยับยั้งเชื้อที่ดีที่สุดที่ความเข้มข้น 0.312 $\mu\text{l/ml}$ ขณะที่น้ำมันมะนาวต่อเชื้อ น้ำมันมะนาวต่อเชื้อที่ความเข้มข้น 0.625 $\mu\text{l/ml}$ แสดงว่าน้ำมันมะนาวต่อเชื้อที่ความเข้มข้น 1.25 $\mu\text{l/ml}$ แสดงว่าน้ำมันมะนาวต่อเชื้อที่ความเข้มข้น 1.25 $\mu\text{l/ml}$ และในความเข้มข้นสูงสุดของน้ำมันที่สามารถเตรียมได้ไม่มีน้ำมันชนิดใดที่สามารถฆ่าเชื้อ *Ps. aeruginosa* ได้ ผลการศึกษาดังจากการศึกษาโดย agar diffusion technique (ตารางที่ 13) กล่าวคือเมื่อเปรียบเทียบ inhibition zone ระหว่างน้ำมันมะนาวต่อเชื้อและน้ำมันพลู พบว่าน้ำมันมะนาวต่อเชื้อสามารถให้ inhibition zone ยับยั้งเชื้อทุกชนิด ยกเว้น *Ps. aeruginosa* ได้กว้างกว่าน้ำมันพลูในความเข้มข้นที่ต่ำกว่าน้ำมันพลู และพบว่าหากใช้ Tween 80 เป็นสารช่วยละลายน้ำมัน น้ำมันพลูจะไม่มีฤทธิ์ในการฆ่าเชื้อทุกชนิดในความเข้มข้นที่ใช้ทดสอบ ทั้งนี้เกิดจากสารสำคัญในน้ำมันพลูที่ไม่สามารถเข้ากันกับ Tween 80 ซึ่งเดิมลงในอาหารเลี้ยงเชื้อทำให้ไม่สามารถออกฤทธิ์ได้เนื่องจากส่วนประกอบหลักของน้ำมันพลูคือ eugenol ซึ่งเป็น phenolic compound ซึ่งเป็นสารประกอบที่จับกับ polyoxyethylene group เป็นสารประกอบเชิงช้อนที่ไม่สามารถออกฤทธิ์ได้ จากการศึกษาฤทธิ์ของน้ำมันหอมระเหยพบว่าฤทธิ์ในการฆ่าเชื้อของน้ำมันมะนาวต่อเชื้อที่ความเข้มข้น 1.25 $\mu\text{l/ml}$ สามารถลดจำนวนเชื้อ *Ps. aeruginosa* ลงได้มากกว่า 90% เมื่อเทียบกับน้ำมันพลูที่ความเข้มข้น 1.25 $\mu\text{l/ml}$ แต่เมื่อเพิ่มน้ำมันมะนาวต่อเชื้อที่ความเข้มข้น 2.5 $\mu\text{l/ml}$ จำนวนเชื้อ *Ps. aeruginosa* ลดลงเพียง 50% แสดงว่าการฆ่าเชื้อของน้ำมันมะนาวต่อเชื้อที่ความเข้มข้น 2.5 $\mu\text{l/ml}$ ไม่สามารถลดจำนวนเชื้อ *Ps. aeruginosa* ลงได้มากเท่าที่ควร

การศึกษาของ Hammer et al. (1999) ที่พบว่าน้ำมันตะไคร้ແแกงสามารถฆ่าเชื้อ *S. aureus*, *E. coli*, *Ps. aeruginosa* ได้ดีที่สุด นอกจากนี้ยังสามารถฆ่าเชื้อ *Acinetobacter baumanii*, *Aeromonas sobria*, *Candida albicans*, *Enterococcus faecalis*, *Klebsiella pneumoniae*, *Salmonella typhimurium*, *seratia marcescens* อีกด้วย ดังนั้นจึงเลือกน้ำมันตะไคร้ແแกงเพื่อทำการพัฒนาเป็นน้ำยาจุ่นหัวนมแม่วัวต่อไป สารประกอบหลักในน้ำมันตะไคร้ແแกงที่นำมาศึกษาคือ α -citral (geranal) 40.56% β - citral (neral) 33.71% myrcene 10.27% Inouye et al. (2001) พบว่า citral สามารถฆ่าเชื้อ *S. aureus*, *E. coli*, *H. influenzae*, *S. pyogenes*, *S. pneumoniae* นอกจากนี้ Dorman and Dean (2000) กลับพบว่า ทั้ง α -และ β -citral สามารถฆ่าเชื้อ ได้ถึง 24 ชนิด

เมื่อทดสอบประสิทธิภาพขององค์ประกอบในน้ำมันตะไคร้ແแกงต่อการฆ่าเชื้อแบคทีเรีย พบว่า citral เป็นสารที่สามารถฆ่าเชื้อ *S. aureus* *Strep. agalactiae* *B. cereus* และ *E. coli* ได้ดีที่สุด เมื่อเทียบ กับองค์ประกอบอื่น รองลงมาได้แก่ geraniol และ linalool ตามลำดับ ในขณะที่เชื้อ *Ps. aeruginosa* จะทนต่อ สารที่นำมาทดสอบทุกชนิด (ตารางที่ 15) และ จากรายงานที่ 16 เมื่อพิจารณาค่า MIC และ MBC ของ องค์ประกอบพบว่า citral ออกฤทธิ์ยับยั้งและฆ่าเชื้อ *S. aureus* และ *S. agalactiae* ได้เทียบเท่ากับ geraniol และ nerol และ citral มีประสิทธิภาพดีที่สุดต่อเชื้อ *B. cereus* ส่วนเชื้อ *E. coli* พบว่า geraniol ออกฤทธิ์ต้านเชื้อได้ดีที่สุด อย่างไรก็ตามเมื่อพิจารณาจากองค์ประกอบหลักของน้ำมันตะไคร้ແแกงพบ β -linalool 9.82% 2-decyne-1-ol 1.47%, citronellal 2.17%, β -citral 31.95%, cis-geraniol 4.37% , α -citral 43.25%, geranyl acetate 1.23% โดยสารที่มีปริมาณมากที่สุดคือ citral รองลงมาคือ linalool และ geraniol ตามลำดับ ดังนั้น ประสิทธิภาพในการฆ่าเชื้อของน้ำมันตะไคร้ແแกงน่าจะเป็นผลจาก citral เป็นหลัก Duarte et al (2007) ที่พบว่าเชื้อ *E. coli* ETEC 5041-1 และ *E. coli* EPEC 0031-2 จะไวต่อ geraniol มากที่สุดโดยมีค่า MIC เท่ากับ 20 และ 8 $\mu\text{g}/\text{ml}$ ตามลำดับ และไวต่อ geranyl acetate เพียงเล็กน้อยคือมีค่า MIC เท่ากับ 500 และ 400 $\mu\text{g}/\text{ml}$ ตามลำดับซึ่งสอดคล้องกับผลของ geraniol ต่อ *E. coli* ในการศึกษานี้ อย่างไรก็ตาม Dorman and Dean (2000) พบว่า inhibition zone ของ citral ต่อเชื้อ *S. aureus* > *E. coli* > *Ps. aeruginosa* ขณะที่ inhibition zone ของ geraniol ต่อเชื้อ *S. aureus* > *Ps. aeruginosa* > *E. coli* ตามลำดับ ขณะที่การศึกษานี้พบว่าน้ำมันตะไคร้ແแกงและ citral ไม่สามารถฆ่าเชื้อ *Ps. aeruginosa* ได้

7.4 การทดสอบฤทธิ์ต้านอนุมูลอิสระ โดยวิธี DPPH test

ตารางที่ 17 ฤทธิ์ต้านอนุมูลอิสระของน้ำมันหอมระ夷ห้าง 8 ชนิด โดยวิธี DPPH test

ตัวอย่าง	$\text{IC}_{50}(\text{mg}/\text{ml})$
กระเพรา	0.30±0.06
ໂທະພາ	1.87±0.31
ตะไคร้หอม	0.43±0.10
ตะไคร้ແแกง	3.33±1.46
พู	0.04±0.02
ໄປລ	2.31±0.97
ขมิ้นชัน	4.70±0.65
มะกรูด	14.01±4.27
Vit E acetate	10.83±1.61
Ascorbic acid ($\mu\text{g}/\text{ml}$)	0.27± 0.16
Butylated Hydroxy Toluene (BHT) ($\mu\text{g}/\text{ml}$)	1.16±0.06

การศึกษาที่ด้านอนุมูลอิสระ อาศัยหลักการคือสารที่มีคุณสมบัติเป็นสารด้านอนุมูลอิสระจะให้ hydrogen ที่สามารถจับกับอนุมูลอิสระของ DPPH ส่งผลให้ปริมาณ DPPH ลดลง จากค่าความเข้มข้นที่สามารถยับยั้งอนุมูลอิสระของ DPPH ได้ 50% (IC₅₀) (ตารางที่ 17) พบว่าน้ำมันหอมระ夷ที่มีฤทธิ์ด้านอนุมูลอิสระจากมากที่สุดไปน้อยที่สุดตามลำดับดังนี้ พลู (0.04 ± 0.02), กระเพรา (0.30 ± 0.06), ตะไคร้หอม (0.43 ± 0.10), โหรพา (1.87 ± 0.31), ไฟล (2.31 ± 0.97), ตะไคร้แกง (3.33 ± 1.46), ขมิ้นชัน (4.70 ± 0.65), มะกรุด (14.01 ± 4.27) เมื่อเปรียบเทียบกับสารมาตรฐาน ascorbic acid (0.27± 0.16 µg/m) , BHT (1.16 ± 0.06 µg/m) และ vitamin E acetate (10.83 ± 1.61mg/ml) พบว่าน้ำมันหอมระ夷ทุกชนิด ยกเว้นน้ำมันหอมระ夷จากผลมะกรุด มีฤทธิ์ด้านอนุมูลอิสระมากกว่า vitamin E acetate แต่น้อยกว่า ascorbic acid และ BHT เมื่อพิจารณาองค์ประกอบหลักที่ตรวจพบในน้ำมันหอมระ夷พบว่า ส่วนใหญ่แล้วประกอบไปด้วย alcoholic, aldehydic, phenolic compounds สารประกอบเหล่านี้มีคุณสมบัติในการให้ hydrogen แก่อนุมูลอิสระ ส่งผลให้สามารถหยุดปฏิกิริยาห่วงลูกโซ่ในการเกิดออกซิเดชันของไขมันในขั้นตอนแรก (King 1984; Roberts and Caserio, 1965; Shahidi and Wanasundara, 1992)

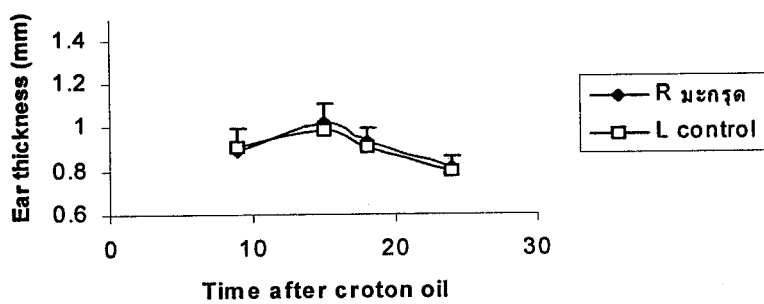
7.6 การทดสอบฤทธิ์ด้านการอักเสบของน้ำมันหอมระ夷

7.6.1 ผลของน้ำมันหอมระ夷 100% ในการลดบวมหูหนูขาว

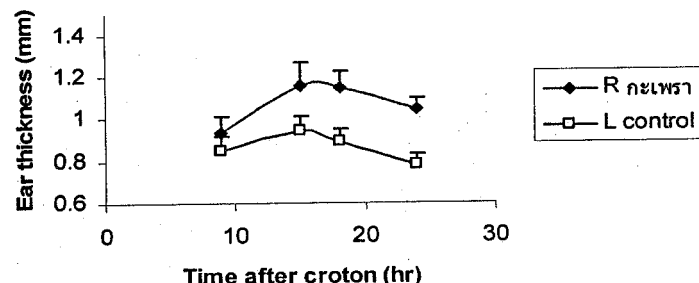
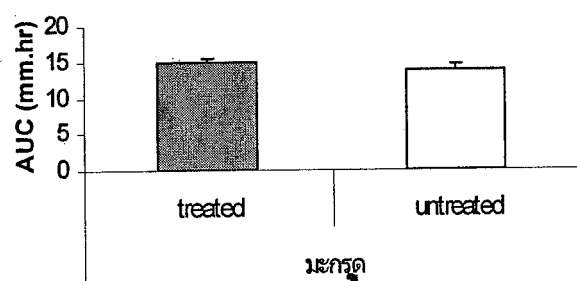
จากรูปที่ 9 เป็นการเปรียบเทียบหูขาวที่ทาน้ำมันหอมระ夷และข้างซ้ายที่ไม่ได้ทา ที่เวลา 9 ชั่วโมงหลังได้รับน้ำมันโครตอน หูหนูขาวจะเริ่มบวมขึ้นจากค่าปกติ 0.6 มิลลิเมตร มาเป็นระดับ 0.8-0.9 มิลลิเมตร การให้น้ำมันหอมระ夷ที่หูขาวหากก่อการบวมแดงและหูบวมมากกว่าข้างซ้าย เช่น หูหนูที่ทา น้ำมันมะกรุด โหรพา ตะไคร้แกง พลู ขมิ้นชัน กระเพรา การบวมของหูเกิดเต็มที่ในระดับ 1-1.2 มิลลิเมตร ที่ 15-18 ชั่วโมงหลังได้รับ น้ำมันโครตอน กระเพราและขมิ้นชัน เทียนผลเสริมบวมเด่นจากการทาเพียงครั้งเดียว โดยเฉพาะอย่างยิ่งกระเพรา ก่อความแตกต่างที่มีนัยสำคัญทางสถิติ ($p<0.05$) เมื่อนำไปคำนวณหาพื้นที่ภายใต้กราฟ ค่าบวมปกติจากเวลา 9-24 ชั่วโมง มีค่า 15 ± 1.26 (SE) มม.ชั่วโมง กระเพรา ก่อการระคายเคืองทำให้ได้พื้นที่ภายใต้กราฟ 16.37 ± 1.09 มม.ชั่วโมง

หากใช้ระดับความบวมสูงสุด 1 มม และค่าพื้นที่ภายใต้กราฟ 15 มม.ชั่วโมง เป็นเกณฑ์การบวมปกติ ซึ่งพบในกลุ่ม control จะเห็นว่ากลุ่มที่ได้รับ ไฟล และกลุ่มที่ได้รับ Kenalog (triamcinolone acetonide, สารสเตียรอยด์มาตรฐานลดบวม) ระดับการบวมอยู่ที่ 0.91 ± 0.07 และ 13 ± 0.9 มม.ชั่วโมง ซึ่งบวมน้อยกว่ากลุ่มควบคุม แต่เมื่อเปรียบเทียบหูซ้าย-ขวาภายในหนูตัวเดียวกัน ถ้าเอาหูด้านที่ไม่ทายาเป็นหูควบคุมพบว่า หูขาวและซ้ายแตกต่างกันอย่างไม่มีนัยสำคัญ

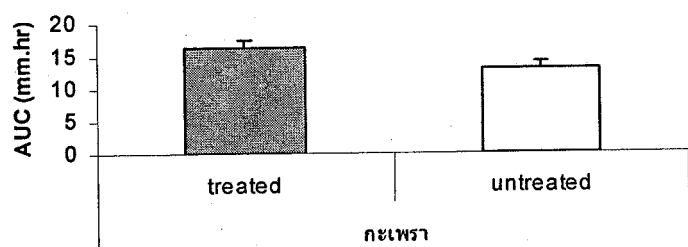
การเปรียบเทียบระหว่างกลุ่ม (รูปที่ 9) ค่าพื้นที่ภายใต้กราฟของ kenalog (13.05 ± 0.98) และ ไฟล (12.62 ± 0.66) มีค่าต่างกับกลุ่ม control (15.29 ± 1.26) มากที่สุด แต่ไม่มีนัยสำคัญทางสถิติ เมื่อทำข้อมูลของแต่ละชุดให้เป็น %control edema และนำมาคำนวณหาพื้นที่ AUC%control edema ได้ผลเช่นเดียวกัน หูซ้ายที่ทายา ไฟล ($1274+79 \%control.hr$) และ kenalog ($1298+77 \%control.hr$) มีแนวโน้มก่อการลดบวม ส่วนหูซ้ายซ้ายที่ไม่ได้ทาสารทดสอบนั้นมีได้ความหนาเสมอ กันระหว่างกลุ่ม

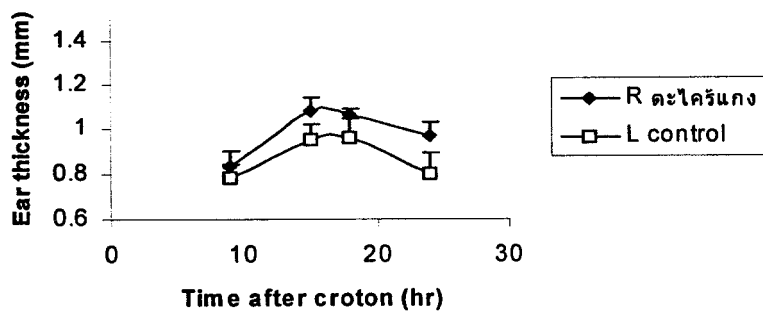


Area under the ear edema curve

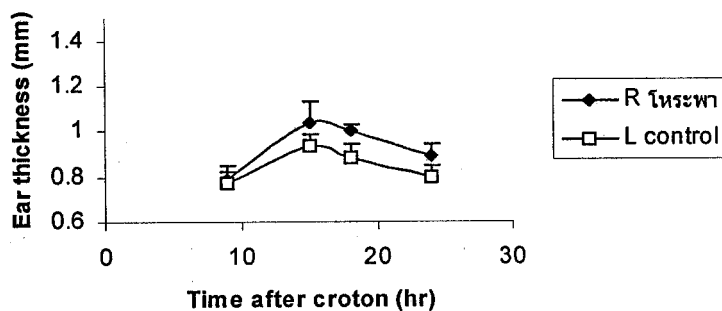
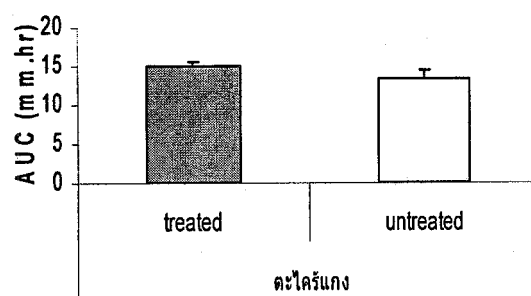


Area under the ear edema curve

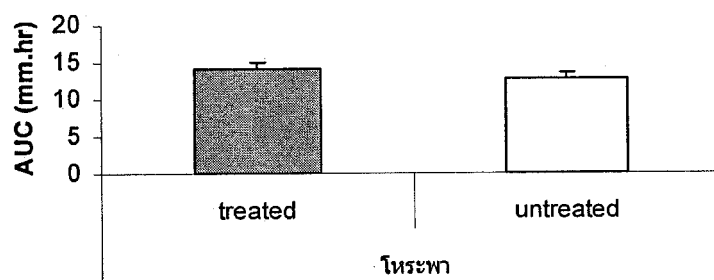


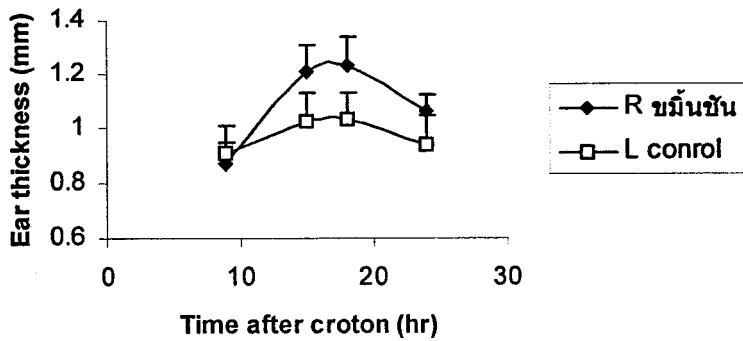


Area under the ear edema curve

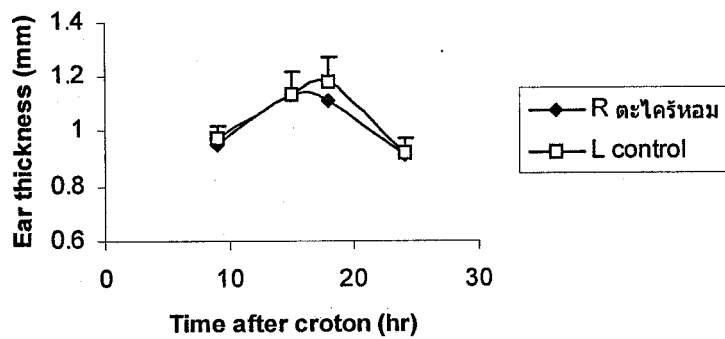
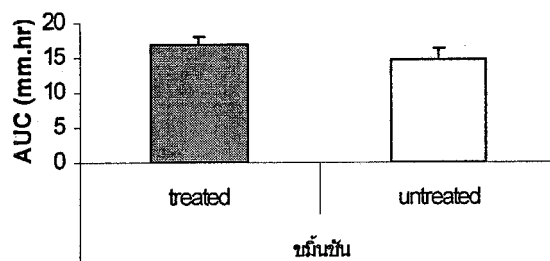


Area under the ear edema curve

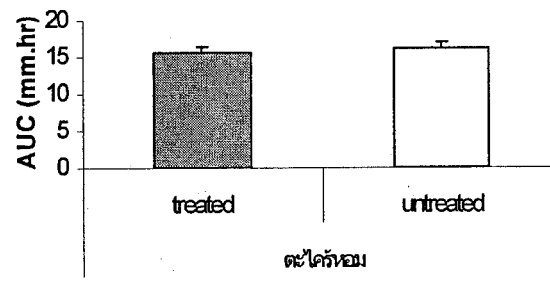


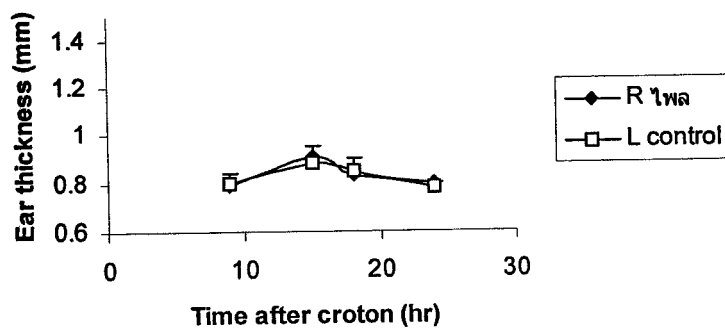


area under the ear edema curve

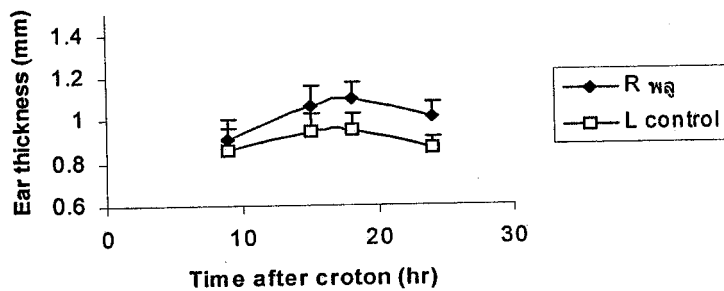
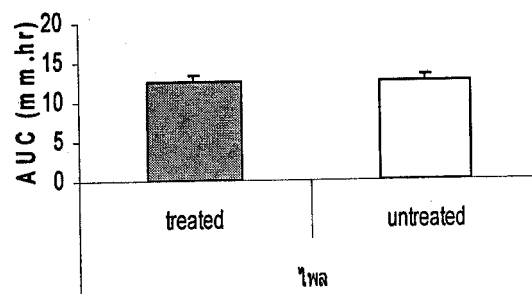


Area under the ear edema curve

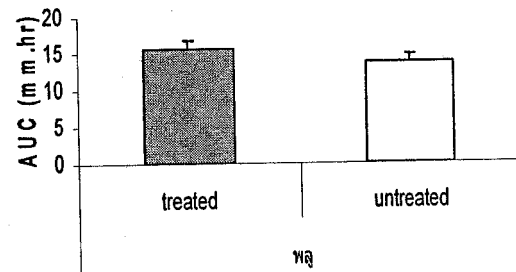


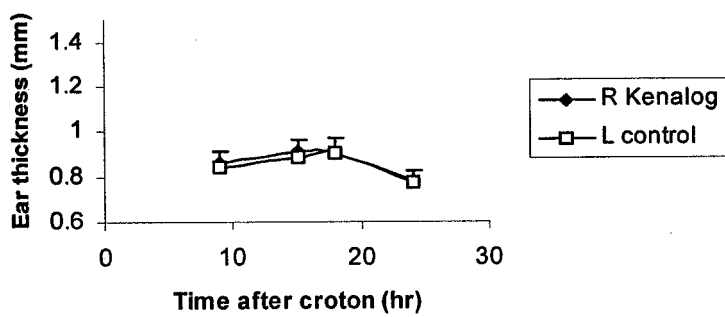


Area under the ear edema curve

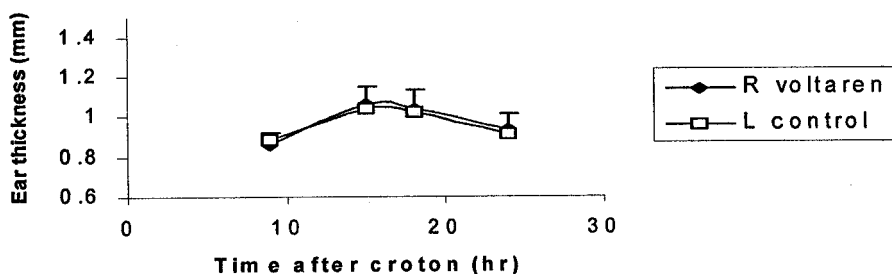
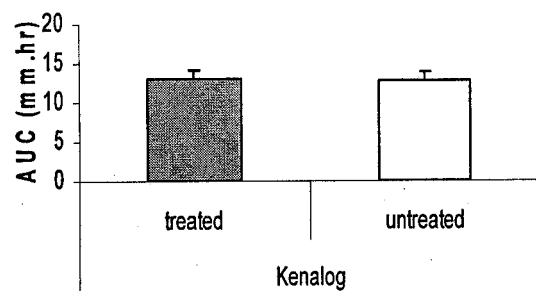


Area under the ear edema curve

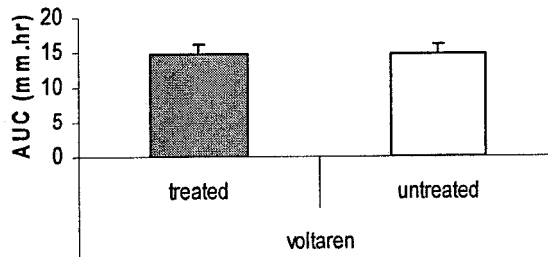


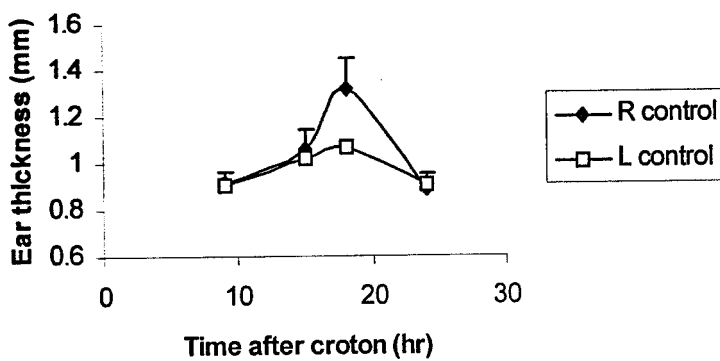


Area under the ear edema curve

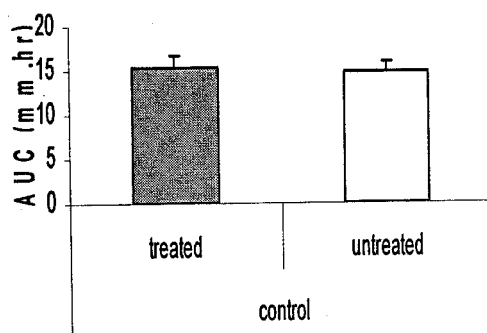


Area under the ear edema curve

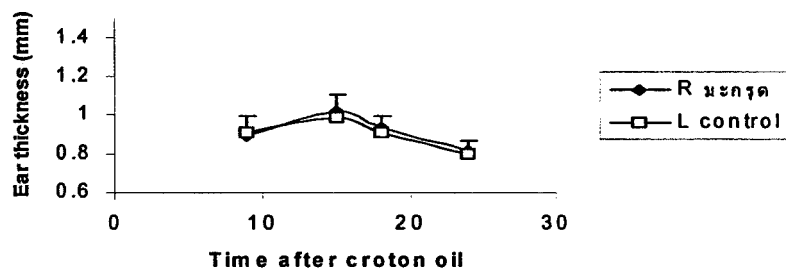




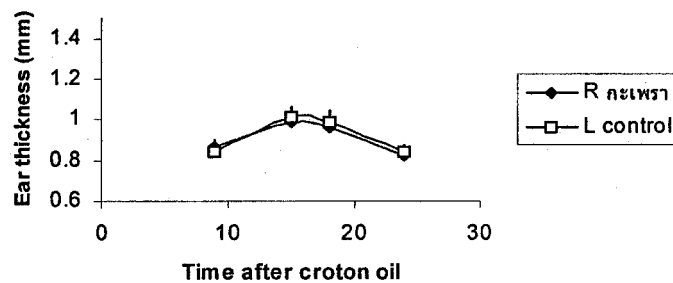
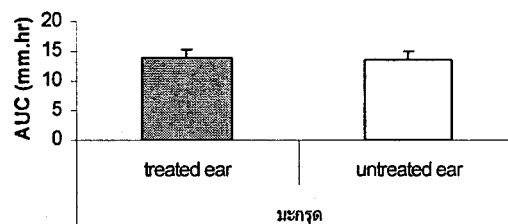
Area under the ear edema curve



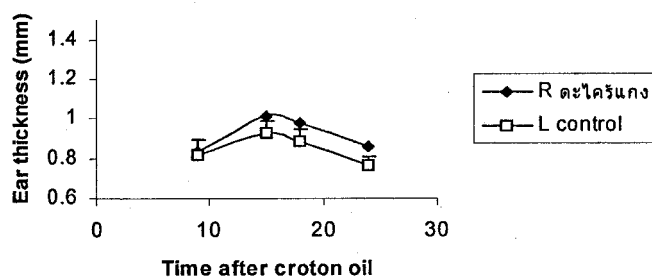
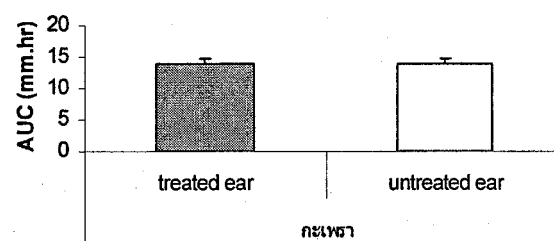
รูปที่ 9 ผลของน้ำมันหอมระเหย 100 % ทั้ง 8 ชนิด ต่อการบวมหูด้วยน้ำมันโครตอน ความหนาหู (ear thickness, mm) ข้างขวา (R) และข้างซ้าย (L) ที่บวมด้วยน้ำมัน โครตอน โดยข้างขวาท่าน้ำมันหอมระเหยที่ 9 ชั่วโมง หลังสัมผัสน้ำมันโครตอน ติดตามการบวมที่ 15,18, 24 ชั่วโมง และคำนวณพื้นที่ภายใต้กราฟ (area under the ear edema curve, mm.hr) เปรียบเทียบหูขวาและซ้ายของหนู ค่าที่แสดงเป็นค่าเฉลี่ยของหนู 6 ตัว +SE



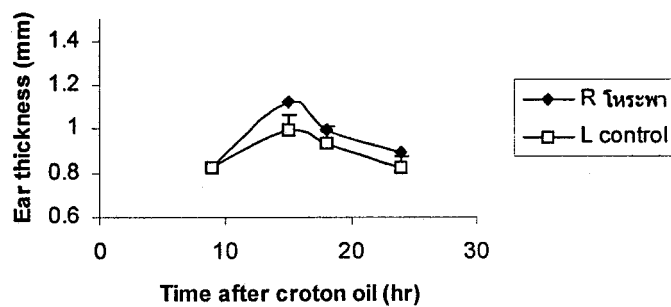
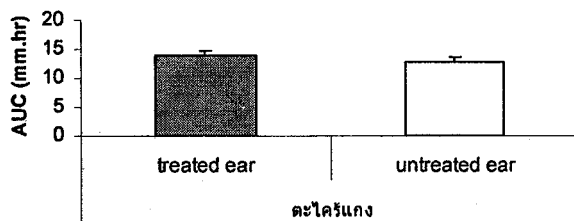
Area under the ear edema curve



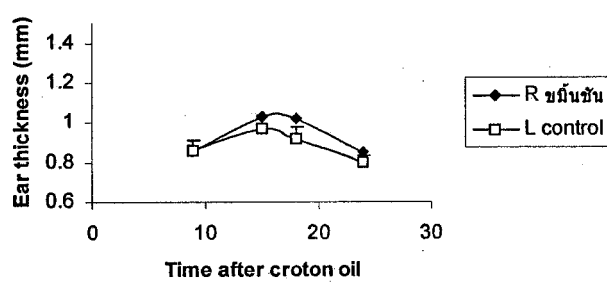
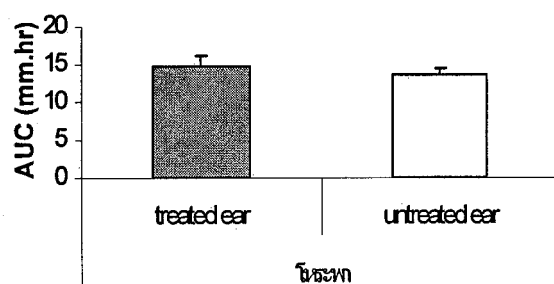
Area under the ear edema curve



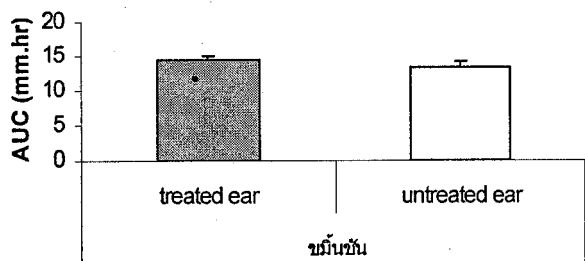
Area under the ear edema curve

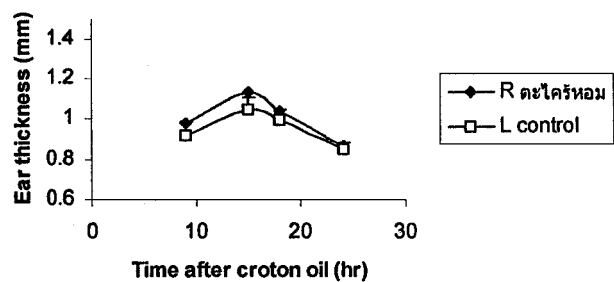


Area under the ear edema curve

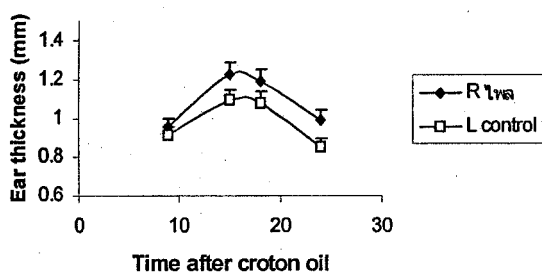
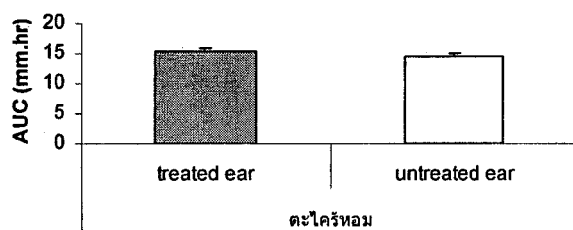


Area under the ear edema curve

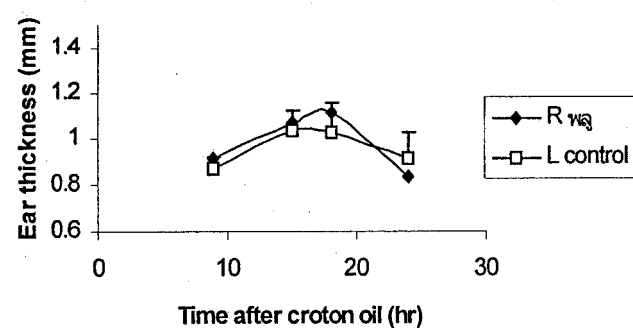
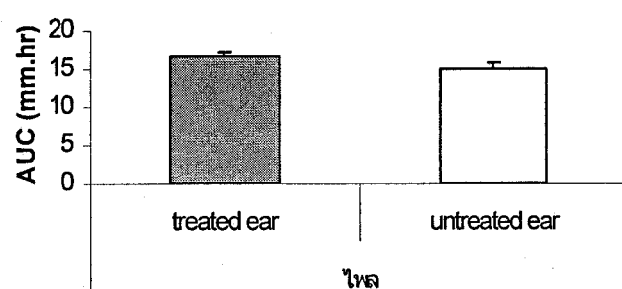




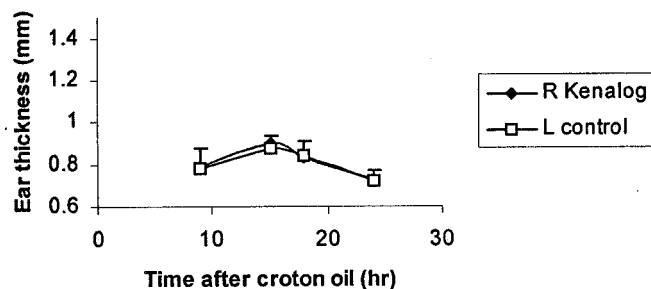
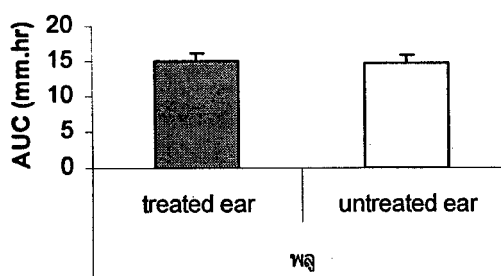
Area under the ear edema curve



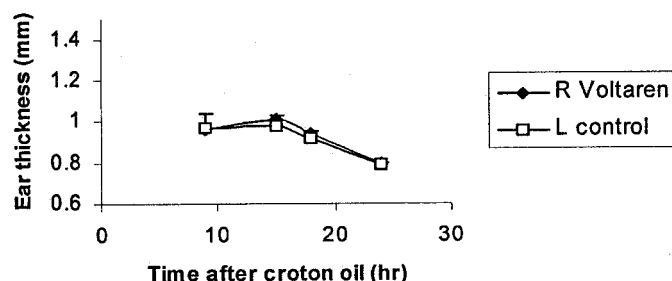
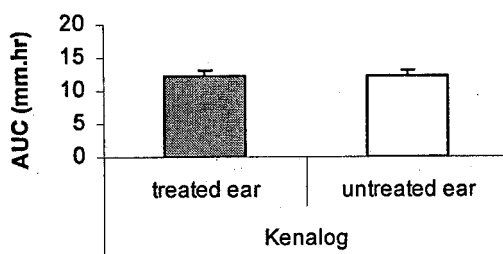
Area under the ear edema curve



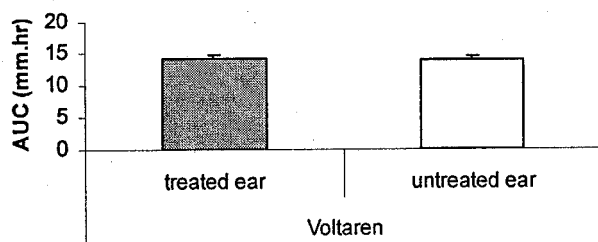
Area under the ear edema curve

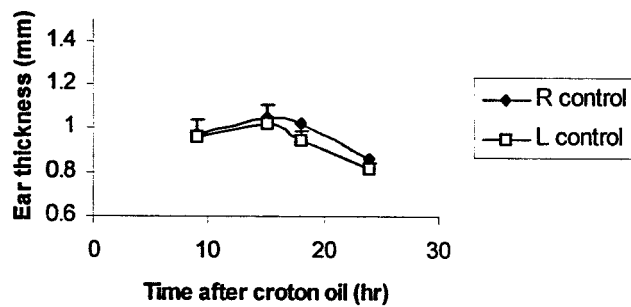


Area under the ear edema curve

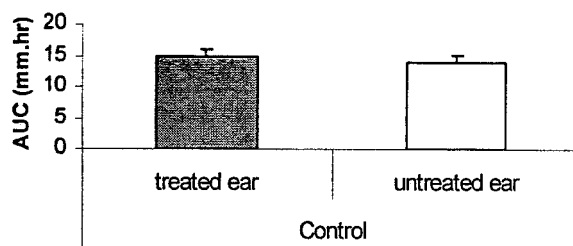


Area under the ear edema curve





Area under the ear edema curve

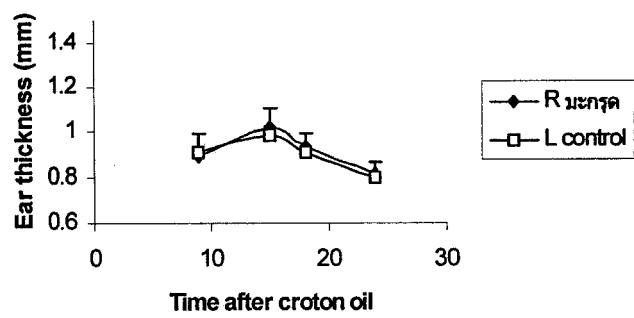


รูปที่ 10 ผลของน้ำมันหอมระเหย 25% ทั้ง 8 ชนิด ต่อการบวมหูหนูด้วยน้ำมันโครตอน ความหนาหู (ear thickness, mm) ข้างขวา (R) และข้างซ้าย (L) ที่บวมด้วยน้ำมันโครตอน โดยข้างขวาท่าน้ำมันหอมระเหยที่ 9 ชั่วโมง หลังสัมผัสน้ำมันโครตอน ติดตามการบวมที่ 15,18, 24 ชั่วโมง และคำนวณพื้นที่ภายใต้กราฟ (area under the ear edema curve, mm.hr) เปรียบเทียบหูขวาและข้างของหนู ค่าที่แสดงเป็นค่าเฉลี่ยของหนูขา 6 ตัว +SE

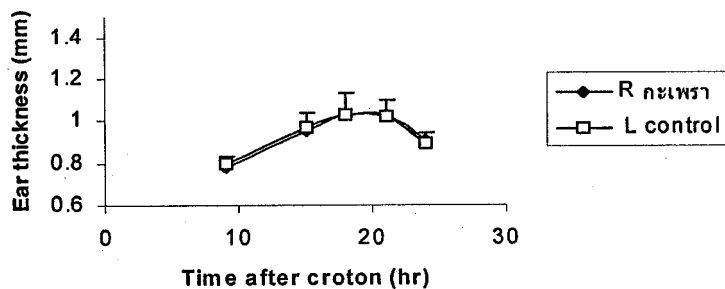
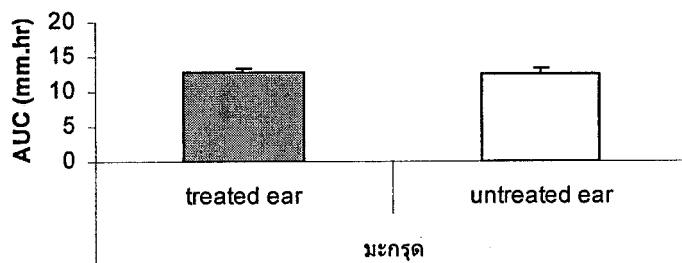
7.6.2 ผลของน้ำมันหอมระเหย 25% ในการลดบวมหูหนูขวา

เปรียบเทียบหูข้างขวาที่ทาน้ำมันหอมระเหยและข้างซ้ายที่ไม่ได้ทา (รูปที่ 10) ที่เวลา 9 ชั่วโมงหลังได้รับน้ำมันโครตอน หูหนูขวาจะเริ่มบวมขึ้นจากค่าปกติ 0.6 มิลลิเมตร มาเป็นระดับ 0.8-0.9 มิลลิเมตร การให้น้ำมันหอมระเหยที่หูข้างขวาที่ทำการบวมมากกว่าข้างซ้ายเล็กน้อยหรือเกือบไม่แตกต่าง การบวมของหูเกิดเต็มที่ในระดับ 1-1.2 มิลลิเมตร ที่ 15-18 ชั่วโมงหลังได้รับน้ำมันโครตอน พื้นที่ภายใต้กราฟการบวมกลุ่ม control จากเวลา 9-24 ชั่วโมง มีค่า 14.78 ± 1.26 (SE) มม.ชั่วโมง หากใช้ระดับความบวมสูงสุด 1 มม และค่าพื้นที่ภายใต้กราฟ 15 มม.ชั่วโมง เป็นเกณฑ์การบวมปกติ ซึ่งพบในกลุ่ม control จะเห็นว่ากลุ่มที่ได้รับ Kenalog (triamcinolone acetonide,สารสเตียรอยด์มาตราฐานลดบวม) มีค่าการบวมที่ต่ำกว่ามาตรฐาน และการบวมที่หูขวาและซ้ายไม่แตกต่างกัน ระดับการบวมอยู่ที่ 0.9 ± 0.08 และ 12.34 ± 0.69 มม.ชั่วโมง ตามลำดับ

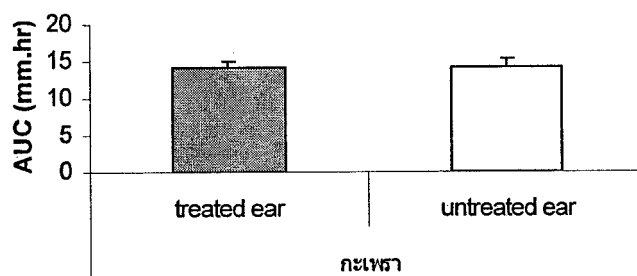
การเปรียบเทียบระหว่างกลุ่ม (รูปที่ 10) ค่าพื้นที่ภายใต้กราฟ ของ Kenalog (12.34 ± 0.69) มีค่าต่ำกว่ากลุ่ม control (14.78 ± 1.26) มากที่สุด แต่ไม่มีนัยสำคัญทางสถิติ เมื่อทำข้อมูลของแต่ละชุดให้เป็น %control edema และนำมาคำนวณหาพื้นที่ AUC% control edema ได้ผลเช่นเดียวกัน หูข้างที่ทา Kenalog (1288 ± 104 % control.hr) มีแนวโน้มลดบวม ส่วนหูข้างซ้ายที่ไม่ได้ทาสารทดสอบนั้นมีได้มีความหนาเสมอ กันระหว่างกลุ่ม

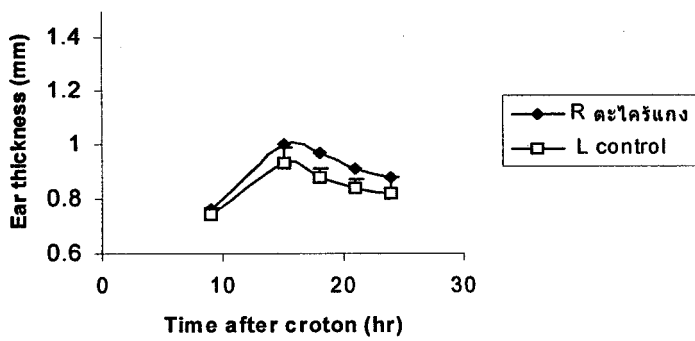


Area under the ear edema curve

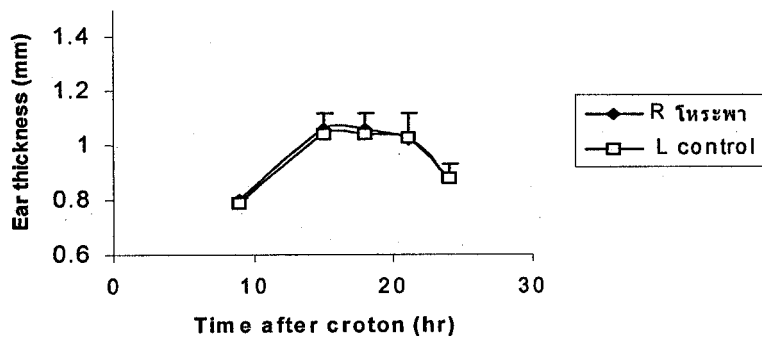
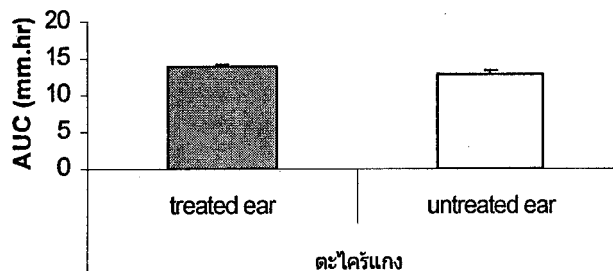


Area under the ear edema curve

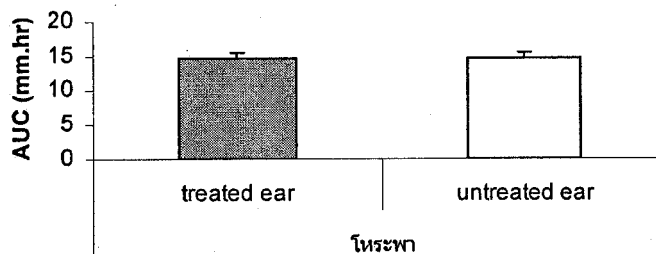


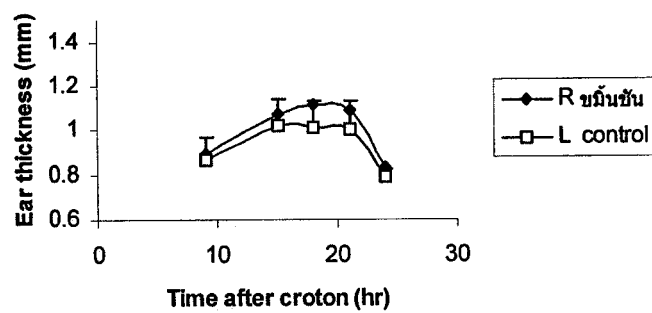


Area under the ear edema curve

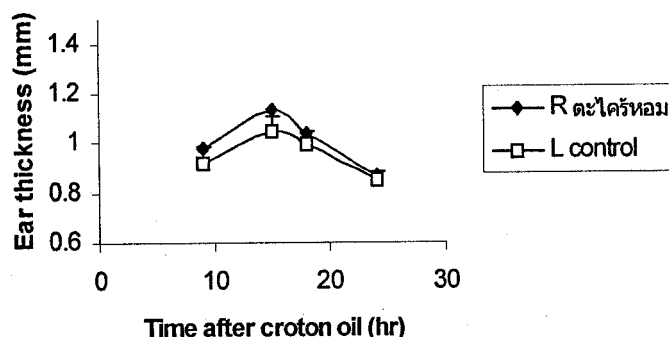
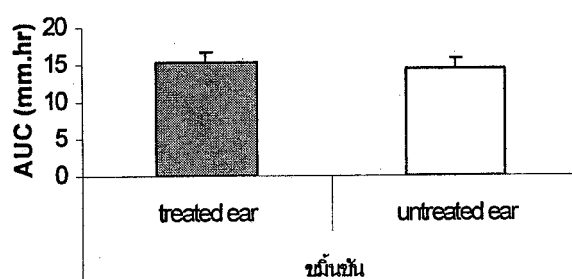


Area under the ear edema curve

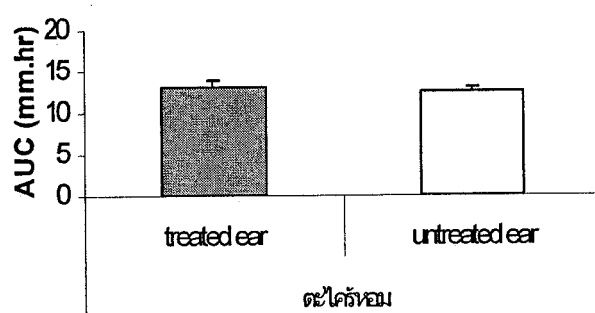


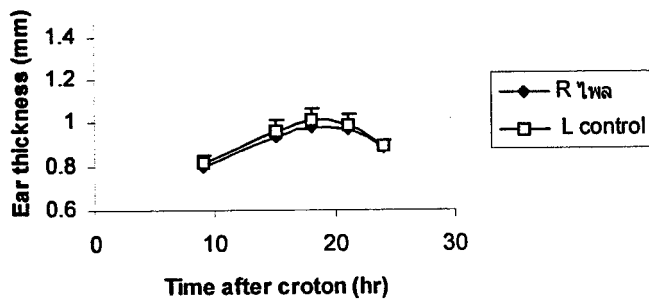


Area under the ear edema curve

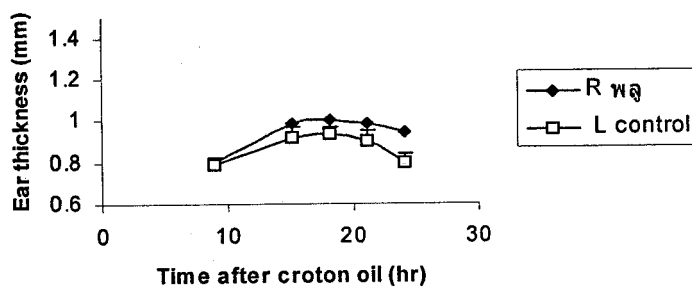
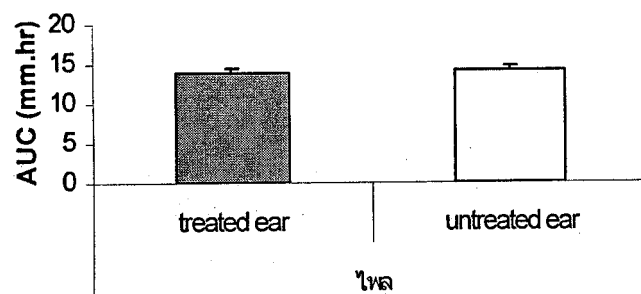


Area under the ear edema curve

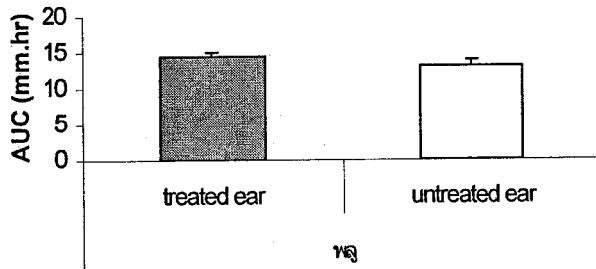


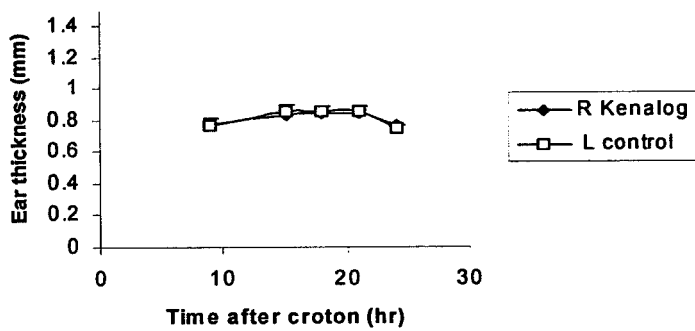


Area under the ear edema curve

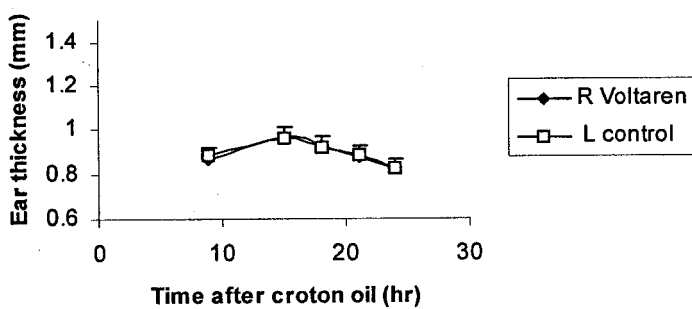
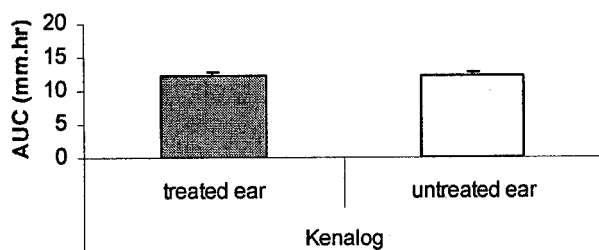


Area under the ear edema curve

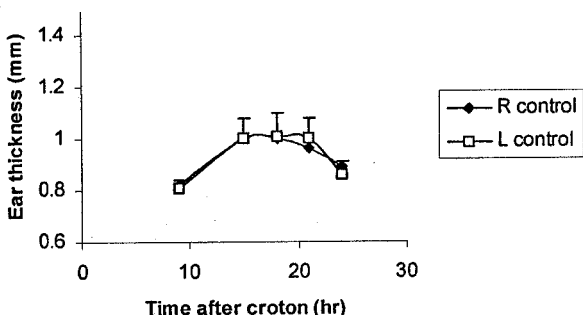
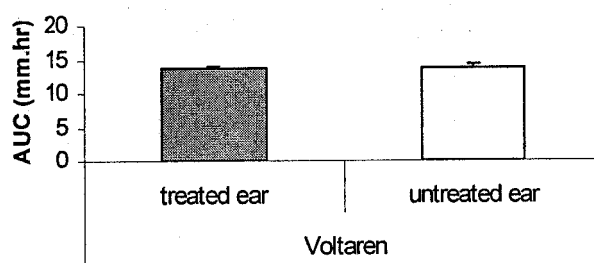




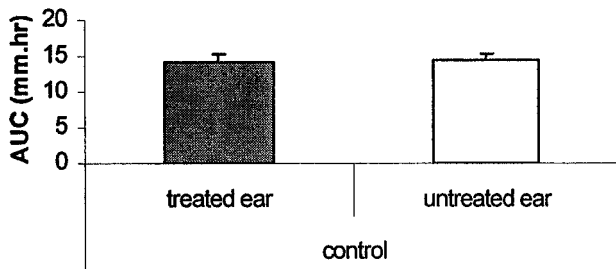
Area under the ear edema curve



Area under the ear edema curve



Area under the ear edema curve



รูปที่ 11 ผลของน้ำมันหอมระ夷 12.5% ทั้ง 8 ชนิด ต่อการบวมหูหนูด้วยน้ำมันโครตตอน ความหนาหู (ear thickness,mm) ข้างขวา (R) และข้ามซ้าย (L) ที่บวมด้วยน้ำมันโครตตอน โดยข้างขวาทาน้ำมันหอมระ夷ที่ 9 ชั่วโมง หลังสัมผัสน้ำมันโครตตอน ติดตามการบวมที่ 15,18, 24 ชั่วโมง และคำนวนพื้นที่ภายใต้กราฟ (area under the ear edema curve,mm.hr) เปรียบเทียบหูข้างและข้ามของหู ค่าที่แสดงเป็นค่าเฉลี่ยของหูข้าง 6 ตัว +SE

7.6.3 ผลของน้ำมันหอมระ夷 12.5% ในการลดบวมหูหนูขาว

เปรียบเทียบหูข้างขวาที่ทาน้ำมันหอมระ夷และข้างซ้ายที่ไม่ได้ทาน (รูปที่ 11) ที่เวลา 9 ชั่วโมงหลังได้รับน้ำมันโครตตอน หูหนูขาวจะเริ่มบวมขึ้นจากค่าปกติ 0.6 มิลลิเมตร มาเป็นระดับ 0.8-0.9 มิลลิเมตร การให้น้ำมันหอมระ夷ที่หูข้างขวา ก่อการบวมแดงและบุบวมมากกว่าข้างซ้าย เช่น ตะไคร้แกง พลู ขมิ้นชัน ตะไคร้หอม การบวมของหูเกิดเต็มที่ในระดับ 1-1.2 มิลลิเมตร ที่ 15-18 ชั่วโมงหลังได้รับน้ำมันโครตตอน พื้นที่ภายใต้กราฟ ค่าบวมกลุ่ม control จากเวลา 9-24 ชั่วโมง มีค่า 14.2 ± 1.14 (SE) มม.ชั่วโมง

กลุ่มที่ได้รับ Kenalog (triamcinolone acetonide,สารสเตียรอยด์มาตราฐานลดบวม) มีค่าการบวมที่ต่ำกว่ามาตรฐานและขาดความแตกต่างของการบวมที่หูขาวและซ้าย ระดับการบวมอยู่ที่ 0.84 ± 0.03 มม, 12.3 ± 0.4 มม.ชั่วโมง มีค่าต่ำกว่ากลุ่ม control (14.2 ± 1.14)

การเปรียบเทียบระหว่างกลุ่ม ค่าพื้นที่ภายใต้กราฟ ของ Kenalog (12.3 ± 0.4) มีค่าต่ำกว่ากลุ่ม control (14.2 ± 1.14) มากที่สุด เมื่อคำนวณผลของแต่ละชุดให้เป็น %control edema และนำมาคำนวณหาพื้นที่ AUC% control edema ได้ผลเช่นเดียวกัน หูข้างที่ทาน Kenalog (1373 ± 112 %control.hr) มีการบวนน้อยที่สุด ส่วนหูข้างซ้ายที่ไม่ได้ทานสารทดสอบนั้นมีความหนาเสมอ กันระหว่างกลุ่ม

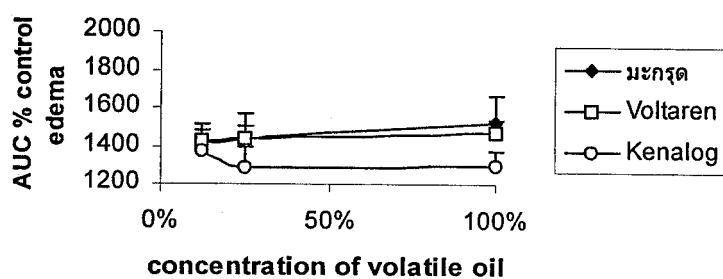
จากสามการทดลอง รูปที่ 12 จะเห็นว่า Voltaren ให้ผลระดับกลุ่ม control หรือไม่แสดงผลลดบวมส่วน Kenalog มีผลลดในห้องสามการทดลอง จึงใช้ระดับของยาห้องสองเป็นมาตรฐานในการวิเคราะห์ผลของน้ำมันหอมระ夷ทั้ง 8 ชนิด แม้ฤทธิ์ลดบวมจะไม่แตกต่างจากกลุ่ม control อย่างมีนัยสำคัญทางสถิติ แต่ความสม่ำเสมอของผลในสามการทดลองที่แสดงว่ากลุ่ม Kenalog บวนน้อยกว่ากลุ่มอื่น นำไปใช้เป็นเกณฑ์พิจารณาความเป็นไปได้ของน้ำมันหอมระ夷ที่ทดสอบว่าเสริมหรือลดอักเสบลดบวมได้

พื้นที่ภายใต้กราฟ [AUC %control edema] ที่ความเข้มข้นทั้งสามของน้ำมันหอมระ夷 รูปที่ 12. dose response curve หากตอกยุ่งระหว่าง Voltaren และ Kenalog และแสดงความสัมพันธ์กับขนาดที่ใช้ (concentration dependent) จะถือว่ามีฤทธิ์ลดบวม และหากสูงกว่า Voltaren แสดงว่าเสริมการบวน ผลในรูปที่ 12 ชี้ว่าน้ำมันหอมระ夷ทั้ง 8 ชนิดไม่มีฤทธิ์ลดการบวนจากการทบทวนเพียงครั้งเดียว ขมิ้นชัน ตะไคร้หอม และพลูเสริมการบวน ส่วนไฟลที่ความเข้มข้น 100% แม้จะลดการบวนได้ในระดับ Kenalog แต่ขาดคุณสมบัติ dose dependent จึงทำให้มีข้อมูลนักแน่นที่บ่งชี้

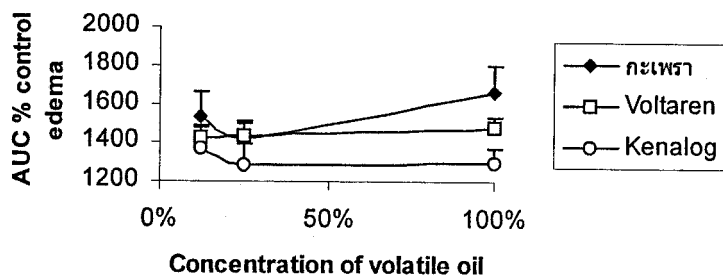
ผลของ Kenalog ในการทดลองนี้ไม่ชัดเจนเท่ากับที่มีในรายงาน ของ มุกดา จิตต์เจริญธรรม 2546, ณัฐรีย์ พงศ์พาสุก 2546 เห็นผลลดบวมได้มากถึง 30-50% เป็นการทายาครึ่งเดียว ก่อนหนีนานาให้บวม ส่วนการทดลองนี้ท้า Kenalog ครึ่งเดียวภายในหลังการบวมเกิดขึ้นแล้ว 9 ชั่วโมง ผลลดบวมเกิดขึ้นอย่าง 10% (จาก 1 มม มาเป็น 0.9 มม) ดังนั้นจึงใช้ dose response curve เป็นเกณฑ์การเปรียบเทียบแทนการเปรียบเทียบ ความแตกต่างของ mean ทางสถิติ

น้ำมันโครตตอนเป็นสารกระตุ้นการอักเสบโดยการเพิ่มสิทธิภาพของ PLA 2 ส่งผลให้เซลล์ arachidonic acid ซึ่งเป็นสารตั้งต้นของการสร้าง leukotriene และ prostaglandins โดยผ่าน lipoxygenase pathway ส่วน metabolites ของ arachidonic acid จะก่อให้เกิดการอักเสบผ่าน cyclooxygenase (COX) และ lipoxygenase (LOX) pathways (Paula et al., 2003) จากรายงานของ Lertstittthanakorn et al. (2006) พบว่า น้ำมันหอมระเหยที่ออกฤทธิ์โดยการยับยั้ง 5-lipoxygenase ตามลำดับความแรงจากมากไปน้อย ได้แก่ กระเพรา มะกรูด ตะไคร้หอม ส่วน ໂຮຣພາ ໄພລ ชິງ ແມ່ວະຈີຖົກ ຍັນຍັງ 5-LOX แต่ในความเข้มข้นที่สูง กว่ามาก อย่างไรก็ตาม Jenapongsa et al. (2003) พบว่า Dimethoxyphenyl butadiene (DMPBD) ที่สกัดได้จากน้ำมันໄพลสามารถยับยั้งการอักเสบของหูหนูที่กระตุ้นด้วย TPA ได้มากกว่า oxyphenyl butazone และ Diclofenac โดยมีกลไกการยับยั้งทั้ง LOX และ COX การศึกษานี้ตรวจสอบ DMPBD ในน้ำมันໄพล 9.67% ส่วนของของการยับยั้งการอักเสบของน้ำมันมะกรูด สอดคล้องกับการศึกษาของ Penna et al. (2002) ซึ่งพบว่า Linalool และ linalyl acetate ในน้ำมันหอมระเหยสามารถยับยั้งการบวมของอุ้งเท้าหนูที่เหนี่ยวนำการบวมโดย caragenin โดย Linalool จะยับยั้งได้มากกว่า เมื่อพิจารณาองค์ประกอบของน้ำมัน มะกรูดพบว่ามี linalool 1.62% และ linalyl propionate 10.75% ทั้งนี้การยับยั้งการอักเสบยังอาจเกี่ยวข้อง กับความสามารถในการต้านการเกิดอนุมูลอิสระที่เกิดขึ้นมากเกินปกติภายในเซลล์ทำให้ macromolecules และกระบวนการ lipid peroxidation ที่ผนังเซลล์ถูกทำลาย ส่งผลให้เซลล์เกิดการบาดเจ็บได้ (Perez-Garcia et al., 1996)

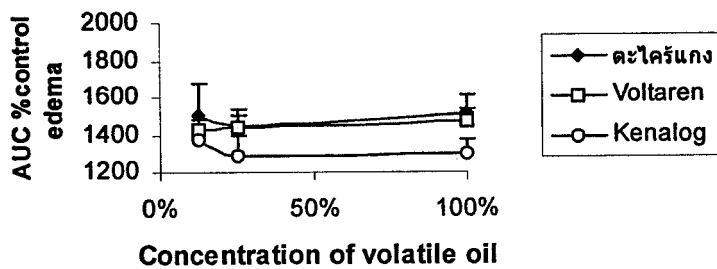
Dose response of volatile oil



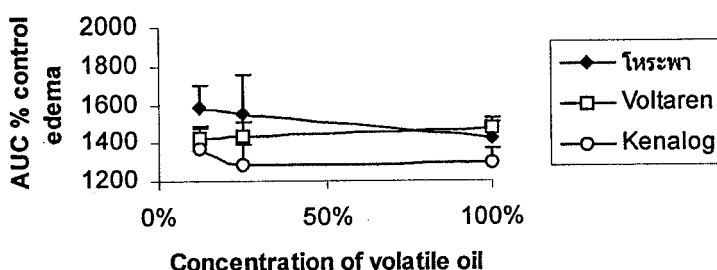
Dose response of volatile oil



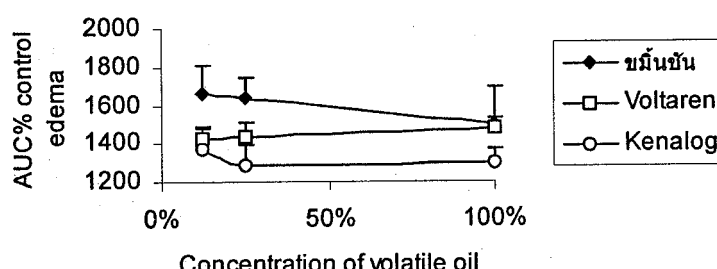
Dose response of volatile oil



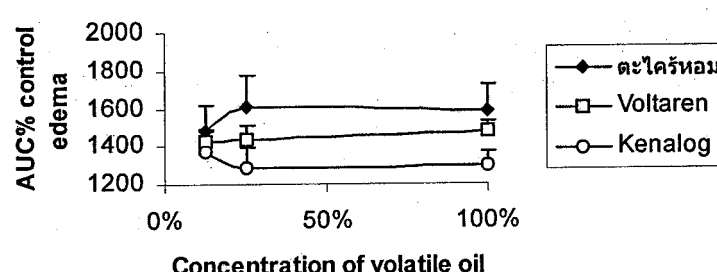
Dose response of volatile oil



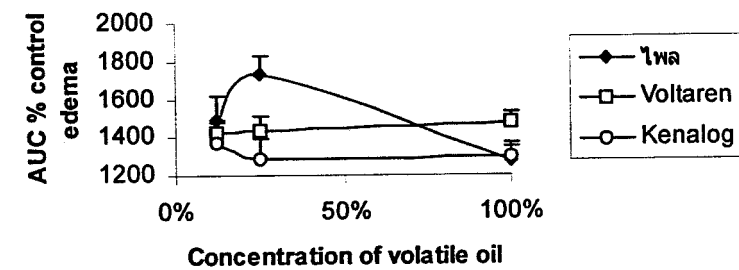
Dose response of volatile oil



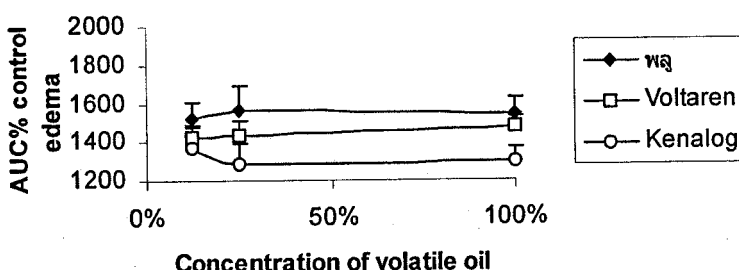
Dose response of volatile oil



Dose response of volatile oil



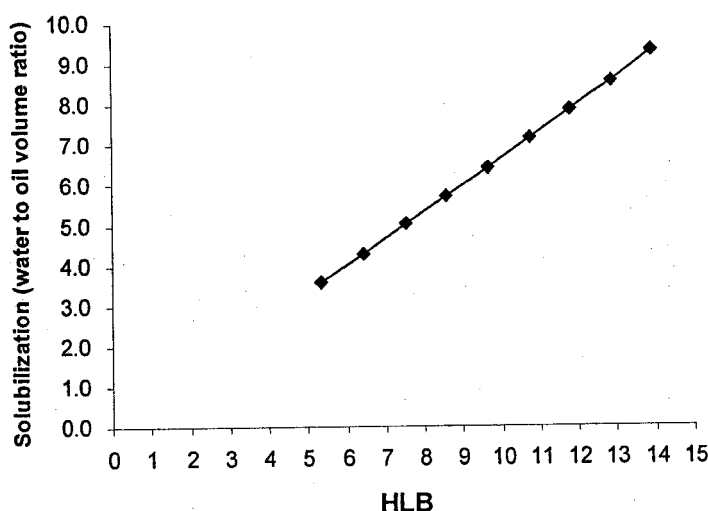
Dose response of volatile oil



รูปที่ 12 ผลลดบวมของน้ำมันหอมระเหยที่ระดับความเข้มข้น 100%, 25%, 12.5% (Dose response curve) และค่าแกนค่าเฉลี่ยพื้นที่ภายใต้กราฟบุบวมของหู 6 ตัว เปรียบเทียบ dose response curve ของน้ำมันหอมระเหยแต่ละชนิด กับยาลดบวมมาตรฐาน โดยที่ voltaren มีค่าใกล้กับ control ส่วน kenalog ลดการบวมได้ดีที่สุด

8. การพัฒนาสำรับน้ำยาจุ่มหัวแมมจากน้ำมันหอมระเหยตะไคร้แกง

8.1 การหาระบบ *microemulsion* ในการทำสั่งน้ำมันหอมระเหยตะไคร้แกง



รูปที่ 13 ผลของ HLB system ต่อความสามารถในการละลายของน้ำมันตะไคร้แกง

จากรูปที่ 13 พนวิค่า HLB ของระบบที่เพิ่มขึ้นทำให้สัดส่วนของน้ำต่อน้ำมันเพิ่มขึ้น หรือ solubilization เพิ่มขึ้นเมื่อ HLB ของระบบลดลงดังนั้นระบบที่ใช้ในการละลายน้ำมันความค่า HLB สูง ๆ

8.2 ผลของส่วนประกอบในตัวรับต่อประสิทธิภาพของน้ำมันหอมระ夷ตะไคร้

8.2.1 ผลของชนิด surfactant

น้ำมันตะไคร้แกงที่นำมาทดสอบเป็นน้ำมัน lot ใหม่ ในขนาด 1 กิโลกรัม ที่มีส่วนประกอบดังนี้ β -linalool 9.82% 2-decyne-1-ol 1.47%, citronellal 2.17%, β -citrail 31.95%, cis-geraniol 4.37% , α -citrail 43.25%, geranyl acetate 1.23% จากองค์ประกอบของน้ำมันตะไคร้แกงสามารถแบ่งกลุ่มได้เป็น 3 กลุ่ม ได้แก่ กลุ่มสารประกอบอัลกออล์ คือ linalool, cis-geraniol, 2-decyne-1-ol กลุ่มสารประกอบอัลเดไฮด์ ได้แก่ citronella, citral และกลุ่มสารประกอบเอสเตอร์ ได้แก่ geranyl acetate การพัฒนาเริ่มจากการประมาณสัดส่วนของสารช่วยละลายมาทำการทดสอบ อย่างไรก็ตามเมื่อนำมาพัฒนาเป็นตัวรับที่มี น้ำมัน ตะไคร้แกง 20% ethanol 20% Tween 80 20% และ 10% propylene glycol จนมีปริมาตรรวม 100 % ได้สารละลายขึ้น ขันหนีดมาก และเมื่อ待 24 ชม. มีน้ำมันหอมระ夷แยกชั้นออกมานะ จึงแก้ปัญหาโดยการเปลี่ยนรูปแบบตัวรับจากสารละลายใส เป็นรูปแบบอิมลชันเข้มข้นต้องเจือจางก่อนนำไปใช้ โดยทำการศึกษาตัวรับเบื้องต้น 4 ตัวรับ โดยมีส่วนประกอบดังตารางที่ 18 เพื่อศึกษาความคงตัวทางกายภาพและฤทธิ์ในการนำเข้าออกต่ำน้ำอักเสบ

ตารางที่ 18 ส่วนประกอบของตัวรับอิมลชันเข้มข้น

ส่วนประกอบ	2.1	2.2	2.3	2.4	หน้าที่
Lemongrass oil	20	20	20	20	สารสำคัญ
Butylated Hydroxy Toluene (BHT)	0.2	0.2	0.2	0.2	antioxidant
Light mineral oil	5	5	5	5	Emollient
Stearyl alcohol	1	1	1	1	Film stabilizer
Cetyl alcohol	1	1	1	1	Film stabilizer
Span 80	2	-	-	-	Non-ionic emulsifier
Cetomacrogol 1000	-	5	3	-	Non-ionic emulsifier
Sodium lauryl sulfate (SLS)	-	-	2	5	Penetration enhancer and solubilizer
Tween 80	3	-	-	-	Non-ionic emulsifier
Propylene glycol	20	20	20	20	Humectant
Sodium benzoate	0.2	0.2	0.2	0.2	Preservative
EDTA disodium	0.1	0.1	0.1	0.1	Chelating agent
Deionized water to	100	100	100	100	vehicle
Physical stability after 24 hr	unstable	unstable	unstable	unstable	

ตารางที่ 19 Inhibition zone (มิลลิเมตร) ในการยับยั้งเชื้อก่อโรคเด้านมอักเสบของตัวรับที่ 2.1

ความเข้มข้น (% V/V)	<i>S. aureus</i>	<i>E. coli</i>	<i>P. aeruginosa</i>
Base	-	-	-
5%	13.0	8.0	-
10%	18.5	8.0	-
15%	20.3	9.0	-
20%	27.3	9.5	-
0.5% CHX	15.0	14.0	15.0

ตารางที่ 20 Inhibition zone(มิลลิเมตร) ในการยับยั้งเชื้อก่อโรคเด้านมอักเสบของตัวรับที่ 2.2

ความเข้มข้น (% V/V)	<i>S. aureus</i>	<i>E. coli</i>	<i>P. aeruginosa</i>
Base	-	-	-
5%	11.0	10.0	10.0
10%	20.0	10.0	10.0
15%	20.0	10.0	10.0
20%	22.0	9.0	10.0
0.5% CHX	15	14.0	16.0

ตารางที่ 21 Inhibition zone (มิลลิเมตร) ในการยับยั้งเชื้อก่อโรคเด้านมอักเสบของตัวรับที่ 2.3

ความเข้มข้น (% V/V)	<i>S. aureus</i>	<i>E. coli</i>	<i>P. aeruginosa</i>
Base	9	-	-
5%	15.3	10.0	7.0
10%	18.7	10.0	8.0
15%	22.0	10.0	9.0
20%	24.0	9.0	9.0
0.5% CHX	15	14.0	15.3

ตารางที่ 22 Inhibition zone (มิลลิเมตร) ในการยับยั้งเชื้อก่อโรคเด้านมอักเสบของตัวรับที่ 2.4

ความเข้มข้น (% V/V)	<i>S. aureus</i>	<i>E. coli</i>	<i>P. aeruginosa</i>
Base	12.3	-	-
5%	15.3	-	-
10%	18.7	-	-
15%	28.7	-	-
20%	28.0	-	-
0.5% CHX	15.0	14.0	14.0

ตารางที่ 23 Inhibition zone (มิลลิเมตร) ในการยับยั้ง S. aureus ของตัวรับต่าง ๆ

ความเข้มข้น (% V/V)	ตัวรับ			
	2.1	2.2	2.3	2.4
Base	-	-	9	12.3
5	13	11	15.3	15.3
10	18.5	20	18.7	18.7
15	20.3	20	22	28.7
20	27.3	22	24	28
0.5% CHX	15	15	15	15

ตารางที่ 24 ความเข้มข้นของตัวรับต่าง ๆ ใน การยับยั้ง S. aureus ที่เทียบเท่ากับ 0.5% Chlorhexidine digluconate และลักษณะความคงด้าวทางกายภาพของตัวรับ

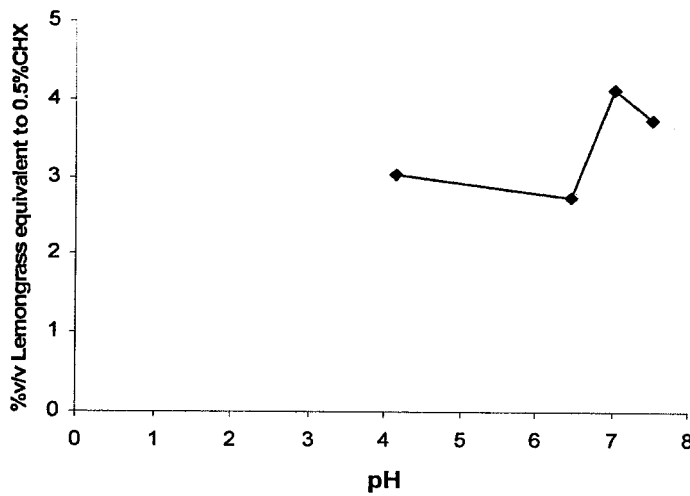
ตัวรับ	ลักษณะทางกายภาพ	% v/v น้ำมันตะไคร้แกงในตัวรับ ที่เทียบเท่ากับ 0.5% CHX
2.1	ขาววนเข้าเป็นเนื้อเดียวกับ แยกชั้นเมื่อตั้งไว้ 24 ชม.	6.64
2.2	แยกชั้น	7.25
2.3	ขาวขุ่นเข้าเป็นเนื้อเดียวกับแยกชั้นเมื่อตั้งไว้ 24 ชม.	5.01
2.4	แยกชั้น	5.28

หมายเหตุ เพื่อศึกษาผลของของสารก่ออิมลัชันในการยับยั้งเชื้อจึงทำการทดสอบเมื่อเตรียมเสร็จใหม่ ๆ จากตารางที่ 19-24 เมื่อนำค่าที่ได้มาหาความสัมพันธ์ระหว่าง log concentration และเส้นผ่าศูนย์กลางของ inhibition zone พบว่ามีความสัมพันธ์เชิงเส้น ตัวรับที่ 2.3 และ 2.4 ยาพื้นเปล่าของทั้ง 2 ตัวรับสามารถยับยั้งเชื้อ S. aureus ได้ โดยตัวรับยาพื้นเปล่าของตัวรับ 2.4 ให้ inhibition zone กว้างกว่าตัวรับยาพื้นเปล่าของตัวรับ 2.3 และเมื่อพิจารณาตัวรับยาพื้นเปล่าของตัวรับทั้งหมดพบว่า ตัวรับมีส่วนผสมของ SLS และผลการยับยั้งเชื้อ S. aureus ได้ ในขณะที่ตัวรับที่ไม่มี ส่วนผสมของ SLS ไม่แสดงผลในการยับยั้งเชื้อ แสดงว่า SLS น่าจะมีผลในการยับยั้งเชื้อด้วย และเมื่อเทียบเทียบตัวรับที่มี lemongrass oil 5% โดยการแทนที่สมการเส้นตรงด้วยค่า inhibition zone ของ 0.5% CHX พบว่าตัวรับ 2.3 และ 2.4 มีทุกชึ้นในการยับยั้งเชื้อได้มากกว่าตัวรับ 2.1 และ 2.2 และประสิทธิภาพในการยับยั้งเชื้อของตัวรับ 2.3 ที่มีส่วนผสมของ Cetomacrogol 1000 และ SLS จะดีกว่าตัวรับ 2.4 ซึ่งมีเพียง SLS เป็นสารก่ออิมลัชันเพียงเล็กน้อย ถ้าพิจารณาค่า inhibition zone ของตัวรับ 2.4 พบว่าที่ความเข้มข้นของตะไคร้แกง 15 และ 20 %V/V จะสามารถยับยั้งเชื้อได้ดีกว่าตัวรับที่ 2.3 แต่ในความเข้มข้นที่ 5 และ 10 % V/V ประสิทธิภาพในการยับยั้งไม่ต่างกันทำให้เมื่อนำมาเทียบกับ inhibition zone ของ 0.5% CHX ค่าความชันของกราฟตัวรับที่ 2.4 จะสูงกว่า ตัวรับที่ 2.3 ส่งผลให้ % น้ำมันตะไคร้แกงเมื่อเทียบกับ 0.5% CHX ของตัวรับ 2.4 มีค่าสูงกว่าตัวรับ 2.3 เพียงเล็กน้อย อย่างไรก็ตามเมื่อพิจารณาลักษณะทางกายภาพพบว่าเมื่อตั้งไว้ 24 ชม. ทุกตัวรับไม่คงตัว (ตารางที่ 24)

8.2.2 ผลของ pH ต่อประสิทธิภาพของน้ำมันหอมระเหยตะไคร้แกง

และเมื่อศึกษาผลของ pH ต่อความคงตัวและประสิทธิภาพของตัวรับในตารางที่ 4 จากรูปที่ 14 พบว่า haya จุ่มหัวนมแม่วัวจากน้ำมันตะไคร้แกงตัวรับที่ 3.1-3.4 ที่มี pH 4.16, 6.48 7.04 และ 7.53 จะมีประสิทธิภาพเทียบเท่ากับ CHX ที่ความเข้มข้น 2.73., 4.13 และ 3.74 % ตามลำดับ อย่างไรก็ตามตัวรับทั้ง 3 ไม่คงตัวมีการแยกชั้นเมื่อตั้งไว้ 24 ชม ในขณะที่ตัวรับที่ 3.1 มี pH 4.16 มีความคงตัวดีมีประสิทธิภาพเทียบเท่ากับ

CHX ที่ความเข้มข้น 3.03% w/v แสดงว่า pH ที่เหมาะสมในการเตรียมน้ำยาจุ่มหัวนมจากน้ำมันตะไคร้ gang ควรมีสภาวะเป็นกรด และเมื่อพิจารณาค่าความเข้มข้นที่ใช้ในการจุ่มหัวนมแม่วัวเพื่อยับยั้งเชื้อ *S. aureus* ของตัวรับที่ 2.1 - 2.4 พบร่วมกันที่ได้ยังค่อนข้างสูง ประกอบกับประสิทธิภาพในการฆ่าเชื้อ แกรมลบ ได้แก่ *E. coli* และ *Ps. aeruginosa* ค่อนข้างต่ำ และประสิทธิภาพและความคงตัวของตัวรับยังขึ้นอยู่กับ pH ของตัวรับ ดังนั้น จึงเลือกตัวรับที่ 2.3 มาพัฒนาต่อให้มีความคงตัวทางกายภาพมากขึ้น โดยเพิ่มความเข้มข้นของสารก่ออิมัลชันเป็น 10% และทำการปรับส่วนผสมของตัวรับโดยการเพิ่มความเข้มข้นของ SLS และเติมเกลือ sodium chloride และ citric acid เพื่อเพิ่มประสิทธิภาพในการยับยั้งเชื้อได้ ส่วนประกอบในตัวรับดังแสดงในตารางที่ 25



รูปที่ 14 ผลของ pH ต่อฤทธิ์ในการต้านเชื้อ *S. aureus*

8.2.3 ผลของเกลือและกรดต่อประสิทธิภาพของตัวรับ
ตารางที่ 25 ส่วนประกอบของตัวรับอิมัลชันเข้มข้นที่พัฒนาต่อในลำดับที่ 3

ส่วนประกอบ	4.1	4.2	4.3	4.4
Lemongrass oil	20	20	20	20
Butylated Hydroxy Toluene (BHT)	0.2	0.2	0.2	0.2
Light mineral oil	5	5	5	5
Stearyl alcohol	1	1	1	1
Cetyl alcohol	1	1	1	1
Span 80	-	-	4	4
Cetomacrogol 1000	5	5	-	-
Sodium lauryl sulfate (SLS)	5	5	5	5
Tween 80	-	-	6	6
Propylene glycol	20	20	20	20
Sodium benzoate	0.2	0.2	0.2	0.2
EDTA disodium	0.1	0.1	0.1	0.1
Sodium chloride	2	-	2	-
Citric acid	0.5	0.5	0.5	0.5
Deionized water to	100	100	100	100

ตารางที่ 26 Inhibition zone (มิลลิเมตร) ในการยับยั้งเชื้อแบคทีเรียด้วยสารอักษะของตัวรับที่ 3.1

ความเข้มข้น (% V/V)	<i>S. aureus</i>	<i>E. coli</i>	<i>P. aeruginosa</i>
Base	10	-	-
1%	13	8	-
3%	16	10	8
5%	18	12	10
10%	24	19	11
0.5% CHX	16	15	15

ตารางที่ 27 Inhibition zone (มิลลิเมตร) ในการยับยั้งเชื้อแบคทีเรียด้วยสารอักษะของตัวรับที่ 3.2

ความเข้มข้น (% V/V)	<i>S. aureus</i>	<i>E. coli</i>	<i>P. aeruginosa</i>
Base	11	8	-
1%	10	-	-
3%	12	-	-
5%	15	12	-
10%	20	15	-
0.5% CHX	17	13	15

ตารางที่ 28 Inhibition zone(มิลลิเมตร) ในการยับยั้งเชื้อแบคทีเรียด้วยสารอักษะของตัวรับที่ 3.3

ความเข้มข้น (% V/V)	<i>S. aureus</i>	<i>E. coli</i>	<i>P. aeruginosa</i>
Base	9	-	-
1%	9	-	-
3%	9	-	-
5%	10	-	-
10%	19	-	-
0.5% CHX	18	14	14

ตารางที่ 29 Inhibition zone(มิลลิเมตร) ในการยับยั้งเชื้อแบคทีเรียด้วยสารอักษะของตัวรับที่ 3.4

ความเข้มข้น (% V/V)	<i>S. aureus</i>	<i>E. coli</i>	<i>P. aeruginosa</i>
Base	8	9	7
1%	9	-	10
3%	10	-	10
5%	13	16	11
10%	16	20	14
0.5% CHX	17	13	15

ตารางที่ 30 Inhibition zone (มิลลิเมตร) ในการยับยั้ง *S. aureus* ของตัวรับต่าง ๆ

ความเข้มข้น (% V/V)	ตัวรับ			
	3.1	3.2	3.3	3.4
Base	10	11	9	8
1	13	10	9	9
3	16	12	9	10
5	18	15	10	13
10	24	20	19	16
0.5% CHX	16	17	18	17

ตารางที่ 31 ความเข้มข้นของตัวรับต่าง ๆ ในการยับยั้ง *S. aureus* ที่เทียบเท่ากับ 0.5% CHX และลักษณะความคงตัวทางกายภาพของตัวรับ

ตัวรับ	ลักษณะทางกายภาพ	% v/v น้ำมันตะไคร้แกงในตัวรับที่เทียบเท่ากับ 0.5% CHX
4.1	ชุ่นขาวเนืด แยกชั้นเมื่อตั้งทิ้งไว้ 1 ชม.	2.12
4.2	ชุ่นขาวเนืด แยกชั้นเมื่อตั้งทิ้งไว้ 1 ชม.	4.33
4.3	เหลือง หนืด แยกชั้นเมื่อตั้งทิ้งไว้ 24 ชม.	7.51
4.4	เหลือง หนืด แยกชั้นเมื่อตั้งทิ้งไว้ 1 ชม.	7.96

จากตารางที่ 31 พบว่าทุกตัวรับไม่มีความคงตัวทางกายภาพ เมื่อเปรียบเทียบประสิทธิภาพในการยับยั้งเชื้อ *S. aureus* จากตารางที่ 26-30 พบว่า ตัวรับที่ 4.1 มีประสิทธิภาพดีที่สุด โดยที่ความเข้มข้นของน้ำมันตะไคร้แกง 2.12 %v/v จะเทียบเท่า 0.5% CHX รองลงมาคือตัวรับ 4.2 ทั้งนี้ ตัวรับที่ 4.1 มีส่วนประกอบที่เหมือนกันตัวรับที่ 4.2 โดยตัวรับที่ 4.1 มีส่วนผสมที่เพิ่มขึ้นคือมี sodium chloride 2% และ citric acid 0.5% ส่วนตัวรับที่ 4.2 มีเพียง citric acid 0.5% ในขณะที่ตัวรับที่ 4.3 และ 4.4 มีประสิทธิภาพต่ำกว่าตัวรับอื่น ๆ เมื่อพิจารณาส่วนประกอบในตัวรับพบว่าสารก่ออิมลัชันในตัวรับที่ 4.3 และ 4.4 คือ Span 80 และ Tween 80 โดยตัวรับที่ 4.3 มีส่วนผสมที่เพิ่มขึ้นคือมี sodium chloride 2% และ citric acid 0.5% ส่วนตัวรับที่ 4.4 มีเพียง citric acid 0.5% แสดงว่าการเติม sodium chloride 2% และ citric acid 0.5% ในตัวรับที่มี Span 80 และ Tween 80 จะมีผลทำให้ประสิทธิภาพในการยับยั้งเชื้อ *S. aureus* ลดลง ในขณะที่ในตัวรับ 4.2 ที่มี Cetomacrogol 1000 และ SLS เป็นสารก่ออิมลัชัน citric acid 0.5% สามารถเพิ่มประสิทธิภาพได้เล็กน้อย และเมื่อใช้ร่วมกับ sodium chloride 2% ในตัวรับที่ 4.1 แม้ว่าเชื้อ *S. aureus* ไม่ถูกยับยั้งการเจริญเติบโตโดย sodium chloride ในความเข้มข้นสูงก็ตาม (วัชรี, 2542) นอกจากนี้การมีเกลือในตัวรับยังช่วยให้อัตราการระเหยของสารละลายลดลง (Dickenson et al, 1991, US patent 5047234) และยังพบว่าสามารถเสริมฤทธิ์ในการยับยั้งเชื้อ *S. aureus* ได้เป็นอย่างดี ในขณะเดียวกันยังช่วยเสริมฤทธิ์ในการยับยั้งเชื้อ *E. coli* และ *Ps. aeruginosa* ได้มากขึ้น โดยตัวรับที่ 4.1 ที่ความเข้มข้น 6.33% มีประสิทธิภาพเทียบในการยับยั้งเชื้อ *E. coli* เท่ากับ 0.5% CHX ขณะที่ ฤทธิ์ในการยับยั้งเชื้อ *Ps. aeruginosa* มีน้อยมาก ที่ความเข้มข้นถึง 47.65% มีประสิทธิภาพเทียบเท่ากับ 0.5% CHX ทั้งนี้ยาเพ็นเปปเซอร์ที่นำมาทดสอบได้เติม sodium chloride 2% และ citric acid 0.5% ยังออกฤทธิ์ยับยั้งเชื้อ *S. aureus*, *E. coli* และ *Ps. aeruginosa* ได้เล็กน้อย เนื่องจากส่วนประกอบในตัวรับนอกจากจะมีน้ำมันตะไคร้แกงที่จะต้องเติมที่อุณหภูมิต่ำกว่า 45°C แล้วยังต้องเติม sodium chloride ซึ่งเป็น strong electrolyte และ

เติม citric acid ในความเข้มข้นที่สูงเพื่อให้ตัวรับมีความเป็นกรดที่ต่ำกว่า 3 ปัญหาที่พบคือ เกลือจะส่งผลให้เกิดการแย่งน้ำที่จำเป็นสำหรับการละลายน้ำของส่วนที่ชอน้ำของสารก่ออิมัลชัน เพื่อให้อิมัลชันไม่คงตัว ส่งผลให้การพัฒนาตัวรับค่อนข้างยุ่งยาก ประกอบกับในตัวรับมีการเติม propylene glycol 20% เพื่อเป็น humectant ในตัวรับ ปริมาณที่ใช้ก็ค่อนข้างสูง และเป็นตัวทำละลายกึ่งมีข้าว (semipolar solvent) เพื่อหวังผลให้น้ำมันละลายในตัวรับได้ดี ซึ่งอาจนำไปเพิ่มการ dehydrate สารก่ออิมัลชัน ส่วนสารในกลุ่ม fatty alcohol ได้แก่ stearyl alcohol และ cetyl alcohol มีวัตถุประสงค์เพื่อเพิ่มความแข็งแรงให้กับฟิล์มของสารก่ออิมัลชันที่ผิวประจัน แต่ไม่สามารถทำให้อิมัลชันคงตัวได้ ดังจะเห็นได้ว่าทุกตัวรับที่เตรียมขึ้นมีอัตราการเกิดการแยกของชั้นน้ำมันออกจากน้ำ จึงตัด propylene glycol และ fatty alcohol ออกจากตัวรับ จากการศึกษาผลของค่า HLB value ต่อการละลายของน้ำมันพบว่าที่สารที่จะช่วยละลายน้ำมัน ตะไคร้ gang ได้ต้องมีค่า HLB value สูง (รูปที่ 13) และเพื่อลดอัตราการระเหยของน้ำมันหอมระ夷ะตะไคร้ gang ในตัวรับและ เพื่อให้มี emollient effect ต่อผิวเด้านมวัว และช่วยเพิ่มปริมาณวัตถุภาชนะในของอิมัลชัน ดังนั้น จึงควรมี light mineral oil ในตัวรับ จากเหตุผลดังกล่าว ปัจจัยที่น่าจะส่งผลต่อความคงตัวของอิมัลชันคือ ความเข้มข้นของสารก่ออิมัลชันและสารเพิ่มความหนืดให้กับวัตถุภาชนะนอก แต่เนื่องจากตัวรับที่เตรียมขึ้นนี้ใช้สำหรับจุ่มหัวนมแม่วัว ดังนั้นตัวรับที่เตรียมไม่ควรมีความหนืดมาก เพราะจะทำให้สารสำคัญไม่สามารถซึมผ่านเข้าไปในหัวนมเพื่อยับยั้งเชื้อก่อโรค ดังนั้นจึงทำการปรับปริมาณสารก่ออิมัลชันเพื่อศึกษาในเชิง การเพิ่มปริมาณสารก่ออิมัลชันเพียงอย่างเดียว นอกจากนี้ยังได้เพิ่มปริมาณเกลือและ citric acid เพื่อการเจือจางก่อนใช้ให้มีปริมาณสูงพอ และพบว่าเมื่อเพิ่ม light mineral oil 20%, SLS 10%, Cetomacrogol 1000 15% ในตัวรับ เมื่อเติมน้ำมันหอมระ夷ะตะไคร้ gang ลงในปริมาณ 20% ของตัวรับที่ล่อน้อย จะได้น้ำยาจุ่มหัวนมแม่วัวที่มีลักษณะใสสีเหลืองอ่อน มีความหนืดเล็กน้อย สารละลายมี pH เป็น 2.37 ส่วนประกอบในตัวรับแสดงในตารางที่ 32

ตารางที่ 32 ส่วนประกอบในตัวรับน้ำยาจุ่มหัวนมแม่วัว

ส่วนประกอบ	% w/v
Lemongrass oil	20
Butylated Hydroxy Toluene (BHT)	0.2
Light mineral oil	20
Cetomacrogol 1000	15
Sodium lauryl sulfate (SLS)	10
Sodium benzoate	0.2
EDTA disodium	0.1
Sodium chloride	4
Citric acid	2
Deionized water	to 100

9. การศึกษาประสิทธิภาพของน้ำยาจุ่มหัวนมจากน้ำมันหอมระ夷ตะไคร้แกง

ตารางที่ 33 Inhibition zone ของน้ำยาจุ่มหัวนมแม่วัวเมื่อเจือจางที่ความเข้มข้นต่างๆ

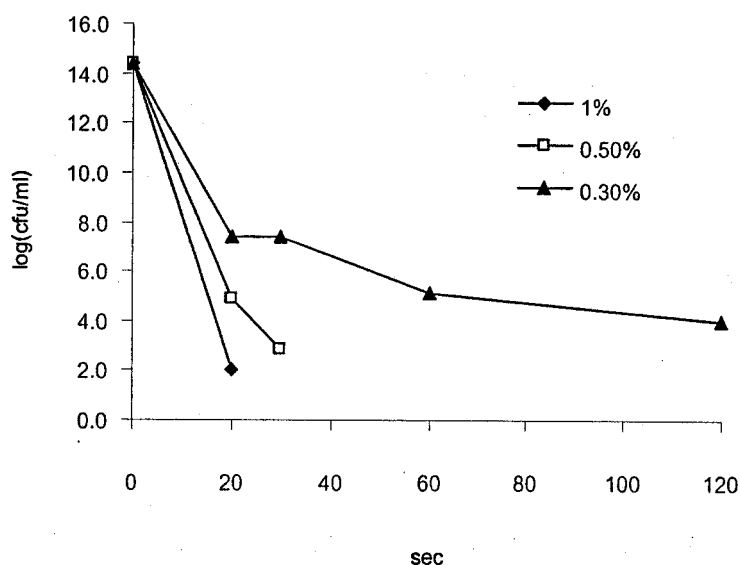
ความเข้มข้น (% V/V)	Inhibition zone (mm)				
	<i>S. aureus</i>	<i>E. coli</i>	<i>P. aeruginosa</i>	<i>S. agalactiae</i>	<i>B. cereus</i>
15	ND	23	8.5	ND	ND
10	22	17	8	ND	ND
5	16	16	-	ND	ND
3	10	15	-	21	19
2	ND	ND	ND	19	15
1	9	ND	ND	17	10
0.5	ND	ND	ND	14	8
Base	10	16	-	21	9
0.5% CHX	16	16	14	19	20

จากการที่ 33 พบร้าเชื้อในกลุ่มแกรมบวกได้แก่ *S. aureus*, *S. agalactiae* และ *B. cereus* จะไวต่อน้ำยามากกว่าเชื้อแกรมลบโดยที่ความเข้มข้นของน้ำยาเมื่อเจือจางเป็น 3% สามารถยับยั้งเชื้อ *S. agalactiae* ได้ดีกว่า *B. cereus* และ *S. aureus* ในกลุ่มเชื้อที่เป็นแกรมลบพบว่าเชื้อจะทนต่อน้ำยาได้ดีกว่าแกรมบวกและ *E. coli* จะถูกยับยั้งได้ดีกว่า *Ps. aeruginosa* ทั้งนี้เนื่องมาจากเชื้อแกรมลบจะมีคุณสมบัติชอบน้ำมากกว่าเชื้อแกรมบวกทำให้สารออกฤทธิ์ซึ่งมีคุณสมบัติชอบน้ำมานำมากกว่า เชื้อ *E. coli* ยาพื้นที่ยังไม่มีการเติมน้ำมันหอมระ夷ตะไคร้แกง และเมื่อเติมน้ำมันพบว่า inhibition zone ของ *E. coli* มี inhibition zone ไม่แตกต่างจากยาพื้น แสดงว่า ฤทธิ์ในการยับยั้ง *E. coli* น่าจะมาจากการพื้น เมื่อพิจารณาส่วนประกอบในยาพื้นพบว่า มี sodium lauryl sulphate (SLS) เป็นสารช่วยละลาย SLS จัดเป็น anionic surfactant ที่ความเข้มข้น 2% สามารถละลายผนังเซลล์ของ *E. coli* หนียานำให้ส่วนประกอบภายในเซลล์ร้าวอกมา นอกจากนี้ยังทำให้เกิดการย่อยสลายของ protoplast และยังทำให้ cell protein ถูก denatured ได้ และในตัวรับยังมี sodium benzoate ซึ่งนอกจากจะเป็นสารกันเสียในตัวรับแล้วยังสามารถเชื้อด้วยยับยั้งการนำ amino และ oxo acids ใน *E. coli* และ *B. subtilis* (Russell and Chopra , 1990) อย่างไรก็ตามน้ำยาจุ่มหัวนมวันที่ทำลายเชื้อ *Ps. aeruginosa* ได้น้อยมาก ทั้งนี้เป็น เพราะเชื้อนิดนี้จะดึงยาพื้นเชื้ออย่างชินิดมากกว่าเชื้อแกรมลบอื่น ๆ เนื่องจากเชื้อนิดนี้มีส่วนประกอบของ Lipopolysaccharides ที่ผนังเซลล์ต่างจากเชื้อแกรมลบอื่นทำให้น้ำยาพื้นเชื้อไม่สามารถเพร่ผ่าน porins ของ *Ps. aeruginosa* (Russell and Chopra , 1990)

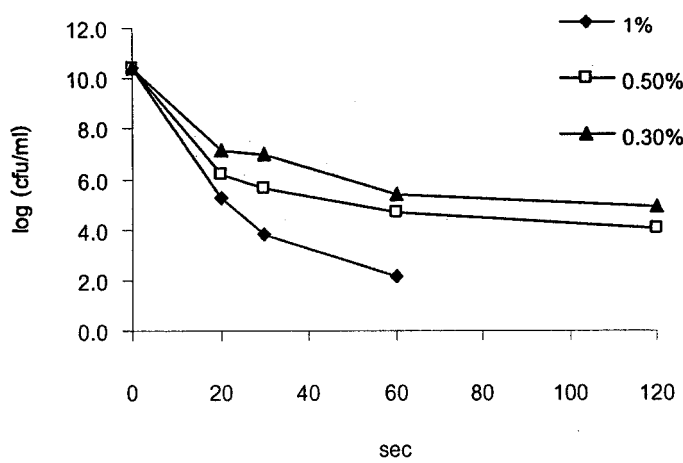
8.4 ประสิทธิภาพในการฆ่าเชื้อของตัวรับที่เวลาต่าง ๆ

เมื่อทำการศึกษาโดยการท้าทายน้ำยาจุ่มหัวนมแม่วัวหลังเจือจางให้ได้ความเข้มข้นต่างๆ กันเพื่อศึกษาอัตราการลดลงของเชื้อเมื่อสัมผัสกับตัวรับที่มีความเข้มข้นต่างๆ กัน โดยแสดงค่าเป็น D value ซึ่งหมายถึงระยะเวลาที่เชื้อที่เติมลงไปในตัวอย่างลดลง 90% ของจำนวนเชื้อตั้งต้น หรือ 1-log reduction ผลการศึกษาแสดงในตารางที่ 34 พบร้าว่าน้ำยาจุ่มหัวนมเมื่อเจือจางให้มีความเข้มข้นของน้ำมันตะไคร้แกง 1% เมื่อท้าทาย

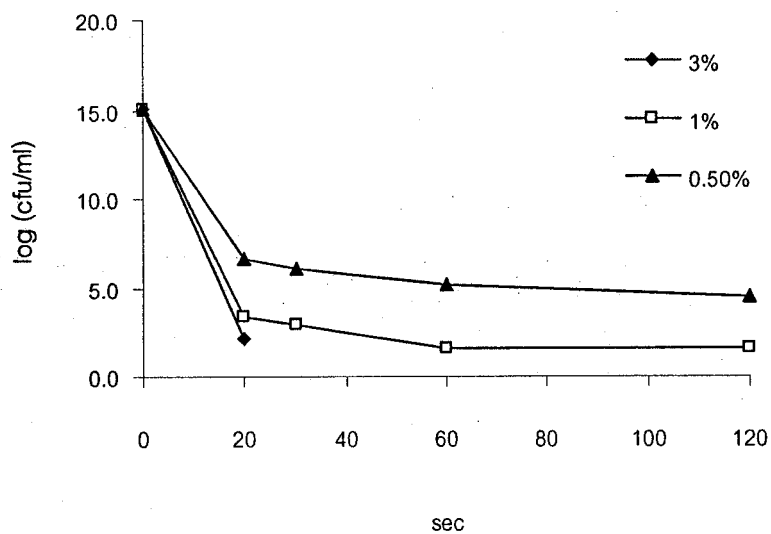
ด้วยเชื้อที่เลี้ยงในอาหารเลี้ยงเชื้อย่างน้อย 18 ชม พบร่วมในเชื้อกลุ่มที่เป็นแกรมบวก ได้แก่ *S. aureus*, *S. agalactiae* และ *B. cereus* เชื้อ *S. aureus* จะลดลง 90% เร็วที่สุดคือภายในเวลาเพียง 1.62 วินาที ขณะที่ *B. cereus* จะลดลงช้าที่สุดคือใช้เวลา 9.94 วินาทีแม้ว่าปริมาณของเชื้อต้นของ *B. cereus* (1.07×10^5 cfu/ml) จะน้อยกว่าทั้ง *S. aureus* (2.3×10^{14} cfu/ml) และ *S. agalactiae* (2.1×10^{15} cfu/ml) ทั้งนี้ อาจเป็นเพราะเชื้อ *B. cereus* เป็นเชื้อแกรมบวก แต่ ที่มีขนาดใหญ่ ที่สามารถสร้างสปอร์ป้องกันตัวไว้ให้สารที่มีฤทธิ์ฆ่าเชื้อเข้าไปสัมผัสได้ง่าย ในขณะที่ *S. aureus* เป็นเชื้อแกรมบวกขนาดเล็ก ทำให้สารที่มีฤทธิ์ฆ่าเชื้อเข้าไปสัมผัสได้ยากกว่า ขณะที่กลุ่มแกรมลบพบว่า เชื้อ *Ps. aeruginosa* จะลดลงเร็วกว่า *E. coli* แม้ว่าปริมาณเชื้อต้นของ *Ps. aeruginosa* (1.1×10^{15} cfu/ml) จะมากกว่า *E. coli* (2.7×10^{10} cfu/ml) ซึ่งผลที่ได้จะตรงข้ามกับการศึกษาโดยการหา inhibition zone ทั้งนี้อาจเป็นไปได้ว่าในการศึกษาฤทธิ์ในการฆ่าเชื้อโดยการเดิมเชื้อลงในน้ำยาจุ่มหัวนมที่เจือจากในความเข้มข้นที่ต่างกัน เชื้อจะสัมผัสนับน้ำยาโดยตรง ขณะที่การศึกษา inhibition zone เป็นการศึกษาการยับยั้งการเจริญของเชื้อด้วยน้ำยาจะแพร่ผ่านวุ้นก่อนที่เชื้อจะเจริญซึ่งเป็นกลไกในการป้องกันการเจริญของเชื้อ ซึ่งต้องมีสารยับยั้งในปริมาณที่สูงพอจึงจะเห็น inhibition zone ขณะที่การท้าหายด้วยเชื้อเป็นการฆ่าเชื้อจากการสัมผัสโดยตรง (Lethal effect) ซึ่งปัจจัยที่มีผลต่อการฆ่าเชื้อโดยตรงขึ้นกับปริมาณเชื้อเริ่มต้นที่เดิม ความเข้มข้นของน้ำยาที่ใช้ ระยะเวลาที่เชื้อสัมผัสนับน้ำยา ซึ่งพบว่าที่ความเข้มข้น 5% เชื้อทุกชนิดไม่สามารถรอดชีวิตได้ในระยะเวลา 20 วินาที



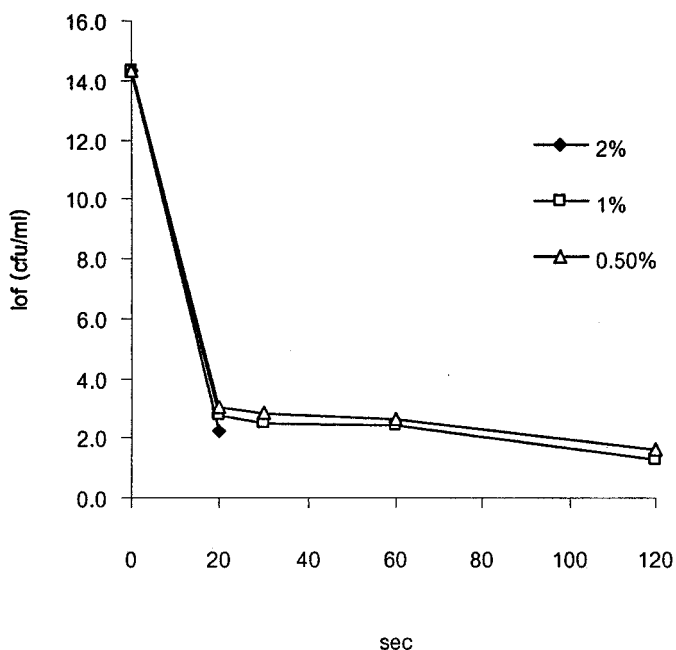
รูปที่ 15 ประสิทธิภาพของการฆ่าเชื้อ *S. aureus*



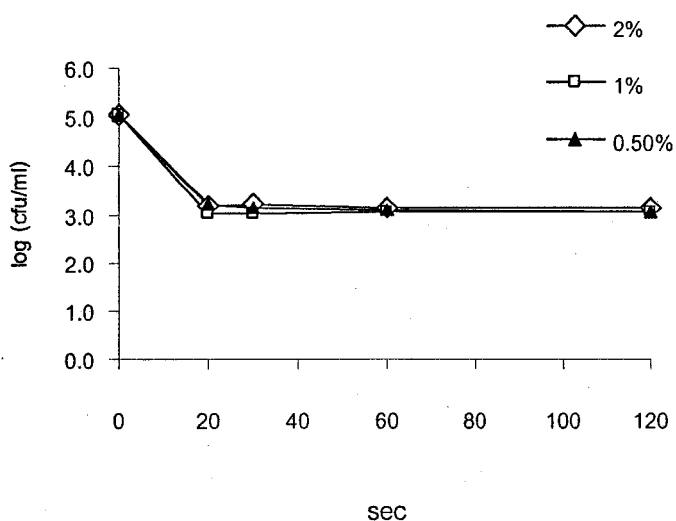
รูปที่ 16 ประสิทธิภาพของตัวรับในการฆ่าเชื้อ *E. coli*



รูปที่ 17 ประสิทธิภาพของตัวรับในการฆ่าเชื้อ *Ps. aeruginosa*



รูปที่ 18 ประสิทธิภาพของตัวรับในการฆ่าเชื้อ *Strep. agalactiae*



รูปที่ 19 ประสิทธิภาพของตัวรับในการฆ่าเชื้อ *B. cereus*

ตารางที่ 34 ค่า D value ของน้ำยาจุ่มหัวนมแม่วัวที่ความเข้มข้นต่างๆ

ความเข้มข้น (% V/V)	D value (sec)				
	<i>S. aureus</i>	<i>E. coli</i>	<i>Ps. aeruginosa</i>	<i>S. agalactiae</i>	<i>B. cereus</i>
3	ND	ND	1.54	ND	ND
2	ND	ND	ND	1.65	1.08
1	1.62	3.83	1.71	1.73	9.94
0.5	2.10	4.69	2.38	1.76	11.16
0.3	2.89	6.12	ND	ND	ND

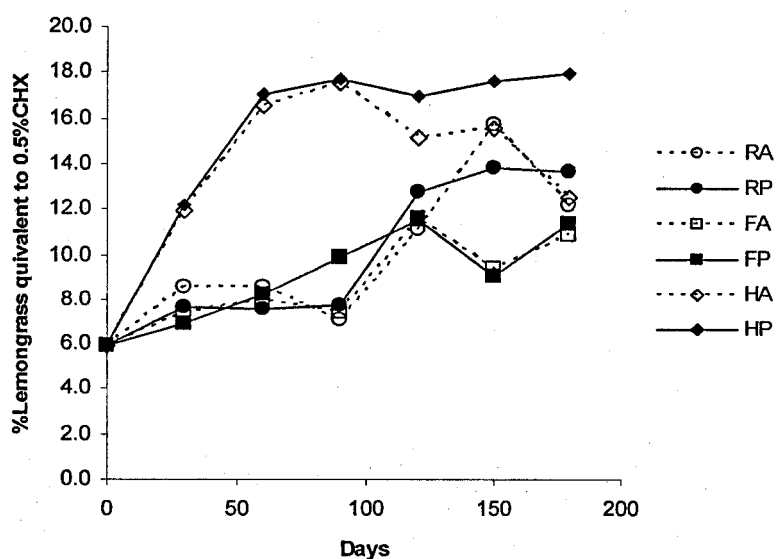
ND : ไม่ได้ทดสอบ

D value คือเวลาที่ใช้ในการทำให้เชื้อลดลง 90% จากปริมาณเชื้อตั้งต้นหรือ 1-log reduction

8.5 การศึกษาความคงตัวของน้ำยาจุ่มหัวนมแม่วัวโดยวิธี Agar diffusion method

เนื่องจากเชื้อที่ไวต่อตัวรับเป็นเชื้อแกรมบวกห้องหมด และการศึกษาเน้นประสิทธิภาพทางจุลชีววิทยาเป็นหลัก ดังนั้นจึงทำการศึกษาประสิทธิภาพของตัวรับ โดยเปรียบเทียบ Inhibition zone ที่ความเข้มข้นต่างๆ แล้ว นำมาหาความสัมพันธ์เชิงเส้นที่ยืนเหตุกัน Inhibition zone ของ 0.5% CHX จากรูปที่ 20 แสดงให้เห็นว่า การเก็บตัวอย่างที่อุณหภูมิห้องและในตู้เย็นให้ผลในการฆ่าเชื้อ *S. aureus* แตกต่างกันเล็กน้อยกว่าคือ ตัวอย่างที่เก็บในสภาวะดังกล่าวจะมีประสิทธิภาพลดลงเล็กน้อย ณ. อุณหภูมิห้อง ตัวอย่างที่เก็บในขาดแก้วสีชา มีประสิทธิภาพลดลง 1.18 % ในขาดพลาสติกลดลง 1.80 % เมื่อเก็บในตู้เย็นตัวอย่างที่เก็บในขาดแก้วสีชา มีประสิทธิภาพลดลง 1.5% ในขาดพลาสติกลดลง 4% นาน 3 เดือน หลังจากนั้นประสิทธิภาพจะลดลงมากกว่าเดิมในเดือนที่ 4 ถึงเดือนที่ 6 ณ. อุณหภูมิห้อง ตัวอย่างที่เก็บในขาดแก้วสีชา มีประสิทธิภาพลดลง 6.31 % ในขาดพลาสติกลดลง 7.8 % เมื่อเก็บในตู้เย็นตัวอย่างที่เก็บในขาดแก้วสีชา มีประสิทธิภาพลดลง 5.0% ในขาดพลาสติกลดลง 5.49% และ ณ. อุณหภูมิ 40°C จะส่งผลให้ประสิทธิภาพของตัวอย่างลดลงอย่างรวดเร็ว ในช่วง 2 เดือนแรกตัวอย่างที่เก็บในขาดแก้วสีชา มีประสิทธิภาพลดลง 8.33 % ในขาดพลาสติกลดลง 8.7 % และจะค่อนข้างคงที่ในเดือนที่ 3 ถึง 6 ตัวอย่างที่เก็บในขาดแก้วสีชา มีประสิทธิภาพลดลง 9.28 % ในขาดพลาสติกลดลง 11.62 % รูปที่ 21 ประสิทธิภาพของตัวอย่างต่อเชื้อ *Strep. agalactiae* พบว่าตัวอย่างทุกสภาวะมีประสิทธิภาพเพิ่มขึ้นเมื่อเก็บไวนาน 2 เดือน และ มีประสิทธิภาพลดลงหลังจากนั้น เป็นที่น่าสังเกตว่าที่ 40 °C ประสิทธิภาพจะเพิ่มขึ้นจาก 2.08% ไปเป็น 0.90 % สำหรับตัวอย่างในขาดแก้วสีชาและ 0.84% สำหรับตัวอย่างในขาดพลาสติกในเดือนที่ 2 ซึ่งเป็นช่วงที่อุณหภูมิฟ้าเชื้อ *Strep. agalactiae* ได้ตัวสุดแล้วจึงเริ่มมีประสิทธิภาพลดลงในเดือนที่ 3 ก่อนที่จะมีประสิทธิภาพต่ำกว่าความเข้มข้นเริ่มต้นเดือนที่ 6 คือตัวอย่างในขาดแก้วสีชาลดลง 0.89 % ตัวอย่างในขาดพลาสติกลดลง 1.45% เมื่อเก็บตัวอย่างที่อุณหภูมิห้อง ตัวอย่างในขาดแก้วสีชา มีประสิทธิภาพต่ำสุดในเดือนที่ 2 และตัวอย่างจะมีประสิทธิภาพลดลงต่ำกว่าช่วงเริ่มต้นในเดือนที่ 4 ถึง 6 โดยในเดือนที่ 6 ประสิทธิภาพลดลงเทียบกับเริ่มต้นคิดเป็น 0.72% สำหรับตัวอย่างในขาดพลาสติกจะมีประสิทธิภาพต่ำสุดในเดือนที่ 1 และตัวอย่างจะมีประสิทธิภาพลดลงต่ำกว่าช่วงเริ่มต้นในเดือนที่ 4 ถึง 6 โดยในเดือนที่ 6 ประสิทธิภาพลดลงเทียบกับเริ่มต้นคิดเป็น 0.93% เมื่อเก็บตัวอย่างในตู้เย็นพบว่าตัวอย่างในขาดแก้วสีชา จะมีประสิทธิภาพต่ำสุดในเดือนที่ 1 และประสิทธิภาพจะลดลงมากกว่าวันเริ่มต้นในเดือนที่ 4 ถึง 6 โดยในเดือนที่ 6 ประสิทธิภาพลดลงเทียบกับเริ่มต้นคิดเป็น 0.41 % เช่นเดียวกับตัวอย่างในขาดพลาสติก และประสิทธิภาพจะลดลงมากกว่าวันเริ่มต้นในเดือนที่ 3 ถึง 6 โดยในเดือนที่ 6 ประสิทธิภาพลดลงเทียบกับ

เริ่มต้น คิดเป็น 0.51 % รูปที่ 22 เมื่อนำตัวอย่างไปทดสอบกับเชื้อ *B. cereus* โดยภาพรวมพบว่าเมื่อกีบตัวอย่างไว้ในตู้เย็นและอุณหภูมิห้องประสิทธิภาพจะแกร่งโดยมีค่าต่ำสุดที่ 2.29 และสูงสุดที่ 4.48 % ในระยะเวลา 0-6 เดือน ในขณะที่เมื่อกีบที่อุณหภูมิ 40 °C พบว่าตัวอย่างที่บรรจุในภาชนะบรรจุที่เป็นขวดแก้วสีขาวจะมีประสิทธิภาพดีกว่าขวดพลาสติก โดยประสิทธิภาพของน้ำยาต่อเชื้อจะลดลงเมื่อเวลาเพิ่มขึ้น และเพิ่มขึ้นอย่างต่อเนื่องทั้งนี้ประสิทธิภาพโดยเฉลี่ยระหว่างเดือนที่ 3 ถึงเดือนที่ 6 ของตัวอย่างในขวดแก้วสีขาวลดลง 2.95% และ ของตัวอย่างในขวดพลาสติกลดลง 4.67% จากข้อมูลข้างต้นจะเห็นว่าถ้าหากกำหนดให้เจือจางน้ำยาให้มีความเข้มข้นของน้ำมันตะไคร้แท้ 5% น้ำยาที่เตรียมขึ้นสามารถฆ่าเชื้อ *Strep. agalactiae* และเก็บได้นานอย่างน้อย 6 เดือน แม้ในที่ๆ มีอุณหภูมิสูงถึง 40 °C และเมื่อกีบในตู้เย็นหรือที่อุณหภูมิห้อง สามารถฆ่าเชื้อ *B. cereus* ได้นานอย่างน้อย 6 เดือน แต่ถ้าหากเก็บที่ อุณหภูมิสูงถึง 40 °C ประสิทธิภาพของน้ำยาจะลดต่ำลง อย่างไรก็ตามน้ำยาจะมีหัวน้ำที่เตรียมจากน้ำมันตะไคร้แท้จะมีประสิทธิภาพในการฆ่าเชื้อ *S. aureus* ได้ลดลงและจะเสื่อมสภาพอย่างรวดเร็วเมื่อกีบไว้ในตู้เย็น โดยเฉพาะในสภาวะที่มีอุณหภูมิสูง ๆ ทั้งนี้อาจเป็นไปได้ว่าเชื้อ *S. aureus* สามารถปรับตัวและดื้อต่อน้ำมันตะไคร้แท้ได้ ทั้งนี้ต้องทำการศึกษาต่อไป อีกสาเหตุหนึ่งซึ่งอาจเป็นไปได้คือ การลายตัวของน้ำมันตะไคร้แท้โดยกระบวนการ hydrolysis และ oxidation ดังที่แสดงในตารางที่ 39 ทำให้ประสิทธิภาพในการฆ่าเชื้อลดลงจากการศึกษานี้สรุปได้ว่าอุณหภูมิ ภาชนะบรรจุ มีผลต่อประสิทธิภาพของน้ำยาจุ่มหัวน้ำโดยพบว่าตัวอย่างที่บรรจุในขวดพลาสติกจะมีประสิทธิภาพลดลงมากกว่าที่บรรจุในขวดแก้วสีขาวและจะเห็นการเปลี่ยนแปลงของสีได้อย่างชัดเจนในเดือนที่ 6 กล่าวคือตัวอย่างในขวดพลาสติกจะมีสีเข้มกว่าตัวอย่างที่บรรจุในขวดแก้วสีขาว และพบว่าที่ 40 °C ตัวอย่างที่บรรจุในภาชนะจะเริ่มแยกชั้นในเดือนที่ 2 ในขณะที่ตัวอย่างที่เก็บในตู้เย็น และที่อุณหภูมิห้องไม่มีการแยกชั้น แต่สีของตัวอย่างจะเข้มขึ้นตามอุณหภูมิที่สูงขึ้น ตารางที่ 38 แสดงการเปลี่ยนแปลง pH ของตัวอย่าง ซึ่งพบว่าตัวอย่างมีแนวโน้มที่จะมีความเป็นกรดมากขึ้นเมื่อกีบไว้นานขึ้น โดยเฉพาะเมื่อกีบไว้ที่อุณหภูมิ 40 °C อย่างไรก็ตามมีการเปลี่ยนแปลงที่น้อยมากโดยตัวอย่างที่บรรจุในขวดแก้วสีขาว pH ลดลงเพียง 0.29 และ ตัวอย่างที่บรรจุในขวดพลาสติกลดลงเพียง 0.26 หน่วยสำหรับอุณหภูมิห้องที่เก็บตัวอย่างระหว่างเดือนที่ 1 ถึงเดือนที่ 5 เท่ากับ $26.7 \pm 2.6^{\circ}\text{C}$

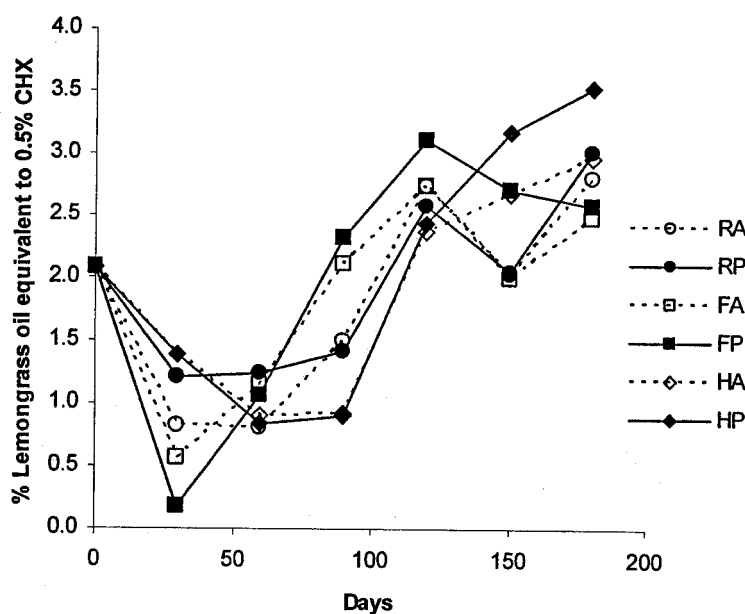


รูปที่ 20 ประสิทธิภาพในการฆ่าเชื้อ *S. aureus* ของตัวอย่างที่สภาวะต่างๆ;

RA: ขวดแก้วสีขาวเก็บที่อุณหภูมิห้อง; RP: ขวดพลาสติกทึบแสงเก็บที่อุณหภูมิห้อง; FA: ขวดแก้วสีขาวเก็บในตู้เย็น; FP: ขวดพลาสติกทึบแสงเก็บในตู้เย็น; HA: ขวดแก้วสีขาวเก็บที่อุณหภูมิ 40 °C; HP: ขวดพลาสติกทึบแสงเก็บที่อุณหภูมิ 40 °C

ตารางที่ 35 %v/v ของน้ำมันตะไคร้ในตัวรับที่เก็บในภาชนะต่างๆ เมื่อเทียบกับ 0.5% CHX เมื่อทดสอบการป่าเชื้อ *S. aureus*

วัน	อุณหภูมิห้อง		ตู้เย็น		40°C	
	ขวดแก้วสีชา	ขวดพลาสติก	ขวดแก้วสีชา	ขวดพลาสติก	ขวดแก้วสีชา	ขวดพลาสติก
0	5.90	5.90	5.90	5.90	5.90	5.90
30	8.54	7.66	7.39	6.93	11.92	12.19
60	8.58	7.58	7.97	8.20	16.54	17.00
90	7.08	7.70	7.40	9.90	17.55	17.66
120	11.14	12.78	11.58	11.49	15.12	16.92
150	15.73	13.83	9.42	9.08	15.53	17.57
180	12.21	13.70	10.90	11.39	12.53	17.92

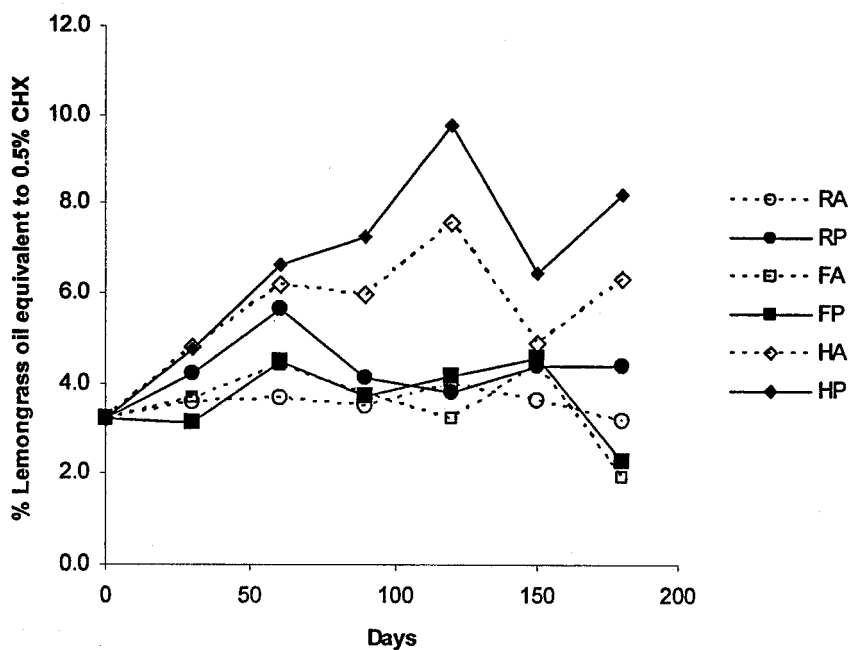


รูปที่ 21 ประสิทธิภาพในการป่าเชื้อ *Strep. agalactiae* ของตัวอย่างที่สภาวะต่างๆ;

RA: ขวดแก้วสีชาเก็บที่อุณหภูมิห้อง; RP: ขวดพลาสติกทึบแสงเก็บที่อุณหภูมิห้อง; FA: ขวดแก้วสีชาเก็บในตู้เย็น; FP: ขวดพลาสติกทึบแสงเก็บในตู้เย็น; HA: ขวดแก้วสีชาเก็บที่อุณหภูมิ 40 ° C; HP: ขวดพลาสติกทึบแสงเก็บที่อุณหภูมิ 40 ° C

ตารางที่ 36 %v/v ของน้ำมันตะไคร้ในตัวรับที่เก็บในภาชนะต่างๆ เมื่อเทียบกับ 0.5% CHX เมื่อทดสอบการป่าเชื้อ *Strep. agalactiae*

วัน	อุณหภูมิห้อง		ตู้เย็น		40°C	
	ขวดแก้วสีชา	ขวดพลาสติก	ขวดแก้วสีชา	ขวดพลาสติก	ขวดแก้วสีชา	ขวดพลาสติก
0	2.08	2.08	2.08	2.08	2.08	2.08
30	0.83	1.21	0.56	0.18	1.39	1.39
60	0.81	1.24	1.14	1.07	0.90	0.84
90	1.50	1.42	2.12	2.32	0.92	0.91
120	2.74	2.58	2.75	3.11	2.36	2.43
150	2.03	2.04	2.01	2.72	2.68	3.18
180	2.80	3.01	2.49	2.59	2.97	3.53



รูปที่ 22 ประสิทธิภาพในการฆ่าเชื้อ *B. cereus* ของตัวอย่างที่สภาวะต่างๆ;

RA: ขวดแก้วสีชาเก็บที่อุณหภูมิห้อง; RP: ขวดพลาสติกทึบแสงเก็บที่อุณหภูมิห้อง; FA: ขวดแก้วสีชาเก็บในตู้เย็น;
FP: ขวดพลาสติกทึบแสงเก็บในตู้เย็น; HA: ขวดแก้วสีชาเก็บที่อุณหภูมิ 40 °C; HP: ขวดพลาสติกทึบแสงเก็บที่
อุณหภูมิ 40 °C

ตารางที่ 37 %v/v ของน้ำมันตะไคร้ในตัวรับที่เก็บในภาชนะต่างๆ เมื่อเทียบกับ 0.5% CHX

เมื่อทดสอบการฆ่าเชื้อ *B. cereus*

วัน	อุณหภูมิห้อง		ตู้เย็น		40°C	
	ขวดสีชา	ขวดพลาสติก	ขวดสีชา	ขวดพลาสติก	ขวดสีชา	ขวดพลาสติก
0	3.23	3.23	3.23	3.23	3.23	3.23
30	3.57	4.21	3.66	3.13	4.78	4.74
60	3.66	5.63	4.38	4.48	6.20	6.63
90	3.49	4.14	3.74	3.71	5.95	7.24
120	4.00	3.79	3.24	4.17	7.56	9.75
150	3.61	4.40	4.42	4.58	4.88	6.43
180	3.17	4.41	2.45	2.29	6.32	8.20

ตารางที่ 38 การเปลี่ยนแปลง pH ของตัวอย่างต่อเวลา

วัน	อุณหภูมิห้อง		ตู้เย็น		40°C	
	ขวดสีชา	ขวดพลาสติก	ขวดสีชา	ขวดพลาสติก	ขวดสีชา	ขวดพลาสติก
0	3.00	3.00	3.00	3.00	3.00	3.00
30	3.02	2.92	2.94	3.00	2.93	2.95
60	3.06	3.01	3.02	3.05	3.09	3.02
90	2.93	2.95	2.84	2.91	2.93	2.82
120	3.00	2.98	2.84	3.00	2.98	2.85
150	2.94	2.98	2.78	2.94	2.98	2.79
180	2.96	3.00	2.72	2.93	2.94	2.74

8.6 ผลของอุณหภูมิต่อความคงตัวทางเคมีของน้ำมันตะไคร้แกง

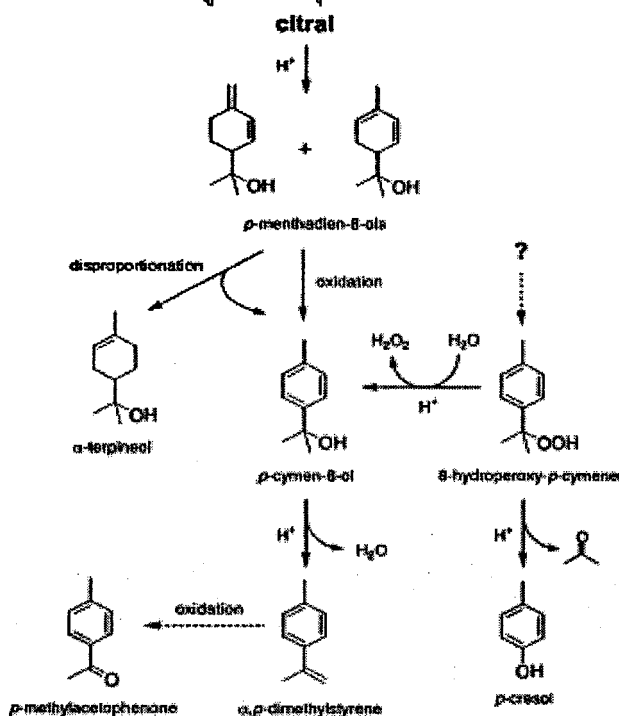
จากการศึกษาลักษณะของ GC chromatogram ของน้ำมันตะไคร้แกงพบว่ามี citral เป็นองค์ประกอบหลักและมีประสิทธิภาพในการยับยั้งเชื้อได้ดีที่สุด (ตารางที่ 15) เมื่อนำไปอบที่ 40°C พบว่าปริมาณขององค์ประกอบในน้ำมันตระไคร้แกงลดลงมาก (ตารางที่ 39) ทั้งนี้อาจเกิดเนื่องจาก citral เป็นสารที่ไม่คงตัวเสื่อมสลายได้ง่ายโดยกระบวนการ cyclization และ oxidation โดยเฉพาะในสภาวะที่เป็นกรด (Braines, 1970; Slater and Walkins, 1964; Clark, 1977; Clark and Chamblee, 1992 cited in US patent 6,638,555 B2) ซึ่งตัวรับที่พัฒนาขึ้นมี citric acid เป็นสาร chelating agent และปรับ pH เพื่อเพิ่มประสิทธิภาพในการยับยั้งเชื้อ ทำให้อัตราการเกิด cyclization เป็นไปอย่างรวดเร็วในสภาวะเป็นกรด และอุณหภูมิสูง ๆ นอกจากนี้ในตัวรับจะมี BHT เป็นสารต้านออกซิเดชันก็ตาม Kimura et al (1983) รายงานว่าสารต้านออกซิเดชันในกลุ่มที่ออกฤทธิ์โดย เป็น free radical terminators หรือ true antioxidants ทุกดัวไม่สามารถยับยั้งการเกิดออกซิเดชันของ citral ได้อย่างไรก็ตาม Peacock and Kuneman (1985) รายงานว่าการเติม isoascorbic acid ซึ่งเป็น oxygen scavenger สามารถยับยั้งการเกิดออกซิเดชันได้แต่สลายตัวได้ง่ายในน้ำ ดังนั้นตัวรับที่พัฒนาขึ้นควรปรับเปลี่ยนส่วนประกอบในตัวรับโดยเอา citric acid ออก และอาจเปลี่ยนเป็นสารต้านออกซิเดชันกลุ่มอื่น เช่น โดยเปลี่ยน BHT เป็น oxygen scavenger อื่น เช่น sodium sulfite, sodium metabisulfite, sodium bisulfite แทน จากข้อมูลสิทธิบัตร US patent 6,638,555 B2 พบว่าสารที่สามารถทำให้ citral คงตัวได้ โดยการป้องกันการเกิดสารที่ทำให้หักลี่นตะไคร้แกงเปลี่ยน หรือ p-methylacetophenone ด้วยสารสกัดจากสมุนไพรที่มี caffeic acid derivative เช่น rosmarinic acid ดังนั้นการเติมสารสกัดที่ละลายน้ำและมีส่วนประกอบเป็น rosmarinic acid อาจช่วยทำให้ตัวรับมีความคงตัวมากขึ้นในสภาวะที่เป็นกรด pH 2.8 ทั้งนี้ต้องทำการทดสอบต่อไป เกี่ยวกับภาชนะบรรจุพบว่าภาชนะบรรจุที่เป็นพลาสติกมีแนวโน้มในการทำให้ประสิทธิภาพของตัวรับลดลง ทั้งนี้อาจเนื่องมาจากออกซิเจนสามารถซึมผ่านพลาสติกที่ใช้ ทำให้ผลิตภัณฑ์เกิดออกซิเดชันได้มากขึ้น

ตารางที่ 39 ผลของอุณหภูมิต่อความคงตัวขององค์ประกอบทางเคมีของน้ำมันตะไคร้แกง

Retention time (min)	Key components	% Composition of key component in 5 $\mu\text{l}/\text{ml}$ of lemongrass oil		
		Day 0	Day 30	Day 60
2.59	Myrcene	1.26	0.68	1.72
3.44	Citronellal	1.14	0.99	0.32
4.04	Linalool	1.42	1.37	1.13
4.87	β -citral	32.52	23.20	28.27
4.98	Geraniol	4.13	3.49	2.01
5.18	α -citral	44.46	32.96	21.31
6.44	Geranyl acetate	1.28	-	1.65

จากการที่ 39 พบว่าเมื่อเก็บน้ำมันตะไคร้แกงที่ 40°C ปริมาณองค์ประกอบของสารสำคัญมีการเปลี่ยนแปลง โดยสารทุกดัวมีปริมาณลดลงเมื่อเก็บไว้นาน 30 วัน และเมื่อเก็บนาน 60 วันพบว่า myrcene และ β -citral มีปริมาณเพิ่มขึ้น ส่วนสารที่เหลือมีปริมาณลดลง ทั้งนี้อาจเกิดเนื่องจาก citral เป็นสารที่ไม่คงตัว เสื่อมสลายได้ง่ายโดยกระบวนการ cyclization และ oxidation โดยเฉพาะในสภาวะที่เป็นกรด (Braines, 1970; Slater and Walkins, 1964; Clark, 1977; Clark and Chamblee, 1992 cited in US patent 6,638,555 B2) ทำให้สารในกลุ่ม aldehydes เปลี่ยนไปเป็นสารในกลุ่ม alcohols หรือสารในกลุ่มอื่นดังแสดงในกระบวนการสลายตัวของ citral ในสภาวะที่เป็นกรด (รูปที่ 23) นอกจากนี้ citral ยังถูก hydrolyzed ที่ pH

4 (half-life time: Neral:9.5 วัน geranial :9.81 วัน) ที่ pH 9 (half-life time: Neral:30.1 วัน geranial :22.8 วัน) และ stability ตัวอย่างเช่น โดยถูก hydrolyzed ที่ pH 7(half-life time: Neral: 230 วัน geranial :106 วัน) (OECD SID :citral) ซึ่งความมีการศึกษาถึงผลของสารต้านออกซิเดชันต่อความคงตัวของ citral ต่อไป นอกจากนี้อาจต้องเปลี่ยนรูปแบบยาจุ่มเด้านมเป็นชนิดผงละลายน้ำก่อนใช้เพื่อลดปัญหา hydrolysis



รูปที่ 23 กระบวนการการเกิด p -Cresol และ p -Methylacetophenone และสาร Oxidation products ที่ได้จาก citral ในสภาวะที่เป็นกรด (Ueno et al, 2004)

สรุปผล

จากการศึกษาฤทธิ์ในการฆ่าเชื้อก่อโรคเด้านมอักเสบที่แยกจากน้ำนมสดจำนวน 5 ชนิด ได้แก่ *S. aureus*, *Strep. agalactiae*, *B. cereus*, *E. coli* และ *Ps. aeruginosa* ของน้ำนมหอ母เทยทั้ง 8 ชนิด ได้แก่

น้ำมั่นกระเพรา น้ำมั่นโทรศ้า น้ำมั่นมะกรุด น้ำมั่นพลู น้ำมั่นเม็นชัน น้ำมั่นไฟล น้ำมั่นตะไคร้แกง และน้ำมั่นตะไคร้หอม พนว่า น้ำมั่นที่มีประสิทธิภาพดีที่สุดคือน้ำมั่นตะไคร้แกง โดยน้ำมั่นทุกชนิดไม่สามารถฆ่าเชื้อ *Ps. aeruginosa* ได้ องค์ประกอบในน้ำมั่นตะไคร้แกงที่สามารถฆ่าเชื้อก่อโรคเด้านมอักเสบได้คือ citral องค์ประกอบอื่น รองลงมาได้แก่ geraniol และ linalool ตามลำดับ ในขณะที่เชื้อ *Ps. aeruginosa* จะทนต่อสารที่น้ำมั่นทดสอบทุกชนิด

เมื่อทดสอบฤทธิ์ต้านอนุมูลอิสระพบว่า น้ำมั่นไฟล มีฤทธิ์ต้านออกซิเดชันแรงที่สุด รองลงมาคือ น้ำมั่นกระเพรา และน้ำมั่นตะไคร้หอม ส่วนน้ำมั่นตะไคร้แกงออกฤทธิ์ได้ในอันดับที่ 6 โดยน้ำมั่นจากผลมะกรุดมีฤทธิ์ต้านออกซิเดชันต่ำที่สุด เมื่อศึกษาฤทธิ์ต้านการอักเสบในหนูทดลองโดยใช้ ear edema model พนว่า ตะไคร้หอม กระเพรา และพลูเสริมการบวม น้ำมั่นไฟลจะให้ผลดีเมื่อใช้ในความเข้มข้นที่สูง ขมิ้นชัน โทรศ้า ลดความเล็กน้อยที่ความเข้มข้นสูง ส่วนมะกรุด ตะไคร้แกง ไม่มีฤทธิ์ในการลดบวมและไม่เสริมการบวมเมื่อเทียบกัน

เมื่อนำน้ำมั่นตะไคร้แกงมาพัฒนาสำหรับพนว่า ปัจจัยที่มีผลต่อการออกฤทธิ์ฆ่าเชื้อขึ้นกับชนิดของเชื้อ pH ของตัวรับ ปริมาณอิเลคโทรไลท์ ชนิดของสารก่ออิมลัชัน ภาชนะบรรจุ โดยพบว่า ตัวรับที่มีความคงตัวทางกายภาพดีจะมี pH เป็นกรด และออกฤทธิ์ได้เพิ่มขึ้น เมื่อเติมเกลือลงในตัวรับ ทั้งนี้สารที่สามารถทำให้สารละลายมีลักษณะใสคือสารลดแรงตึงผิว sodium lauryl sulfate และ cetomacrogol 1000 และภาชนะบรรจุที่สามารถป้องกันการสลายตัวของน้ำมั่นด้วยแสงคือขวด

แก้วสีชา โดยเมื่อนำไปทดสอบหาประสิทธิภาพในการทำให้จำนวนเชื้อลดลง 90% พบร่วมรับที่เครื่ยมขึ้นสามารถชี้เชือกชนิดได้ในความเข้มข้นที่ต่ำและระยะเวลาอันสั้น อย่างไรก็ตามเมื่อนำรับมาทดสอบความคงตัวทางจุลชีววิทยาพบว่า เมื่ออุณหภูมิสูงขึ้นจำรับจะมีประสิทธิภาพลดลงตามระยะเวลาที่เพิ่มขึ้นทั้งนี้อาจเป็นไปได้ว่า citral ในควันมีการถูกตัดทำให้ประสิทธิภาพในการฆ่าเชื้อลดลง และนอกจากนี้องค์ประกอบอื่นในน้ำมันจะไครแรงยังมีการเปลี่ยนแปลงเมื่ออุณหภูมิสูงขึ้นอีกด้วย

โดยสรุปน้ำยาจุ่มหัวนมแม่วัวที่เครื่ยมขึ้นยังมีปัญหานี้ด้านความคงตัวทางชีวภาพและเคมี ทำให้เก็บน้ำยาไม่นานแม้ว่าจะเก็บในที่เย็นก็ตาม ทั้งนี้อาจเนื่องมาจากการถูกตัดของ citral ซึ่งเป็นสารในกลุ่มอัลเดอร์ ด้วยปฏิกิริยา oxidation และ hydrolysis ดังนั้นอาจจำเป็นจะต้องศึกษาหา antioxidants ที่เหมาะสมมาช่วยทำให้น้ำนมมีความคงตัวมากขึ้น และหลีกเลี่ยงการใช้น้ำในตำรับโดยเตรียมเป็นรูปผงแห้งที่ละลายนำก่อนนำไปใช้เพื่อลดปัญหา hydrolysis ต่อไป

เอกสารอ้างอิง

มุกดา จิตต์เจริญธรรม (2546) วิธีการทดสอบฤทธิ์ยาแก้อักเสบ (Screening method for anti-inflammatory drugs) เรื่องวิธีเห็นน้ำพุหรูขาวบวมด้วยน้ำมันโกรตอน (Croton oil induced ear edema in rats) คณะแพทยศาสตร์ มหาวิทยาลัยขอนแก่น.

ณัฐรีย์ พงศ์พานิช (2546) วิทยานิพนธ์ริริยาเภสัชศาสตร์มหาบัณฑิต สาขาเภสัชภัณฑ์ มหาวิทยาลัยขอนแก่น เรื่องการพัฒนาสมุนไพรที่มีฤทธิ์ต้านการอักเสบเพื่อใช้เป็นยาทางภายนอก ศิลธรรม วรอัศวปติ, กิตigran เจนไพบูลย์, จารัส ภักดี (2540) การศึกษาการแก้ไขปัญหารोคเต้านมอักเสบ ชนิดไม่แสดงอาการในโคนมจังหวัดขอนแก่น วารสารสัตวแพทยศาสตร์ มข. 7(1):16-23.

รุ่งเจริญ กาญจนอมัย, กิติ ศรีสุภาพ, สมุทร สิริเวชพันธุ, ประจิตต์ บุณย์มณี, มาลินี ลิ้มโภค, สุวิชัย โรจน์ เสนียร, ศิริษัย วงศ์นากเพ็ชร (2529). "มาตรการการป้องกันและกำจัดโรคเต้านมอักเสบในโคนม." วารสารสัตวแพทย์ 7 (1): 1-12.

Bank VR, Bailey DT, van Leersum JT - US Patent 6,638,555, 2003

Dickenson LD, Ferguson JA, Cashman D US patent 5047234, 1991.

Dorman HJD and Dean SG. (2000) Antimicrobial agents from plants: antibacterial activity of plant volatile oils, Journal of Applied Microbiology, 88:308-316.

Duarte MCT, Leme EE, Delarmelina C, Soares AA, Figueir GM and Sartoratto A (2007) Activity of essential oils from Brazilian medicinal plants on *Escherichia coli*, Journal of Ethanopharmacology, 111:197-201.

Hammer KA, Carson CF, Riley TV. (1999) Antimicrobial activity of essential oils and other plant extracts, Journal of Applied Miocrobiology 86:985-990.

Inouye S, Takizawa T. Yamaguchi H. 2001. Antibacterial activity of essential oils and their major constituents against respiratory tract pathogens by gaseous contact. Journal Of Antimicrobial Chemotherapy 47 565-574

Jayaprakasha G K, Jena B S , Negi P S, Sakariah K K 2002. Evaluation of Antioxidant Activities and Antimutagenicity of Turmeric Oil: A Byproduct from Curcumin Production. Z. Naturforsch. 57:828-835.

Jeenapongsa R, Yoovathaworn K, Sriwatanakul KM, Pongprayoon U, Sriwatanakul K. 2003. Anti-inflammatory activity of (E)-1-(3,4-dimethoxyphenyl) butadiene from *Zingiber cassumunar Roxb.* Journal of Ethanopharmacology 87:143-148.



- King RE (1984). Dispensing of medication. Pennsylvania, Mack Publishing Company.
- Mim C, Dockrell HM, Goering, RV, Roitt I, Wakelin D, Zuckerman M. (2004) Medical microbiology 3rd edition, Edinburgh:Elsevier Mosby.
- OECD SID :Citrat UNEP publication not dated.
- Paula ACB, Hayashi, LSS, Freitas, JC. 2003. Anti-inflammatory and antispasmodic activity of Ipomea imperati Zvahl) Griseb (Convolvulaceae). Brazilian Journal of Medical and Biological Research 36:105-112.
- Perez-Garcia F, Martin E, Canigueral S, Adzet T 1996. Anti-infalmmatory action of Pluchea sagittalis: Involvement of an antioxidant mechanism. Life Sciences 59:2033-2040.
- Peana AT, D'Aquila PS, Panin F, Serra G, Pippia SP, Moretti MDL. 2002 Anti-inflammatory activity of linalool and linalyl acetate constituents of essential oils. Phytomedicine 9:721-726.
- Raina K, Srivastava S. K. , Jain N, Ahmad A, Syamasundar K. V. , Aggarwal K. K. 2002. Essential oil composition of Curcuma longa L. cv. Roma from the plains of northern India. Flavour and Fragrance Journal 17:99-102.
- Roberts JD, Caserio MC. (1965). Basic principles of organic chemistry. New York: , WA Benjamin Inc.
- Russell AD and Chopra I. (1990) Understanding antibacterial action and resistance. New York: Eliis Horwood.
- Nakahara K. , Alzoreky N. S. Yoshihashi T. Nguyen H. T. T. Trakoontivakorn G 2003. Chemical Composition and Antifungal Activity of Essential Oil from *Cymbopogon nardus* (Citronella Grass). Japan Agricultural Research Quarterly 37:249-252.
- Shahidi F, Wanasundara PKJP. (1992). "Phenolic antioxidants." Criticcal Reviews Food Sci.ence Nutrition 32: 67-103.
- Sheen LY, Ou YHT , Tsai SJ (1991). "Flavor characteristic compounds found in the essential oil of Ocimum basilicum L. with sensory evaluation and statistical analysis." Journal of Agricultural and Food Chemistry 39: 939-943.
- Ueno T, Masuda H, Ho, C. (2004) Formation mechanism of p-Methylacetophenone from citral via a tert-Alkoxy radical intermediate. Journal Agricultural Food Chemistry 52:5677-84.
- Viyoch, J., Pisutthanan, N.; Faikreua, A.; Nupangta, K.; Wangtorpol, K.; Ngokkuen, J. (2006). "Evaluation of in vitro antimicrobial activity of Thai basil oils and their micro-emulsion formulas against *Propionibacterium acnes*" International Journal of Cosmetic Science 28(2): 125-133.